

平成 26 年 度

人形峠周辺の環境放射線等測定報告書

第 37 号

平成 27 年 7 月

岡 山 県

## 目 次

|                           |    |
|---------------------------|----|
| ま え が き                   | 1  |
| 第1章 人形峠周辺の環境放射線等測定        |    |
| I. 通常の監視測定                | 5  |
| 1. 測定計画                   | 6  |
| 1-1 測定対象・項目・地点            | 7  |
| 1-1-1 連続測定                | 7  |
| 1-1-2 サンプルング測定            | 7  |
| 1-2 測定方法                  | 11 |
| 1-2-1 連続測定                | 11 |
| 1-2-2 サンプルング測定            | 13 |
| 2. 測定結果                   | 15 |
| 2-1 測定結果概要                | 15 |
| 2-1-1 参考文献                | 16 |
| 2-2 詳細データ                 | 17 |
| 2-2-1 連続測定結果              | 18 |
| A. 年間集計表                  | 18 |
| ① 空間 $\gamma$ 線線量率        | 18 |
| ② 大気浮遊塵中全 $\alpha$ 放射能濃度  | 20 |
| ③ 大気中ふっ素濃度                | 22 |
| B. 月別日平均値集計表              | 25 |
| C. グラフ                    | 39 |
| 2-2-2 サンプルング測定            | 47 |
| A. 放射能                    | 48 |
| ① 空間 $\gamma$ 線線量率 (RPLD) | 48 |
| ② 大気浮遊塵                   | 48 |
| ③ 陸 水                     | 50 |
| ④ 河底土・土壌                  | 52 |
| ⑤ 生物質                     | 54 |

|                                     |    |
|-------------------------------------|----|
| B. ふ っ 素                            | 56 |
| ① 陸 水                               | 56 |
| ② 河底土・土壌                            | 58 |
| ③ 生 物 質                             | 60 |
| 3. 各種試料中の放射能濃度の参考値                  | 62 |
| II. 回収ウラン転換実用化試験に係るプルトニウム等監視測定      | 65 |
| 1. 測 定 計 画                          | 66 |
| 1-1 測定対象・項目・地点                      | 66 |
| 1-2 測 定 方 法                         | 69 |
| 2. 測 定 結 果                          | 71 |
| 2-1 測定結果概要                          | 71 |
| 2-2 詳細データ                           | 73 |
| ① 人工放射性核種濃度                         | 74 |
| ② 天然放射性核種濃度                         | 76 |
| 3. 各種試料中の放射能濃度の参考値                  | 78 |
| 第2章 中津河捨石堆積場に係る環境放射線等測定             |    |
| 1. 測 定 計 画                          | 81 |
| 1-1 測定対象・項目・地点                      | 81 |
| 1-2 測 定 方 法                         | 82 |
| 2. 測 定 結 果                          | 82 |
| 2-1 測定結果概要                          | 82 |
| 2-2 詳細データ                           | 85 |
| ① 空間 $\gamma$ 線線量率 (RPLD)           | 86 |
| ② 陸 水                               | 86 |
| ③ 河 底 土                             | 88 |
| ④ 生 物 質                             | 88 |
| ⑤ 大気中のラドン                           | 90 |
| 第3章 参 考 資 料                         |    |
| 1. 動力炉・核燃料開発事業団人形峠事業所周辺環境保全等に関する協定書 | 95 |
| 2. 施設の概要                            | 98 |

|     |                                  |     |
|-----|----------------------------------|-----|
| 2-1 | ウラン濃縮原型プラントの概要及び運転状況             | 98  |
| 2-2 | 製錬転換施設の概要及び運転状況                  | 99  |
| 2-3 | 濃縮工学施設(旧ウラン濃縮パイロットプラント)の概要及び運転状況 | 101 |
| 3.  | 岡山県環境放射線等測定技術委員会                 | 103 |
| 3-1 | 岡山県環境放射線等測定技術委員会設置要綱             | 103 |
| 3-2 | 岡山県環境放射線等測定技術委員会委員名簿             | 105 |



## まえがき

苫田郡鏡野町上齋原の国立研究開発法人日本原子力研究開発機構（平成27年4月1日付けで独立行政法人から国立研究開発法人へ法人名称が変更。以下「原子力機構」という。）人形峠環境技術センター（以下「人形峠センター」という。）では、エネルギーの安定確保を図る目的からウランの探鉱、採鉱、製錬・転換及び濃縮までの一貫した技術開発に取り組んできた。事業の進展に伴い、ウランの探鉱、採鉱の事業は終了した。また、回収ウラン転換実用化試験を継続していた製錬転換施設についても運転を終了し、プラント設備の解体作業を実施している。さらに、遠心分離機の量産技術の確立等の研究開発を行っていたウラン濃縮原型プラント（DOP-1, DOP-2）についても生産運転を終了し、設備解体撤去に向けてプラント内の滞留ウラン除去・回収試験、遠心機処理技術開発等を実施している。

上記のように、現在の人形峠センターの主要事業は施設・設備の解体を安全かつ効率的に進めるための解体技術の研究開発である。

一方、岡山県では昭和54年度から、人形峠センター周辺的环境を保全・監視するために「動力炉・核燃料開発事業団人形峠事業所（現原子力機構人形峠センター）周辺環境保全等に関する協定」に基づいて、環境放射線等の監視測定を実施している。

平成26年度は人形峠周辺の放射線、放射能及びふっ素ならびに回収ウラン転換実用化試験終了後のプルトニウム等の監視測定を計画どおりに行った。

本報告書は、平成26年度に岡山県環境保健センターが人形峠周辺の環境放射線等の監視測定を実施した結果をまとめたものである。なお、測定結果及び技術的事項等については、平成26年7月、平成27年2月及び平成27年7月に開催された岡山県環境放射線等測定技術委員会において審議され「測定結果には異常値は認められなかった。」と評価されている。



## 第1章 人形峠周辺の環境放射線等測定



## I. 通常の監視測定

## 1. 測定計画

環境放射線等の測定計画は連続測定とサンプリング測定の二本立てとし、監視場所は人形峠センターの敷地境界外側を原則としている。

連続測定の観測局は、鏡野町上齋原の人形峠センター周辺に隣接する居住地区を選んでいる。人形峠観測局は人形峠センターの敷地境界から約50m西の人形峠一角に設置し、赤和瀬観測局は約1km北東に位置する赤和瀬地区の旧小学校跡地に設置している。また、天王観測局は南南東へ約2kmの天王地区で、池河川と赤和瀬川の合流地点近くに設置している。人形峠観測局及び天王観測局の測定項目は、空間 $\gamma$ 線線量率等3項目と気象6項目であり、赤和瀬観測局の測定項目は、空間 $\gamma$ 線線量率等3項目と気象11項目である。それぞれの観測局において24時間連続で自動測定を行っている。その測定値はテレメータ（有線）により、岡山市南区内尾にある県環境保健センター内の中央局に送り、コンピュータで処理して連続監視を行っている。また、環境監視の強化のために人形峠観測局には自家発電装置があり、中央局には夜間自動通報装置が装備されている。

サンプリング測定は、人形峠センターの敷地周辺及び人形峠付近を源流とする吉井川流域を測定地点として51カ所から採取している。また、大気・陸水・土壌及び生物質等の試料は、それぞれの測定地点から定期的に年1～4回採取して、放射能分析及びふっ素分析を行っている。平成26年度の連続測定及びサンプリング測定の計画は次のとおりである。

1-1 測定対象・項目・地点

1-1-1 連続測定

| 観測局<br>測定項目 | 人形峠 | 赤和瀬 | 天王 |
|-------------|-----|-----|----|
| γ線線量率       | ○   | ○   | ○  |
| 全α放射能       | ○   | ○   | ○  |
| ふっ素         | ○   | ○   | ○  |
| 風向          | ○   | ○   | ○  |
| 風速          | ○   | ○   | ○  |
| 気温          | ○   | ○   | ○  |
| 降水量         | ○   | ○   | ○  |
| 湿度          | ○   | ○   | ○  |
| 降水時間        | ○   | ○   | ○  |
| 放射収支量       |     | ○   |    |
| 日射量         |     | ○   |    |
| 気圧          |     | ○   |    |
| 積雪深         |     | ○   |    |
| 雷           |     | ○   |    |

1-1-2 サンプル測定

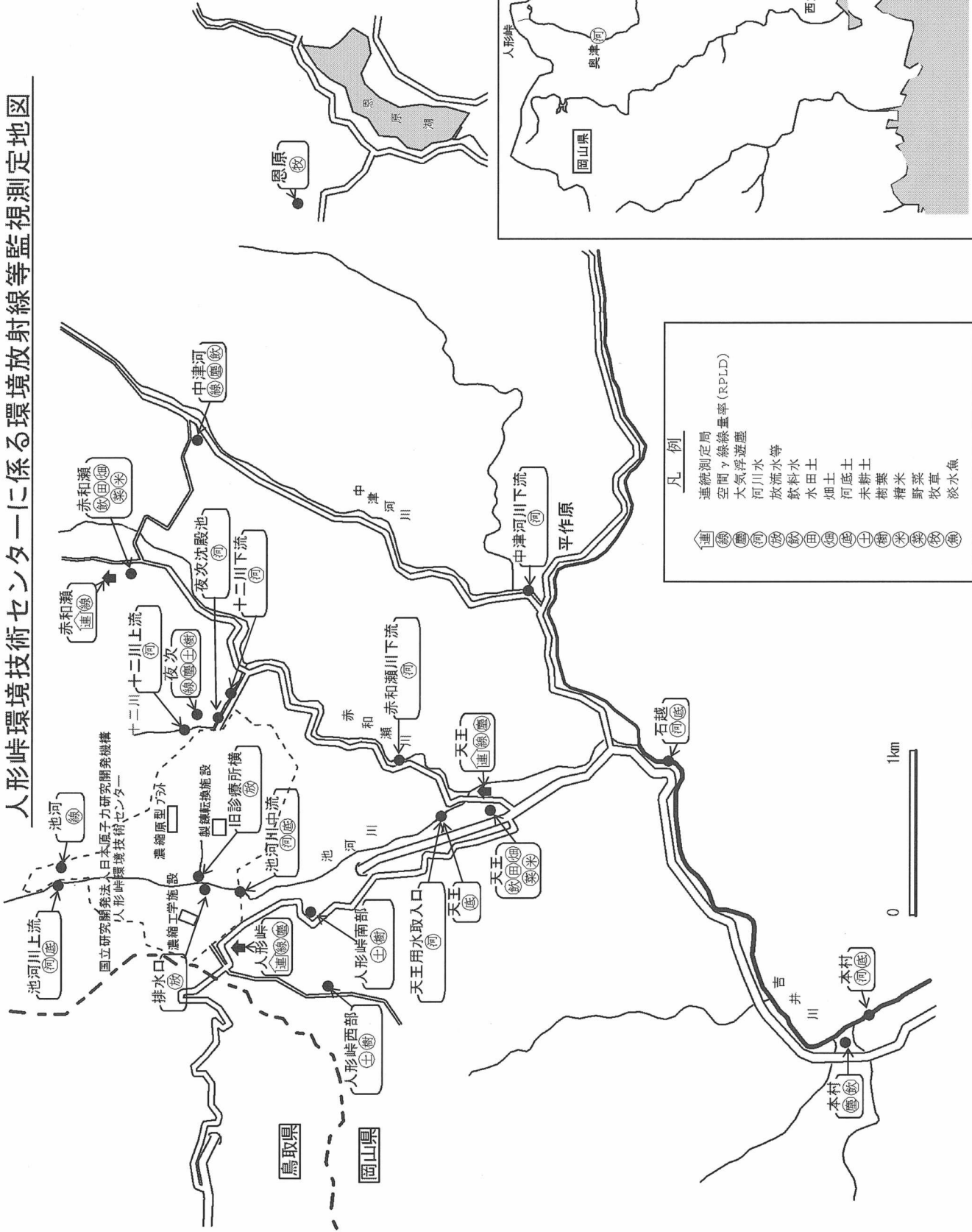
①放射能

| 測定対象        | 測定項目                               | 測定地点数         | 測定回数 | 年間検体数 | 測定月            | 測定地点                             |
|-------------|------------------------------------|---------------|------|-------|----------------|----------------------------------|
| 空間線量        | γ線線量率<br>(γ線積算線量)                  | 6             | 4    | 24    | 6, 9,<br>12, 3 | 人形峠, 池河, 夜次, 天王,<br>中津河, 赤和瀬     |
| 大気浮遊塵       | U-238<br>Ra-226<br>全β放射能           | 5             | 2    | 10    | 7, 1           | 人形峠, 夜次, 天王, 中津河,<br>本村          |
| 陸<br>水      | 河川水<br>放流水<br>構内沢水                 | 13<br>(奥津以北)  | 3    | 39    | 4, 10, 1       | 吉井川水系:鏡野町内13                     |
|             |                                    | 15<br>(吉井川全域) | 1    | 15    | 7              | 吉井川水系:鏡野町内13,<br>津山市1, 岡山市(西大寺)1 |
|             | 飲料水                                | 4             | 4    | 16    | 4, 7, 10, 1    | 天王, 赤和瀬, 中津河, 本村                 |
| 河底土         | U-238<br>Ra-226<br>全β放射能           | 5             | 2    | 10    | 4, 10          | 池河川3, 吉井川2, (鏡野町内)               |
| 土<br>水田土    |                                    | 2             | 2    | 4     | 4, 10          | 天王, 赤和瀬                          |
| 畑土          |                                    | 2             | 2    | 4     | 6, 9           | 天王, 赤和瀬                          |
| 未耕地         |                                    | 3             | 2    | 6     | 6, 11          | 人形峠西部, 南部, 夜次                    |
| 生<br>物<br>質 | 農作物<br>精米<br>野菜<br>牧草<br>樹葉<br>淡水魚 | 2             | 1    | 2     | 11             | 天王, 赤和瀬                          |
|             |                                    | 2             | 2    | 4     | 6, 10          | 天王, 赤和瀬                          |
|             |                                    | 1             | 2    | 2     | 6, 10          | 恩原                               |
|             |                                    | 3             | 2    | 6     | 6, 11          | 人形峠西部, 南部, 夜次                    |
|             |                                    | 1             | 1    | 1     | 通年             | 吉井川(津山以北)                        |
| 計           |                                    | 51            |      | 143   |                |                                  |

②ふっ素

| 測定対象        |            | 測定項目 | 測定地点数 | 測定回数 | 年間検体数 | 測定月         | 測定地点               |         |
|-------------|------------|------|-------|------|-------|-------------|--------------------|---------|
| 陸<br>水      | 河川水<br>放流水 | F    | 5     | 1    | 5     | 10          | 吉井川水系:(鏡野町内5)      |         |
|             | 飲料水        |      | 4     | 4    | 16    | 4, 7, 10, 1 | 天王, 赤和瀬, 中津河, 本村   |         |
|             | 河底土        |      | 3     | 1    | 3     | 10          | 池河川2, 吉井川1, (鏡野町内) |         |
| 土<br>壤      | 水田土        |      | 2     | 1    | 2     | 10          | 天王, 赤和瀬            |         |
|             | 畑土         |      | 2     | 1    | 2     | 9           | 天王, 赤和瀬            |         |
|             | 未耕土        |      | 3     | 1    | 3     | 11          | 人形峠西部, 南部, 夜次      |         |
| 生<br>物<br>質 | 農作物        |      | 精米    | 2    | 1     | 2           | 11                 | 天王, 赤和瀬 |
|             |            |      | 野菜    | 2    | 2     | 4           | 6, 10              | 天王, 赤和瀬 |
|             | 牧草         |      | 1     | 1    | 1     | 10          | 恩原                 |         |
|             | 樹葉         |      | 3     | 2    | 6     | 6, 11       | 人形峠西部, 南部, 夜次      |         |
|             | 淡水魚        | 1    | 1     | 1    | 通年    | 吉井川(津山以北)   |                    |         |
| 計           |            |      | 28    |      | 45    |             |                    |         |

人形峠環境技術センターに係る環境放射線等監視測定地図



凡例

|                |         |
|----------------|---------|
| 運搬測定局          | 濃縮型アクリル |
| 空間γ線線量率 (RPLD) | 製錬転換施設  |
| 大気浮遊塵          | 旧診療所横   |
| 河川水            | 池河川中流   |
| 放流水等           | 池河川上流   |
| 飲料水            | 赤和瀬     |
| 畑土             | 赤和瀬川    |
| 河底土            | 赤和瀬川下流  |
| 米耕土            | 赤和瀬川下流  |
| 樹葉             | 天王      |
| 精米             | 天王      |
| 野菜             | 天王      |
| 牧草             | 天王      |
| 淡水魚            | 天王      |

※原子力機構の法人名称が平成27年4月1日付けで独立行政法人から国立研究開発法人へ変更。



## 1-2 測定方法

### 1-2-1 連続測定

| 測定対象  | 測定項目  | 測定方法                                                                                | 測定器                                                                                  | 備考                                                                                                                                                                                                                        |
|-------|-------|-------------------------------------------------------------------------------------|--------------------------------------------------------------------------------------|---------------------------------------------------------------------------------------------------------------------------------------------------------------------------------------------------------------------------|
| 空間放射線 | γ線線量率 | 地上4mのγ線線量率(1時間平均値)を1時間毎に測定する。                                                       | 富士電機製<br>N13J-117型<br>NaI (Tl) 2" φ×2"<br>40keV-3MeVエネルギー補償及び<br>温度補償空間γ線測定装置 (MCA付) | 1. 観測局舎は空調装置を備え、室温18~25℃(25℃における相対湿度70%以下)に保持している。測定器の避雷防護に耐雷トランスを設置し、測定器設置用パンザマストは7m、避雷用パンザマストは10mである。<br><br>2. それぞれの測定器で測定値を積算記録されたデータは、各観測局から中央局へテレメータによって伝送される。<br><br>3. 中央局では受診されたデータをコンピュータ処理して1時間毎に記録しプリンタに出力する。 |
| 大気浮遊塵 | 全α放射能 | 地上約2mの吸気口より流速約250N/min.で大気浮遊塵を3時間集塵(東洋ろ紙HE-40T)し、7時間放置後α線を1時間測定する。                  | 富士電機製<br>NAD23803型<br>ZnS (Ag) 50mm φ<br>連続ろ紙ステップ移動方式<br>α線測定装置                      |                                                                                                                                                                                                                           |
| 大気    | ふっ素   | 地上約2mの吸気口より0.8μmのフィルタを通して流速20l/min.で大気を8時間連続吸引し、ふっ素イオン濃度示差電位法により測定する。8時間毎の値を積算記録する。 | 京都電子工業製<br>HP-482型<br>双極ふっ素イオン電極式<br>自動計測器                                           |                                                                                                                                                                                                                           |
| 気象    | 風向風速  | 地上約7mの風向(540°/360°シフト方式)と風速(0.4~20m/s)は電氣的積分方式により10分間連続移動平均値を測定する。                  | 池田計器製作所製<br>MVS-350型<br>トルクシンクロ発信器<br>直流発電方式<br>微風向風速計                               |                                                                                                                                                                                                                           |
|       | 気温    | 地上約5mの気温(-20℃~+40℃)を測温抵抗体により測定記録する。                                                 | 池田計器製作所製<br>PT-100S型<br>シェルタ付<br>(白金抵抗体温度計)                                          |                                                                                                                                                                                                                           |
|       | 降水量   | 地上約5mの降雨雪量(0.5~100mm)を1時間毎に測定記録する。                                                  | 池田計器製作所製<br>RH-5EH型<br>ヒータ付<br>(転倒ます型雨量計)                                            |                                                                                                                                                                                                                           |
|       | 湿度    | 地上約5mの湿度(0~100%RH)を測定記録する。                                                          | 池田計器製作所製<br>HM-155DS型<br>高分子系湿度センサ方式                                                 |                                                                                                                                                                                                                           |

| 測定対象 | 測定項目  | 測定方法                                                    | 測定器                                      | 備考 |
|------|-------|---------------------------------------------------------|------------------------------------------|----|
| 気象   | 降水時間  | 地上約5mの雨滴の有無を1時間毎に測定記録する。                                | 池田計器製作所製<br>RFG-902型<br>雨滴による電極間短絡方式     |    |
|      | 放射収支量 | 地上約2mの放射収支量(-1.25~+3.75MJ/m <sup>2</sup> )を1時間毎に測定記録する。 | 池田計器製作所製<br>MF-11型<br>銅/コンスタantan熱電対方式   |    |
|      | 日射量   | 地上約5mの日射量(0~5MJ/m <sup>2</sup> )を1時間毎に測定記録する。           | 池田計器製作所製<br>MS-402F型<br>銅/コンスタantan熱電対方式 |    |
|      | 気圧    | 地上約5mの気圧を測定記録する。                                        | 池田計器製作所製<br>APG-2000型<br>シリコン静電容量式       |    |
|      | 積雪深   | 地上約5mまでの積雪を測定記録する。                                      | 光進電気工業製<br>SU-201型<br>可視光レーザー反射式         |    |
|      | 雷     | 観測局付近(半径約40km圏内)の放電を測定記録する。                             | メディック製<br>TM-5型<br>アンテナ方式                |    |

1-2-2 サンプル測定

| 区分          | 測定対象                      | 測定項目                                                                                                                                                  | 試料採取方法                                            | 測定方法                                                                                                                                                                                                                           | 測定器                                                                                                                                                       |
|-------------|---------------------------|-------------------------------------------------------------------------------------------------------------------------------------------------------|---------------------------------------------------|--------------------------------------------------------------------------------------------------------------------------------------------------------------------------------------------------------------------------------|-----------------------------------------------------------------------------------------------------------------------------------------------------------|
| 放射能         | 空間線量                      | $\gamma$ 線線量率<br>( $\gamma$ 線積算線量)                                                                                                                    | 文部科学省編 (H14)<br>蛍光ガラス線量計を用いた環境 $\gamma$ 線量測定法による。 |                                                                                                                                                                                                                                | 旭テクノグラス製<br>FGD-201型<br>(ガラス線量計)<br>旭テクノグラス製<br>SC-1 (ガラス素子)                                                                                              |
|             | 大気浮遊塵                     | 全 $\beta$ 放射能                                                                                                                                         |                                                   | 文部科学省編 (S51改訂)<br>全 $\beta$ 放射能測定法 (直接法)                                                                                                                                                                                       | 日立アロカメディカル社製<br>JDC-5200型<br>$\beta$ 線自動測定装置                                                                                                              |
|             | 河底土壌                      |                                                                                                                                                       |                                                   |                                                                                                                                                                                                                                |                                                                                                                                                           |
|             | 大気浮遊塵                     | U-238<br>Ra-226                                                                                                                                       | 文部科学省編 (S58) 環境試料採取法による。                          | U-238: TBP抽出分離法+ $\alpha$ 線スペクトロメトリ法; 文部科学省編 (H14) ウラン分析法による。<br><br>Ra-226: EDTA-4Na分解・BaSO <sub>4</sub> 再沈法+全 $\alpha$ 計数法; 文部科学省編 (H2) ラジウム分析法による。                                                                          | U-238: Canberra製<br>$\alpha$ -Analyst型<br>$\alpha$ 線スペクトロメータ<br><br>Ra-226: 日立アロカメディカル社製<br>LBC-4311B型<br>2 $\pi$ ガスフロー自動測定装置                             |
|             | 河川水<br>放流水<br>構内排水<br>飲料水 | U-238<br>Ra-226<br>Rn-222                                                                                                                             |                                                   | U-238: ICP質量分析法; 文部科学省編 (H14) ウラン分析法による。<br><br>Ra-226: EDTA-2Na分解・BaSO <sub>4</sub> 再沈法+全 $\alpha$ 計数法; 文部科学省編 (H2) ラジウム分析法による。<br><br>Rn-222: 野口正安, 液体シンチレーションカウンタによるRadonの放射能測定<br>Radioisotopes, 13, (5)<br>362-367 (1964) | U-238: サーモフィッシャー社製<br>iCAPQc型<br><br>Ra-226: 日立アロカメディカル社製<br>LBC-4311B型<br>2 $\pi$ ガスフロー自動測定装置<br><br>Rn-222: 日立アロカメディカル社製<br>LSC-7400型<br>液体シンチレーションカウンタ |
| 河底土壌<br>生物質 | U-238<br>Ra-226           | U-238: TBP抽出分離法+ $\alpha$ 線スペクトロメトリ法; 文部科学省編 (H14) ウラン分析法による。<br><br>Ra-226: EDTA-4Na分解・BaSO <sub>4</sub> 再沈法+全 $\alpha$ 計数法; 文部科学省編 (H2) ラジウム分析法による。 |                                                   | U-238: Canberra製<br>$\alpha$ -Analyst型<br>$\alpha$ 線スペクトロメータ<br><br>Ra-226: 日立アロカメディカル社製<br>LBC-4311B型<br>2 $\pi$ ガスフロー自動測定装置                                                                                                  |                                                                                                                                                           |

| 区分          | 測定対象              | 測定項目 | 試料採取方法            | 測定方法                                                                                     | 測定器                                                                   |
|-------------|-------------------|------|-------------------|------------------------------------------------------------------------------------------|-----------------------------------------------------------------------|
| ふ<br>っ<br>素 | 河川水<br>放流水<br>飲料水 | F    | 放射性元素の試料採取方法に準ずる。 | 排水, 河川水: ふっ素イオン電極法<br>(JIS K0101-1979)<br><br>飲料水: ランタンアリザリンコンプレクソン法<br>(厚生省令56号昭和53年8月) | 河川水, 放流水: サーモエレクトロン社製<br>920AQ型<br><br>飲料水: 島津製<br>UV2200型<br>(分光光度計) |
|             | 河底土<br>土 壤        |      |                   | ふっ素イオン電極法<br>環境測定分析参考資料; 底質の測定分析 (環境庁企画調整局研究調整課)                                         | サーモエレクトロン社製<br>920AQ型<br>(ふっ素イオンメータ)                                  |
|             | 生物質               |      |                   | ふっ素イオン電極法<br>柳沢三郎, 植物体中の弗化物の測定法の検討<br>環境保健レポート, 8, 33-37<br>(1972)                       |                                                                       |

## 2. 測定結果

### 2-1 測定結果概要

昭和54年7月に県、鏡野町（旧上齋原村）と原子力機構（旧動力炉・核燃料開発事業団）との間で締結された環境保全協定に基づいて管理目標値を定め、人形峠センターの敷地境界付近における異常の早期発見、住民の放射線被ばく線量の推定、放射性物質等の環境への蓄積傾向の把握等の調査を行っているものである。平成26年度は前年度に引き続き、人形峠周辺において空間放射線等の連続測定及びサンプリング測定を実施したが、これらの結果を総括すると、連続測定、サンプリング測定結果は次のとおりであり、施設の運転に伴う異常値は認められなかった。なお、空間 $\gamma$ 線線量率については、平成26年度の測定結果についての評価から直近10年間の平常の変動範囲を参考に行うことになった。

#### <連続測定結果>

空間 $\gamma$ 線線量率及び大気中ふっ素濃度は管理目標値以下で推移し、従来の測定値とほぼ同レベルであった。また、大気浮遊塵中全 $\alpha$ 放射能濃度も従来の測定値とほぼ同レベルであった。

#### <サンプリング測定結果>

生物質の淡水魚（ウグイ）は、生体数の減少により採取できず未測定である。なお、平成22年度から試料が採取できていないため、魚種変更に係る調査を実施しており、平成27年度から魚種をナマズに変更し、測定を行うこととしている。

- 1) 放射能：空間 $\gamma$ 線線量率及び大気浮遊塵、河川水、河底土、水田土、畑土中のU-238濃度及びRa-226濃度は、いずれも管理目標値以下であった。また、管理目標値の非設定項目である、全 $\beta$ 放射能濃度（大気浮遊塵、河底土、土壌）、Rn-222濃度（河川水、放流水（第1四半期を除く。）、構内沢水、飲料水）、U-238濃度及びRa-226濃度（放流水、構内沢水、飲料水、未耕土、生物質）は従来の測定値とほぼ同レベルであった。なお、第1四半期の放流水のRn-222濃度については、従来の測定値を超える値が検出されたが、その原因は例年に比較して雪解け水や降水量が多く、排水処理施設での貯留時間が通常より短くなり、減衰が少なかったことによると考えられた。
- 2) ふっ素：河川水及び飲料水中の濃度は、全ての地点において検出下限値未満であった。また、放流水、土壌及び生物質も従来の測定値とほぼ同レベルであった。

## 2-1-1 参考文献

岡山県環境保健センター編, 昭和54年度人形峠周辺の環境放射線等測定報告書  
(1980)

〈

岡山県環境保健センター編, 平成25年度人形峠周辺の環境放射線等測定報告書  
(2014)

## 2 - 2 詳細データ

## 2-2-1 連続測定結果

### A. 年間集計表

#### ①空間γ線線量率

| 局   | 項目   | 年 | 平成26年 |       |       |       |       |       |       |
|-----|------|---|-------|-------|-------|-------|-------|-------|-------|
|     |      | 月 | 4     | 5     | 6     | 7     | 8     | 9     | 10    |
| 人形峠 | 測定件数 |   | 720   | 727   | 720   | 744   | 744   | 720   | 729   |
|     | 最高値  |   | 0.071 | 0.075 | 0.097 | 0.084 | 0.092 | 0.102 | 0.088 |
|     | 最低値  |   | 0.046 | 0.059 | 0.059 | 0.058 | 0.058 | 0.058 | 0.058 |
|     | 平均値  |   | 0.054 | 0.061 | 0.061 | 0.061 | 0.061 | 0.061 | 0.061 |
| 赤和瀬 | 測定件数 |   | 720   | 725   | 720   | 744   | 744   | 720   | 735   |
|     | 最高値  |   | 0.061 | 0.059 | 0.075 | 0.065 | 0.072 | 0.074 | 0.073 |
|     | 最低値  |   | 0.032 | 0.044 | 0.044 | 0.044 | 0.044 | 0.045 | 0.044 |
|     | 平均値  |   | 0.041 | 0.046 | 0.047 | 0.047 | 0.047 | 0.047 | 0.047 |
| 天王  | 測定件数 |   | 720   | 728   | 720   | 744   | 744   | 720   | 730   |
|     | 最高値  |   | 0.073 | 0.073 | 0.083 | 0.078 | 0.084 | 0.078 | 0.078 |
|     | 最低値  |   | 0.054 | 0.055 | 0.056 | 0.054 | 0.054 | 0.057 | 0.054 |
|     | 平均値  |   | 0.059 | 0.059 | 0.059 | 0.059 | 0.059 | 0.060 | 0.060 |

注) 5, 10月の測定件数減少は、定期点検等による。  
測定件数=24件/日×日数/月

| 局   | 平常の変動範囲※※<br>(平成16年度～平成25年度)<br>[μGy/h] |       |
|-----|-----------------------------------------|-------|
| 人形峠 | 最高値                                     | 0.118 |
|     | 最低値                                     | 0.019 |
| 赤和瀬 | 最高値                                     | 0.096 |
|     | 最低値                                     | 0.009 |
| 天王  | 最高値                                     | 0.129 |
|     | 最低値                                     | 0.016 |

※※ 平常の変動範囲

空間γ線線量率の測定結果の評価については、平成25年度まで用いていた「バックグラウンド値（昭和54年から昭和63年までの測定結果）」をやめ、平成26年度からは直近10年間の測定結果で示す「平常の変動範囲」を毎年度設定し、これを参考に行うこととした。（平成25年度第2回岡山県環境放射線等測定技術委員会決定）

なお、平成26年度の測定結果の評価に係る平常の変動範囲については、特異的な上昇と認められた平成16年度の測定値は除いている。

単位：μGy/h

|       |       | 平成27年 |       |       | 平成26年度値 | 過去5年間の<br>測定範囲      | 備考 |
|-------|-------|-------|-------|-------|---------|---------------------|----|
| 1 1   | 1 2   | 1     | 2     | 3     |         |                     |    |
| 720   | 744   | 744   | 672   | 744   | 8728    | 0.118<br>~<br>0.019 |    |
| 0.080 | 0.085 | 0.076 | 0.045 | 0.051 | 0.102   |                     |    |
| 0.057 | 0.038 | 0.022 | 0.020 | 0.024 | 0.020   |                     |    |
| 0.061 | 0.053 | 0.032 | 0.025 | 0.033 | 0.052   |                     |    |
| 720   | 744   | 744   | 672   | 744   | 8732    | 0.096<br>~<br>0.009 |    |
| 0.065 | 0.078 | 0.067 | 0.043 | 0.045 | 0.078   |                     |    |
| 0.044 | 0.031 | 0.021 | 0.018 | 0.020 | 0.018   |                     |    |
| 0.047 | 0.041 | 0.029 | 0.023 | 0.026 | 0.041   |                     |    |
| 720   | 744   | 744   | 672   | 744   | 8730    | 0.129<br>~<br>0.016 |    |
| 0.082 | 0.089 | 0.081 | 0.052 | 0.056 | 0.089   |                     |    |
| 0.055 | 0.041 | 0.026 | 0.023 | 0.029 | 0.023   |                     |    |
| 0.059 | 0.053 | 0.035 | 0.029 | 0.038 | 0.053   |                     |    |

空間γ線線量率の管理目標値※：0.087μGy/h

※ 管理目標値は、事業活動に起因する放射線（能）等に適用される。  
 なお、測定結果については、環境中の自然放射線（能）等を含んだものである。（以下同じ。）

## ②大気浮遊塵中全α放射能濃度の測定結果

| 局   | 項目   | 年 | 平成26年 |       |       |       |       |       |       |
|-----|------|---|-------|-------|-------|-------|-------|-------|-------|
|     |      | 月 | 4     | 5     | 6     | 7     | 8     | 9     | 10    |
| 人形峠 | 測定件数 |   | 240   | 232   | 240   | 236   | 245   | 240   | 236   |
|     | 最高値  |   | 80.1  | 89.7  | 64.0  | 68.4  | 75.6  | 58.3  | 58.5  |
|     | 最低値  |   | 2.3   | 3.0   | 2.8   | 1.9   | 0.8   | 2.7   | 1.5   |
|     | 平均値  |   | 21.1  | 25.0  | 20.8  | 20.3  | 14.0  | 19.9  | 18.7  |
| 赤和瀬 | 測定件数 |   | 240   | 227   | 240   | 248   | 248   | 240   | 238   |
|     | 最高値  |   | 168.5 | 199.7 | 209.8 | 211.4 | 196.5 | 268.4 | 219.7 |
|     | 最低値  |   | 1.9   | 3.4   | 2.4   | 1.3   | 0.4   | 2.4   | 1.0   |
|     | 平均値  |   | 36.8  | 48.3  | 43.1  | 44.5  | 28.6  | 62.1  | 45.5  |
| 天王  | 測定件数 |   | 240   | 238   | 240   | 248   | 248   | 240   | 241   |
|     | 最高値  |   | 349.1 | 330.3 | 245.2 | 257.8 | 246.5 | 325.7 | 318.0 |
|     | 最低値  |   | 4.2   | 5.5   | 5.9   | 5.0   | 2.0   | 5.6   | 3.6   |
|     | 平均値  |   | 81.5  | 87.2  | 73.1  | 74.5  | 48.8  | 85.5  | 73.3  |

( ) \* 月平均測定件数

注1) 3局間で数値の差が認められるのは、山間部における地質の地域差、複雑な地形及び気象条件の違いによる。

注2) 5, 10月の測定件数減少は、定期点検等による。

測定件数 = 8件/日 × 日数/月

注3) 人形峠局の7, 8月の測定件数減少は、測定器不具合による。

単位：mBq/m<sup>3</sup>

|       |       | 平成27年 |      |       | 平成26年度値        | 過去5年間の<br>測定範囲    | 備考 |
|-------|-------|-------|------|-------|----------------|-------------------|----|
| 1 1   | 1 2   | 1     | 2    | 3     |                |                   |    |
| 240   | 248   | 248   | 224  | 247   | (240)*<br>2876 | 119.7<br>~<br>0.4 |    |
| 68.7  | 32.2  | 17.1  | 17.2 | 40.4  | 89.7           |                   |    |
| 2.6   | 1.9   | 1.0   | 1.4  | 1.9   | 0.8            |                   |    |
| 22.0  | 10.0  | 6.4   | 6.8  | 11.5  | 16.3           |                   |    |
| 240   | 248   | 248   | 224  | 247   | (241)*<br>2888 | 399.8<br>~<br>0.2 |    |
| 248.4 | 73.5  | 18.3  | 17.9 | 59.5  | 268.4          |                   |    |
| 2.4   | 1.2   | 0.8   | 0.7  | 1.7   | 0.4            |                   |    |
| 46.0  | 12.5  | 6.7   | 7.1  | 13.9  | 32.8           |                   |    |
| 240   | 248   | 248   | 224  | 247   | (242)*<br>2902 | 404.8<br>~<br>1.7 |    |
| 273.2 | 130.3 | 43.2  | 39.0 | 135.4 | 349.1          |                   |    |
| 5.0   | 3.5   | 2.7   | 2.9  | 4.6   | 2.0            |                   |    |
| 83.4  | 28.6  | 13.5  | 13.4 | 32.9  | 58.0           |                   |    |

大気浮遊塵中全α放射能濃度の管理目標値：設定なし

### ③大気中ふっ素濃度

| 局   | 項目                                             | 年 | 平成26年 |       |       |       |       |       |       |
|-----|------------------------------------------------|---|-------|-------|-------|-------|-------|-------|-------|
|     |                                                | 月 | 4     | 5     | 6     | 7     | 8     | 9     | 10    |
| 人形峠 | 測定件数 *                                         |   | 89    | 89    | 89    | 91    | 85    | 89    | 92    |
|     | $0.4 \times 10^{-4} \text{mg/m}^3$ **<br>以上の回数 |   | 0     | 0     | 0     | 2     | 1     | 0     | 0     |
|     | 同頻度 (%)                                        |   | 0.0   | 0.0   | 0.0   | 2.2   | 1.2   | 0.0   | 0.0   |
|     | 同累積値 ***                                       |   | 0.00  | 0.00  | 0.00  | 0.87  | 0.41  | 0.00  | 0.00  |
|     | 同平均値                                           |   | ----- | ----- | ----- | 0.44  | 0.41  | ----- | ----- |
|     | 最高値                                            |   | ----- | ----- | ----- | 0.46  | 0.41  | ----- | ----- |
| 赤和瀬 | 測定件数 *                                         |   | 89    | 90    | 89    | 92    | 92    | 89    | 92    |
|     | $0.4 \times 10^{-4} \text{mg/m}^3$ **<br>以上の回数 |   | 0     | 0     | 0     | 0     | 0     | 0     | 0     |
|     | 同頻度 (%)                                        |   | 0.0   | 0.0   | 0.0   | 0.0   | 0.0   | 0.0   | 0.0   |
|     | 同累積値 ***                                       |   | 0.00  | 0.00  | 0.00  | 0.00  | 0.00  | 0.00  | 0.00  |
|     | 同平均値                                           |   | ----- | ----- | ----- | ----- | ----- | ----- | ----- |
|     | 最高値                                            |   | ----- | ----- | ----- | ----- | ----- | ----- | ----- |
| 天王  | 測定件数 *                                         |   | 89    | 90    | 89    | 92    | 92    | 89    | 92    |
|     | $0.4 \times 10^{-4} \text{mg/m}^3$ **<br>以上の回数 |   | 0     | 0     | 0     | 0     | 0     | 0     | 0     |
|     | 同頻度 (%)                                        |   | 0.0   | 0.0   | 0.0   | 0.0   | 0.0   | 0.0   | 0.0   |
|     | 同累積値 ***                                       |   | 0.00  | 0.00  | 0.00  | 0.00  | 0.00  | 0.00  | 0.00  |
|     | 同平均値                                           |   | ----- | ----- | ----- | ----- | ----- | ----- | ----- |
|     | 最高値                                            |   | ----- | ----- | ----- | ----- | ----- | ----- | ----- |

\* 測定件数 = 3件/日 × 日数/月

\*\* 検出下限値

\*\*\* 検出下限値以上の値を積算した値

注1) 5月の測定件数減少は、定期点検等による。

注2) 8月の人形峠局の測定件数減少は、ゼロドリフト試験実施による。

単位：10<sup>-4</sup>mg/m<sup>3</sup>

|       |       | 平成27年 |       |       | 平成26年度値 | 過去5年間の<br>最高値 | 備考 |
|-------|-------|-------|-------|-------|---------|---------------|----|
| 1 1   | 1 2   | 1     | 2     | 3     |         |               |    |
| 89    | 91    | 92    | 83    | 92    | 1071    | 0.00          |    |
| 0     | 0     | 0     | 0     | 0     | 3       |               |    |
| 0.0   | 0.0   | 0.0   | 0.0   | 0.0   | 0.3     |               |    |
| 0.00  | 0.00  | 0.00  | 0.00  | 0.00  | 1.28    |               |    |
| ----- | ----- | ----- | ----- | ----- | 0.43    |               |    |
| ----- | ----- | ----- | ----- | ----- | 0.46    |               |    |
| 89    | 92    | 92    | 83    | 92    | 1081    | 0.42          |    |
| 0     | 0     | 0     | 0     | 0     | 0       |               |    |
| 0.0   | 0.0   | 0.0   | 0.0   | 0.0   | 0.0     |               |    |
| 0.00  | 0.00  | 0.00  | 0.00  | 0.00  | 0.00    |               |    |
| ----- | ----- | ----- | ----- | ----- | -----   |               |    |
| ----- | ----- | ----- | ----- | ----- | -----   |               |    |
| 89    | 92    | 92    | 83    | 92    | 1081    | 0.70          |    |
| 0     | 0     | 0     | 0     | 0     | 0       |               |    |
| 0.0   | 0.0   | 0.0   | 0.0   | 0.0   | 0.0     |               |    |
| 0.00  | 0.00  | 0.00  | 0.00  | 0.00  | 0.00    |               |    |
| ----- | ----- | ----- | ----- | ----- | -----   |               |    |
| ----- | ----- | ----- | ----- | ----- | -----   |               |    |

大気中のふっ素濃度の管理目標値：3.3×10<sup>-4</sup>mg/m<sup>3</sup>



## B . 月 別 日 平 均 値 集 計 表

☆表中の表記について

1. 項目「ふっ素濃度」については、 $0.4 \times 10^{-4} \text{mg/m}^3$ 以上の出現回数を、またカッコ内は同累積であることを示す。
2. 表中の---は全欠測（ただし、ふっ素濃度の場合は\*\*\*\*が全欠測）を示す。また、\*は1日の測定時間数が不足で有効測定日数と見なせないことを示す。
3. 風向については、「CLM」は静穏を示す。また、それぞれの地点での風向の出現頻度は、「平均」の段に一番多かった風向とその回数を、「最大」の段に二番目のもの、「最小」の段に三番目のものを示した。



# 月別日平均値集計表

2014年 05月

| 局<br>項<br>目    | 0 1 人 形 峠 |              |                               |                                                   |      |           |         |           |              |                               | 0 2 赤 和 瀬                                         |      |           |         |           |              |                               |                                                   |      |           | 0 3 天 王 |           |    |    |    |    |     |   |    |    |
|----------------|-----------|--------------|-------------------------------|---------------------------------------------------|------|-----------|---------|-----------|--------------|-------------------------------|---------------------------------------------------|------|-----------|---------|-----------|--------------|-------------------------------|---------------------------------------------------|------|-----------|---------|-----------|----|----|----|----|-----|---|----|----|
|                | 日         | 線量率<br>μGy/h | α<br>濃度<br>mBq/m <sup>3</sup> | ふっ素濃度<br>回数<br>10 <sup>-4</sup> mg/m <sup>3</sup> | 風向   | 風速<br>m/s | 気温<br>℃ | 降水量<br>mm | 線量率<br>μGy/h | α<br>濃度<br>mBq/m <sup>3</sup> | ふっ素濃度<br>回数<br>10 <sup>-4</sup> mg/m <sup>3</sup> | 風向   | 風速<br>m/s | 気温<br>℃ | 降水量<br>mm | 線量率<br>μGy/h | α<br>濃度<br>mBq/m <sup>3</sup> | ふっ素濃度<br>回数<br>10 <sup>-4</sup> mg/m <sup>3</sup> | 風向   | 風速<br>m/s | 気温<br>℃ | 降水量<br>mm |    |    |    |    |     |   |    |    |
|                |           |              |                               |                                                   |      |           |         |           |              |                               |                                                   |      |           |         |           |              |                               |                                                   |      |           |         |           | γ  | 風向 | 風速 | 気温 | 降水量 | γ | 濃度 | 回数 |
| 1              | 0.059     | 17.3         | 0                             | CLM                                               | 0.6  | +11.8     | 0.0     | 0.046     | 29.7         | 0                             | CLM                                               | 0.9  | +11.8     | 0.0     | 0.058     | 64.4         | 0                             | CLM                                               | 0.9  | +12.7     | 0.0     |           |    |    |    |    |     |   |    |    |
| 2              | 0.060     | 34.7         | 0                             | CLM                                               | 0.8  | +14.0     | 0.0     | 0.046     | 58.9         | 0                             | CLM                                               | 1.2  | +12.9     | 0.0     | 0.059     | 118.1        | 0                             | CLM                                               | 1.1  | +13.4     | 0.0     |           |    |    |    |    |     |   |    |    |
| 3              | 0.060     | 30.7         | 0                             | E                                                 | 1.0  | +11.6     | 0.0     | 0.046     | 60.9         | 0                             | CLM                                               | 1.4  | +9.8      | 0.0     | 0.060     | 109.4        | 0                             | N                                                 | 1.5  | +10.8     | 0.0     |           |    |    |    |    |     |   |    |    |
| 4              | 0.060     | 23.3         | 0                             | ENE                                               | 1.2  | +11.8     | 0.0     | 0.046     | 46.4         | 0                             | CLM                                               | 0.9  | +10.3     | 0.0     | 0.059     | 64.1         | 0                             | SSE                                               | 1.8  | +11.0     | 0.0     |           |    |    |    |    |     |   |    |    |
| 5              | 0.062     | 20.3         | 0                             | ENE                                               | 0.8  | +7.6      | 2.5     | 0.047     | 30.6         | 0                             | CLM                                               | 1.0  | +7.6      | 3.0     | 0.061     | 61.7         | 0                             | NNE                                               | 1.0  | +8.5      | 3.0     |           |    |    |    |    |     |   |    |    |
| 6              | 0.060     | 23.6         | 0                             | CLM                                               | 0.9  | +6.7      | 0.0     | 0.046     | 42.5         | 0                             | CLM                                               | 1.3  | +5.5      | 0.0     | 0.058     | 81.5         | 0                             | NW                                                | 1.4  | +6.5      | 0.0     |           |    |    |    |    |     |   |    |    |
| 7              | 0.060     | 24.6         | 0                             | CLM                                               | 1.2  | +11.3     | 0.0     | 0.046     | 55.8         | 0                             | CLM                                               | 1.0  | +9.8      | 0.0     | 0.057     | 77.5         | 0                             | CLM                                               | 1.5  | +10.1     | 0.0     |           |    |    |    |    |     |   |    |    |
| 8              | 0.061     | 29.6         | 0                             | ENE                                               | 2.0  | +13.2     | 3.0     | 0.046     | 33.7         | 0                             | S                                                 | 1.7  | +12.9     | 2.5     | 0.059     | 45.6         | 0                             | SE                                                | 3.3  | +14.0     | 1.0     |           |    |    |    |    |     |   |    |    |
| 9              | 0.060     | 13.4         | 0                             | W                                                 | 1.0  | +10.1     | 0.0     | 0.046     | 29.7         | 0                             | NNE                                               | 1.7  | +9.9      | 0.0     | 0.058     | 46.1         | 0                             | NW                                                | 1.4  | +11.1     | 0.0     |           |    |    |    |    |     |   |    |    |
| 10             | 0.060     | 14.5         | 0                             | E                                                 | 1.2  | +10.4     | 0.0     | 0.046     | 22.1         | 0                             | NNE                                               | 2.8  | +9.6      | 0.0     | 0.056     | 62.6         | 0                             | NNE                                               | 1.6  | +11.0     | 0.0     |           |    |    |    |    |     |   |    |    |
| 11             | 0.060     | 18.8         | 0                             | ENE                                               | 3.1  | +13.8     | 0.0     | 0.046     | 43.3         | 0                             | S                                                 | 2.4  | +12.4     | 0.0     | 0.058     | 54.6         | 0                             | SSE                                               | 2.8  | +13.5     | 0.0     |           |    |    |    |    |     |   |    |    |
| 12             | 0.062     | 7.5          | 0                             | ENE                                               | 4.2  | +13.2     | 6.0     | 0.048     | 8.2          | 0                             | SSW                                               | 2.7  | +13.2     | 5.0     | 0.058     | 22.1         | 0                             | SSE                                               | 4.9  | +14.6     | 6.5     |           |    |    |    |    |     |   |    |    |
| 13             | 0.060     | 34.3         | 0                             | CLM                                               | 0.9  | +16.0     | 0.0     | 0.046     | 91.7         | 0                             | N                                                 | 1.1  | +15.0     | 0.0     | 0.057     | 94.0         | 0                             | CLM                                               | 1.3  | +15.7     | 0.0     |           |    |    |    |    |     |   |    |    |
| 14             | 0.061     | 31.4         | 0                             | ENE                                               | 1.4  | +15.0     | 0.0     | 0.047     | 29.8         | 0                             | S                                                 | 1.0  | +14.1     | 0.0     | 0.058     | 101.1        | 0                             | CLM                                               | 1.2  | +14.5     | 0.0     |           |    |    |    |    |     |   |    |    |
| 15             | 0.064     | 24.6         | 0                             | E                                                 | 1.0  | +11.0     | 7.0     | 0.048     | 31.7         | 0                             | CLM                                               | 0.9  | +10.9     | 8.0     | 0.059     | 99.0         | 0                             | CLM                                               | 0.9  | +11.7     | 6.0     |           |    |    |    |    |     |   |    |    |
| 16             | 0.060     | 25.7         | 0                             | CLM                                               | 1.3  | +12.6     | 0.0     | 0.046     | 48.2         | 0                             | NW                                                | 1.4  | +12.0     | 0.0     | 0.057     | 109.8        | 0                             | CLM                                               | 1.4  | +11.9     | 0.0     |           |    |    |    |    |     |   |    |    |
| 17             | 0.060     | 23.9         | 0                             | W                                                 | 1.1  | +12.6     | 0.0     | 0.046     | 53.7         | 0                             | N                                                 | 1.1  | +12.0     | 0.0     | 0.059     | 103.6        | 0                             | NW                                                | 1.4  | +12.5     | 0.0     |           |    |    |    |    |     |   |    |    |
| 18             | 0.060     | 20.7         | 0                             | CLM                                               | 0.7  | +14.9     | 0.0     | 0.046     | 62.0         | 0                             | CLM                                               | 0.8  | +13.3     | 0.0     | 0.059     | 90.9         | 0                             | CLM                                               | 1.2  | +14.0     | 0.0     |           |    |    |    |    |     |   |    |    |
| 19             | 0.061     | 30.9         | 0                             | CLM                                               | 0.9  | +16.4     | 0.0     | 0.046     | 73.3         | 0                             | CLM                                               | 0.9  | +15.1     | 0.0     | 0.059     | 124.5        | 0                             | CLM                                               | 1.0  | +15.3     | 0.0     |           |    |    |    |    |     |   |    |    |
| 20             | 0.063     | 24.7         | 0                             | E                                                 | 2.1  | +13.6     | 22.5    | 0.049     | 59.9         | 0                             | CLM                                               | 1.1  | +13.1     | 23.0    | 0.061     | 107.6        | 0                             | CLM                                               | 1.4  | +13.6     | 23.5    |           |    |    |    |    |     |   |    |    |
| 21             | 0.062     | 9.2          | 0                             | ESE                                               | 1.1  | +11.9     | 18.0    | 0.048     | 4.6          | 0                             | NNE                                               | 2.7  | +11.7     | 18.5    | 0.059     | 34.1         | 0                             | NW                                                | 1.7  | +12.8     | 19.5    |           |    |    |    |    |     |   |    |    |
| 22             | 0.060     | 10.2         | 0                             | ENE                                               | 1.2  | +11.8     | 0.5     | 0.045     | 7.4          | 0                             | NNE                                               | 1.5  | +11.8     | 0.0     | 0.057     | 38.7         | 0                             | NW                                                | 1.3  | +13.0     | 0.5     |           |    |    |    |    |     |   |    |    |
| 23             | 0.059     | 13.1         | 0                             | CLM                                               | 0.7  | +11.0     | 0.0     | 0.045     | 21.1         | 0                             | NNE                                               | 1.5  | +10.8     | 0.0     | 0.056     | 33.7         | 0                             | NW                                                | 1.2  | +12.2     | 0.0     |           |    |    |    |    |     |   |    |    |
| 24             | 0.060     | 31.8         | 0                             | CLM                                               | 0.9  | +15.9     | 0.0     | 0.046     | 72.9         | 0                             | CLM                                               | 0.9  | +14.9     | 0.0     | 0.059     | 120.7        | 0                             | CLM                                               | 1.1  | +15.2     | 0.0     |           |    |    |    |    |     |   |    |    |
| 25             | 0.061     | 30.3         | 0                             | ENE                                               | 1.5  | +17.5     | 0.0     | 0.047     | 52.4         | 0                             | SSE                                               | 1.2  | +17.5     | 0.0     | 0.060     | 90.9         | 0                             | SSE                                               | 1.8  | +17.9     | 0.0     |           |    |    |    |    |     |   |    |    |
| 26             | 0.065     | 13.6         | 0                             | ENE                                               | 1.9  | +13.6     | 20.0    | 0.049     | 16.5         | 0                             | S                                                 | 1.3  | +13.8     | 17.0    | 0.061     | 21.3         | 0                             | SE                                                | 2.5  | +15.1     | 14.0    |           |    |    |    |    |     |   |    |    |
| 27             | 0.060     | 31.0         | 0                             | CLM                                               | 0.6  | +15.2     | 0.5     | 0.046     | 55.8         | 0                             | CLM                                               | 0.6  | +14.4     | 0.0     | 0.057     | 97.7         | 0                             | CLM                                               | 0.8  | +14.7     | 0.0     |           |    |    |    |    |     |   |    |    |
| 28             | 0.061     | 36.4         | 0                             | CLM                                               | 0.8  | +17.4     | 0.0     | 0.046     | 71.1         | 0                             | S                                                 | 1.0  | +16.6     | 0.0     | 0.058     | 125.4        | 0                             | CLM                                               | 1.2  | +16.7     | 0.0     |           |    |    |    |    |     |   |    |    |
| 29             | 0.061     | 34.3         | 0                             | CLM                                               | 0.9  | +18.9     | 0.0     | 0.046     | 71.3         | 0                             | CLM                                               | 0.9  | +18.0     | 0.0     | 0.059     | 123.9        | 0                             | CLM                                               | 1.1  | +18.2     | 0.0     |           |    |    |    |    |     |   |    |    |
| 30             | 0.061     | 44.0         | 0                             | CLM                                               | 0.7  | +18.8     | 0.0     | 0.047     | 91.8         | 0                             | CLM                                               | 0.8  | +18.0     | 0.0     | 0.059     | 167.3        | 0                             | CLM                                               | 0.8  | +18.3     | 0.0     |           |    |    |    |    |     |   |    |    |
| 31             | 0.061     | 45.8         | 0                             | CLM                                               | 0.6  | +19.9     | 0.0     | 0.047     | 92.0         | 0                             | CLM                                               | 0.8  | +18.8     | 0.0     | 0.059     | 165.5        | 0                             | CLM                                               | 1.1  | +19.1     | 0.0     |           |    |    |    |    |     |   |    |    |
| 有効<br>測定<br>日数 | 31        | 31           | 31                            | 29                                                | 31   | 31        | 31      | 31        | 31           | 31                            | 30                                                | 31   | 31        | 31      | 31        | 31           | 31                            | 30                                                | 31   | 31        | 31      | 31        | 31 |    |    |    |     |   |    |    |
| 平均             | 0.061     | 25.0         | 0.00                          | 0.00                                              | 1.2  | +13.5     | 2.6     | 0.047     | 47.4         | 0.00                          | 209                                               | 1.3  | +12.8     | 2.5     | 0.059     | 85.7         | 0.00                          | 191                                               | 1.5  | +13.5     | 2.4     | 2.4       |    |    |    |    |     |   |    |    |
| 最大             | 0.065     | 45.8         | 0.00                          | 0.00                                              | 4.2  | +19.9     | 22.5    | 0.049     | 92.0         | 0.00                          | 112                                               | 2.8  | +18.8     | 23.0    | 0.061     | 167.3        | 0.00                          | 76                                                | 4.9  | +19.1     | 23.5    | 23.5      |    |    |    |    |     |   |    |    |
| 最小             | 0.059     | 7.5          | 0.00                          | 0.00                                              | 0.6  | +6.7      | 0.0     | 0.045     | 4.6          | 0.00                          | 107                                               | 0.6  | +5.5      | 0.0     | 0.056     | 21.3         | 0.00                          | 76                                                | 0.8  | +6.5      | 0.0     | 0.0       |    |    |    |    |     |   |    |    |
| 合計             | 1.883     | 774.0        | 0                             | 0.00                                              | 38.1 | +419.5    | 80.0    | 1.442     | 1468.9       | 0                             | 0.00                                              | 40.3 | +397.5    | 77.0    | 1.814     | 2657.4       | 0                             | 0.00                                              | 47.5 | +419.6    | 74.0    | 74.0      |    |    |    |    |     |   |    |    |

2014年 06月

月別日平均値集計表

| 局<br>項<br>目    | 人 形 峠             |                               |                                                        |      |           |         |           |                   |                               |                                                        | 赤 和 瀬 |           |         |           |                   |                               |                                                        |      |           |         | 0 3       |                   |                               |                                                        |      |           |         |           |    |  | 天 |  |  | 王 |  |  |
|----------------|-------------------|-------------------------------|--------------------------------------------------------|------|-----------|---------|-----------|-------------------|-------------------------------|--------------------------------------------------------|-------|-----------|---------|-----------|-------------------|-------------------------------|--------------------------------------------------------|------|-----------|---------|-----------|-------------------|-------------------------------|--------------------------------------------------------|------|-----------|---------|-----------|----|--|---|--|--|---|--|--|
|                | 0 1               |                               |                                                        |      |           | 0 2     |           |                   |                               |                                                        | 0 3   |           |         |           |                   | 0 4                           |                                                        |      |           |         | 0 5       |                   |                               |                                                        |      | 天         |         |           | 王  |  |   |  |  |   |  |  |
|                | γ<br>線量率<br>μGy/h | α<br>濃度<br>mBq/m <sup>3</sup> | ふっ素濃度<br>回数 累積<br>回 10 <sup>-4</sup> mg/m <sup>3</sup> | 風向   | 風速<br>m/s | 気温<br>℃ | 降水量<br>mm | γ<br>線量率<br>μGy/h | α<br>濃度<br>mBq/m <sup>3</sup> | ふっ素濃度<br>回数 累積<br>回 10 <sup>-4</sup> mg/m <sup>3</sup> | 風向    | 風速<br>m/s | 気温<br>℃ | 降水量<br>mm | γ<br>線量率<br>μGy/h | α<br>濃度<br>mBq/m <sup>3</sup> | ふっ素濃度<br>回数 累積<br>回 10 <sup>-4</sup> mg/m <sup>3</sup> | 風向   | 風速<br>m/s | 気温<br>℃ | 降水量<br>mm | γ<br>線量率<br>μGy/h | α<br>濃度<br>mBq/m <sup>3</sup> | ふっ素濃度<br>回数 累積<br>回 10 <sup>-4</sup> mg/m <sup>3</sup> | 風向   | 風速<br>m/s | 気温<br>℃ | 降水量<br>mm |    |  |   |  |  |   |  |  |
| 1              | 0.061             | 28.5                          | 0                                                      | CLM  | 0.7       | +21.4   | 0.0       | 0.046             | 78.7                          | 0                                                      | CLM   | 0.8       | +19.5   | 0.0       | 0.059             | 120.7                         | 0                                                      | CLM  | 1.1       | +19.5   | 0.0       | 0.059             | 120.7                         | 0                                                      | CLM  | 1.1       | +19.5   | 0.0       |    |  |   |  |  |   |  |  |
| 2              | 0.061             | 27.6                          | 0                                                      | ENE  | 2.2       | +20.4   | 0.0       | 0.047             | 81.2                          | 0                                                      | CLM   | 1.3       | +19.8   | 0.0       | 0.060             | 102.8                         | 0                                                      | CLM  | 1.9       | +20.2   | 0.0       | 0.060             | 102.8                         | 0                                                      | CLM  | 1.9       | +20.2   | 0.0       |    |  |   |  |  |   |  |  |
| 3              | 0.061             | 8.7                           | 0                                                      | ENE  | 3.9       | +18.0   | 0.0       | 0.046             | 17.8                          | 0                                                      | SSE   | 2.4       | +17.9   | 0.0       | 0.059             | 20.2                          | 0                                                      | S    | 4.4       | +19.1   | 0.0       | 0.059             | 20.2                          | 0                                                      | S    | 4.4       | +19.1   | 0.0       |    |  |   |  |  |   |  |  |
| 4              | 0.061             | 13.3                          | 0                                                      | ENE  | 3.5       | +16.3   | 4.5       | 0.047             | 14.3                          | 0                                                      | SSE   | 2.0       | +16.5   | 5.5       | 0.059             | 23.8                          | 0                                                      | S    | 3.5       | +17.7   | 5.0       | 0.059             | 23.8                          | 0                                                      | S    | 3.5       | +17.7   | 5.0       |    |  |   |  |  |   |  |  |
| 5              | 0.062             | 13.3                          | 0                                                      | ENE  | 1.9       | +15.5   | 13.5      | 0.047             | 17.3                          | 0                                                      | CLM   | 0.8       | +15.9   | 12.5      | 0.058             | 59.8                          | 0                                                      | N    | 1.1       | +16.5   | 11.0      | 0.058             | 59.8                          | 0                                                      | N    | 1.1       | +16.5   | 11.0      |    |  |   |  |  |   |  |  |
| 6              | 0.062             | 13.0                          | 0                                                      | CLM  | 0.7       | +16.9   | 13.5      | 0.047             | 28.4                          | 0                                                      | CLM   | 0.4       | +16.8   | 16.0      | 0.059             | 72.2                          | 0                                                      | CLM  | 0.5       | +17.6   | 8.0       | 0.059             | 72.2                          | 0                                                      | CLM  | 0.5       | +17.6   | 8.0       |    |  |   |  |  |   |  |  |
| 7              | 0.062             | 14.4                          | 0                                                      | CLM  | 0.6       | +16.5   | 10.5      | 0.048             | 27.9                          | 0                                                      | CLM   | 0.6       | +17.2   | 7.5       | 0.060             | 64.5                          | 0                                                      | CLM  | 1.0       | +17.8   | 9.5       | 0.060             | 64.5                          | 0                                                      | CLM  | 1.0       | +17.8   | 9.5       |    |  |   |  |  |   |  |  |
| 8              | 0.062             | 16.8                          | 0                                                      | CLM  | 0.6       | +16.5   | 5.0       | 0.047             | 34.9                          | 0                                                      | CLM   | 0.7       | +17.1   | 0.0       | 0.059             | 63.8                          | 0                                                      | NW   | 1.2       | +17.8   | 0.0       | 0.059             | 63.8                          | 0                                                      | NW   | 1.2       | +17.8   | 0.0       |    |  |   |  |  |   |  |  |
| 9              | 0.061             | 21.3                          | 0                                                      | CLM  | 0.7       | +18.4   | 3.5       | 0.047             | 51.2                          | 0                                                      | CLM   | 0.9       | +18.6   | 1.0       | 0.060             | 59.3                          | 0                                                      | CLM  | 1.3       | +19.3   | 4.0       | 0.060             | 59.3                          | 0                                                      | CLM  | 1.3       | +19.3   | 4.0       |    |  |   |  |  |   |  |  |
| 10             | 0.059             | 14.3                          | 0                                                      | ENE  | 1.3       | +18.6   | 0.0       | 0.046             | 34.5                          | 0                                                      | CLM   | 0.9       | +18.6   | 0.0       | 0.058             | 60.1                          | 0                                                      | CLM  | 1.0       | +19.3   | 0.5       | 0.058             | 60.1                          | 0                                                      | CLM  | 1.0       | +19.3   | 0.5       |    |  |   |  |  |   |  |  |
| 11             | 0.060             | 12.2                          | 0                                                      | ENE  | 1.1       | +17.5   | 0.5       | 0.046             | 18.6                          | 0                                                      | CLM   | 0.7       | +17.6   | 2.0       | 0.059             | 46.2                          | 0                                                      | CLM  | 0.7       | +18.5   | 1.0       | 0.059             | 46.2                          | 0                                                      | CLM  | 0.7       | +18.5   | 1.0       |    |  |   |  |  |   |  |  |
| 12             | 0.062             | 4.6                           | 0                                                      | CLM  | 0.8       | +15.3   | 40.5      | 0.047             | 6.3                           | 0                                                      | NNE   | 1.9       | +15.5   | 31.5      | 0.059             | 33.2                          | 0                                                      | CLM  | 0.9       | +16.5   | 19.0      | 0.059             | 33.2                          | 0                                                      | CLM  | 0.9       | +16.5   | 19.0      |    |  |   |  |  |   |  |  |
| 13             | 0.061             | 8.8                           | 0                                                      | E    | 1.0       | +13.9   | 19.0      | 0.046             | 10.3                          | 0                                                      | N     | 1.2       | +14.1   | 18.5      | 0.057             | 27.0                          | 0                                                      | N    | 1.0       | +15.3   | 12.5      | 0.057             | 27.0                          | 0                                                      | N    | 1.0       | +15.3   | 12.5      |    |  |   |  |  |   |  |  |
| 14             | 0.060             | 21.9                          | 0                                                      | CLM  | 0.5       | +16.4   | 0.0       | 0.045             | 38.8                          | 0                                                      | CLM   | 0.7       | +16.3   | 0.0       | 0.058             | 74.9                          | 0                                                      | CLM  | 0.7       | +16.9   | 0.0       | 0.058             | 74.9                          | 0                                                      | CLM  | 0.7       | +16.9   | 0.0       |    |  |   |  |  |   |  |  |
| 15             | 0.060             | 23.6                          | 0                                                      | CLM  | 0.7       | +17.1   | 0.0       | 0.046             | 38.1                          | 0                                                      | N     | 1.0       | +16.6   | 0.0       | 0.057             | 81.1                          | 0                                                      | CLM  | 0.9       | +17.1   | 0.0       | 0.057             | 81.1                          | 0                                                      | CLM  | 0.9       | +17.1   | 0.0       |    |  |   |  |  |   |  |  |
| 16             | 0.060             | 24.5                          | 0                                                      | CLM  | 0.6       | +17.6   | 0.0       | 0.046             | 53.3                          | 0                                                      | CLM   | 0.8       | +17.0   | 0.0       | 0.058             | 91.7                          | 0                                                      | CLM  | 0.8       | +17.5   | 0.0       | 0.058             | 91.7                          | 0                                                      | CLM  | 0.8       | +17.5   | 0.0       |    |  |   |  |  |   |  |  |
| 17             | 0.061             | 37.3                          | 0                                                      | CLM  | 0.5       | +17.3   | 0.0       | 0.047             | 76.9                          | 0                                                      | CLM   | 0.4       | +16.7   | 0.0       | 0.060             | 132.2                         | 0                                                      | CLM  | 0.5       | +17.5   | 0.0       | 0.060             | 132.2                         | 0                                                      | CLM  | 0.5       | +17.5   | 0.0       |    |  |   |  |  |   |  |  |
| 18             | 0.063             | 36.6                          | 0                                                      | W    | 0.7       | +14.9   | 5.5       | 0.048             | 82.3                          | 0                                                      | CLM   | 0.7       | +14.7   | 4.5       | 0.060             | 112.5                         | 0                                                      | CLM  | 0.6       | +15.6   | 5.5       | 0.060             | 112.5                         | 0                                                      | CLM  | 0.6       | +15.6   | 5.5       |    |  |   |  |  |   |  |  |
| 19             | 0.061             | 29.9                          | 0                                                      | CLM  | 0.7       | +17.4   | 0.5       | 0.046             | 57.2                          | 0                                                      | CLM   | 0.7       | +17.0   | 0.5       | 0.058             | 93.6                          | 0                                                      | CLM  | 0.7       | +17.4   | 0.5       | 0.058             | 93.6                          | 0                                                      | CLM  | 0.7       | +17.4   | 0.5       |    |  |   |  |  |   |  |  |
| 20             | 0.061             | 37.9                          | 0                                                      | CLM  | 0.6       | +18.4   | 0.0       | 0.047             | 68.0                          | 0                                                      | CLM   | 0.9       | +18.2   | 0.0       | 0.060             | 106.2                         | 0                                                      | CLM  | 0.9       | +18.6   | 0.5       | 0.060             | 106.2                         | 0                                                      | CLM  | 0.9       | +18.6   | 0.5       |    |  |   |  |  |   |  |  |
| 21             | 0.062             | 31.8                          | 0                                                      | ENE  | 1.0       | +18.2   | 4.0       | 0.047             | 65.9                          | 0                                                      | CLM   | 0.9       | +18.0   | 3.5       | 0.062             | 108.2                         | 0                                                      | CLM  | 0.8       | +18.6   | 3.5       | 0.062             | 108.2                         | 0                                                      | CLM  | 0.8       | +18.6   | 3.5       |    |  |   |  |  |   |  |  |
| 22             | 0.064             | 10.0                          | 0                                                      | CLM  | 0.5       | +16.4   | 17.5      | 0.049             | 15.3                          | 0                                                      | NNE   | 1.1       | +16.6   | 16.0      | 0.062             | 43.7                          | 0                                                      | CLM  | 0.7       | +17.5   | 16.0      | 0.062             | 43.7                          | 0                                                      | CLM  | 0.7       | +17.5   | 16.0      |    |  |   |  |  |   |  |  |
| 23             | 0.059             | 10.5                          | 0                                                      | CLM  | 0.6       | +16.0   | 0.0       | 0.045             | 16.6                          | 0                                                      | NNE   | 1.0       | +16.2   | 0.0       | 0.057             | 29.1                          | 0                                                      | NW   | 1.3       | +17.2   | 0.0       | 0.057             | 29.1                          | 0                                                      | NW   | 1.3       | +17.2   | 0.0       |    |  |   |  |  |   |  |  |
| 24             | 0.060             | 18.8                          | 0                                                      | CLM  | 0.7       | +17.0   | 0.0       | 0.046             | 41.3                          | 0                                                      | CLM   | 1.2       | +16.7   | 0.0       | 0.058             | 68.1                          | 0                                                      | NW   | 1.3       | +17.3   | 0.0       | 0.058             | 68.1                          | 0                                                      | NW   | 1.3       | +17.3   | 0.0       |    |  |   |  |  |   |  |  |
| 25             | 0.060             | 21.8                          | 0                                                      | CLM  | 0.7       | +18.3   | 0.0       | 0.046             | 48.0                          | 0                                                      | CLM   | 0.9       | +17.9   | 0.0       | 0.059             | 76.6                          | 0                                                      | CLM  | 0.8       | +18.5   | 0.0       | 0.059             | 76.6                          | 0                                                      | CLM  | 0.8       | +18.5   | 0.0       |    |  |   |  |  |   |  |  |
| 26             | 0.061             | 34.0                          | 0                                                      | ENE  | 1.2       | +19.3   | 0.0       | 0.047             | 66.1                          | 0                                                      | CLM   | 0.9       | +18.9   | 0.0       | 0.060             | 106.8                         | 0                                                      | CLM  | 1.3       | +19.4   | 0.0       | 0.060             | 106.8                         | 0                                                      | CLM  | 1.3       | +19.4   | 0.0       |    |  |   |  |  |   |  |  |
| 27             | 0.061             | 22.4                          | 0                                                      | ENE  | 1.9       | +18.3   | 0.0       | 0.046             | 62.0                          | 0                                                      | CLM   | 1.0       | +18.3   | 0.0       | 0.059             | 88.9                          | 0                                                      | SSE  | 1.3       | +19.0   | 0.0       | 0.059             | 88.9                          | 0                                                      | SSE  | 1.3       | +19.0   | 0.0       |    |  |   |  |  |   |  |  |
| 28             | 0.063             | 15.3                          | 0                                                      | CLM  | 0.7       | +18.3   | 13.0      | 0.049             | 34.7                          | 0                                                      | CLM   | 0.4       | +18.3   | 11.0      | 0.061             | 67.2                          | 0                                                      | CLM  | 0.7       | +19.1   | 10.5      | 0.061             | 67.2                          | 0                                                      | CLM  | 0.7       | +19.1   | 10.5      |    |  |   |  |  |   |  |  |
| 29             | 0.064             | 23.6                          | 0                                                      | CLM  | 0.5       | +17.4   | 74.0      | 0.049             | 46.5                          | 0                                                      | CLM   | 0.7       | +17.2   | 58.0      | 0.061             | 76.3                          | 0                                                      | CLM  | 0.7       | +17.8   | 57.5      | 0.061             | 76.3                          | 0                                                      | CLM  | 0.7       | +17.8   | 57.5      |    |  |   |  |  |   |  |  |
| 30             | 0.060             | 26.4                          | 0                                                      | CLM  | 0.6       | +17.9   | 0.5       | 0.046             | 59.5                          | 0                                                      | CLM   | 0.8       | +17.5   | 0.5       | 0.057             | 83.2                          | 0                                                      | CLM  | 1.0       | +18.3   | 0.5       | 0.057             | 83.2                          | 0                                                      | CLM  | 1.0       | +18.3   | 0.5       |    |  |   |  |  |   |  |  |
| 31             |                   |                               |                                                        |      |           |         |           |                   |                               |                                                        |       |           |         |           |                   |                               |                                                        |      |           |         |           |                   |                               |                                                        |      |           |         |           |    |  |   |  |  |   |  |  |
| 有効<br>測定<br>日数 | 30                | 30                            | 30                                                     | 30   | 30        | 30      | 30        | 30                | 30                            | 30                                                     | 30    | 30        | 30      | 30        | 30                | 30                            | 30                                                     | 30   | 30        | 30      | 30        | 30                | 30                            | 30                                                     | 30   | 30        | 30      | 30        | 30 |  |   |  |  |   |  |  |
| 平均             | 0.061             | 20.8                          | 0.00                                                   | 224  | 1.1       | +17.4   | 7.5       | 0.047             | 43.1                          | 0.00                                                   | 275   | 1.0       | +17.2   | 6.3       | 0.059             | 73.1                          | 0.00                                                   | 246  | 1.2       | +18.0   | 5.5       | 0.059             | 73.1                          | 0.00                                                   | 246  | 1.2       | +18.0   | 5.5       |    |  |   |  |  |   |  |  |
| 最大             | 0.064             | 37.9                          | 0.00                                                   | 147  | 3.9       | +21.4   | 74.0      | 0.049             | 82.3                          | 0.00                                                   | 109   | 2.4       | +19.8   | 58.0      | 0.062             | 132.2                         | 0.00                                                   | 71   | 4.4       | +20.2   | 57.5      | 0.062             | 132.2                         | 0.00                                                   | 71   | 4.4       | +20.2   | 57.5      |    |  |   |  |  |   |  |  |
| 最小             | 0.059             | 4.6                           | 0.00                                                   | 60   | 0.5       | +13.9   | 0.0       | 0.045             | 6.3                           | 0.00                                                   | 71    | 0.4       | +14.1   | 0.0       | 0.057             | 20.2                          | 0.00                                                   | 67   | 0.5       | +15.3   | 0.0       | 0.057             | 20.2                          | 0.00                                                   | 67   | 0.5       | +15.3   | 0.0       |    |  |   |  |  |   |  |  |
| 合計             | 1.834             | 623.0                         | 0                                                      | 31.7 | +521.3    | 225.5   | 1.399     | 1291.9            | 0                             | 0.00                                                   | 28.6  | +517.3    | 188.5   | 1.769     | 2194.0            | 0                             | 0.00                                                   | 34.8 | +538.6    | 165.0   | 1.769     | 2194.0            | 0                             | 0.00                                                   | 34.8 | +538.6    | 165.0   |           |    |  |   |  |  |   |  |  |

# 月別日平均値集計表

2014年 07月

| 局<br>項<br>目    | 人 形 峠             |                               |                                                        |      |                                                        |         |           |                   |                               |                                                        | 赤 和 瀬   |           |           |           |                   |                               |                                                        |      |                                                        |         | 0 3       |      |           |    |         |    |           |    |    |    | 天  |    |    | 王 |  |  |
|----------------|-------------------|-------------------------------|--------------------------------------------------------|------|--------------------------------------------------------|---------|-----------|-------------------|-------------------------------|--------------------------------------------------------|---------|-----------|-----------|-----------|-------------------|-------------------------------|--------------------------------------------------------|------|--------------------------------------------------------|---------|-----------|------|-----------|----|---------|----|-----------|----|----|----|----|----|----|---|--|--|
|                | γ<br>線量率<br>μGy/h |                               | α<br>濃度<br>mBq/m <sup>3</sup>                          |      | ふっ素濃度<br>回数 累積<br>回 10 <sup>-4</sup> mg/m <sup>3</sup> |         | 風向        |                   | 風速<br>m/s                     |                                                        | 気温<br>℃ |           | 降水量<br>mm |           | γ<br>線量率<br>μGy/h |                               | α<br>濃度<br>mBq/m <sup>3</sup>                          |      | ふっ素濃度<br>回数 累積<br>回 10 <sup>-4</sup> mg/m <sup>3</sup> |         | 風向        |      | 風速<br>m/s |    | 気温<br>℃ |    | 降水量<br>mm |    | 天  |    | 王  |    |    |   |  |  |
|                | γ<br>線量率<br>μGy/h | α<br>濃度<br>mBq/m <sup>3</sup> | ふっ素濃度<br>回数 累積<br>回 10 <sup>-4</sup> mg/m <sup>3</sup> | 風向   | 風速<br>m/s                                              | 気温<br>℃ | 降水量<br>mm | γ<br>線量率<br>μGy/h | α<br>濃度<br>mBq/m <sup>3</sup> | ふっ素濃度<br>回数 累積<br>回 10 <sup>-4</sup> mg/m <sup>3</sup> | 風向      | 風速<br>m/s | 気温<br>℃   | 降水量<br>mm | γ<br>線量率<br>μGy/h | α<br>濃度<br>mBq/m <sup>3</sup> | ふっ素濃度<br>回数 累積<br>回 10 <sup>-4</sup> mg/m <sup>3</sup> | 風向   | 風速<br>m/s                                              | 気温<br>℃ | 降水量<br>mm | 天    | 王         |    |         |    |           |    |    |    |    |    |    |   |  |  |
| 1              | 0.060             | 26.7                          | 0                                                      | CLM  | 0.7                                                    | +19.4   | 0.0       | 0.046             | 51.1                          | 0                                                      | CLM     | 0.9       | +18.8     | 0.0       | 0.058             | 82.2                          | 0                                                      | CLM  | 1.1                                                    | +19.7   | 0.0       |      |           |    |         |    |           |    |    |    |    |    |    |   |  |  |
| 2              | 0.061             | 29.0                          | 0                                                      | ENE  | 1.1                                                    | +20.5   | 0.0       | 0.047             | 65.0                          | 0                                                      | CLM     | 0.6       | +19.9     | 0.0       | 0.060             | 98.2                          | 0                                                      | CLM  | 1.0                                                    | +20.5   | 0.0       |      |           |    |         |    |           |    |    |    |    |    |    |   |  |  |
| 3              | 0.067             | 13.2                          | 0                                                      | ENE  | 2.1                                                    | +17.2   | 23.0      | 0.051             | 25.8                          | 0                                                      | CLM     | 1.0       | +17.1     | 0.0       | 0.064             | 54.6                          | 0                                                      | NE   | 1.3                                                    | +17.9   | 20.0      |      |           |    |         |    |           |    |    |    |    |    |    |   |  |  |
| 4              | 0.063             | 6.2                           | 0                                                      | ENE  | 1.0                                                    | +18.0   | 13.0      | 0.048             | 9.8                           | 0                                                      | CLM     | 1.0       | +18.1     | 0.0       | 0.060             | 18.9                          | 0                                                      | SE   | 1.0                                                    | +19.2   | 9.5       |      |           |    |         |    |           |    |    |    |    |    |    |   |  |  |
| 5              | 0.066             | 3.5                           | 0                                                      | E    | 1.1                                                    | +17.4   | 66.5      | 0.049             | 4.8                           | 0                                                      | NW      | 1.0       | +17.7     | 0.0       | 0.060             | 25.9                          | 0                                                      | CLM  | 0.7                                                    | +18.7   | 43.0      |      |           |    |         |    |           |    |    |    |    |    |    |   |  |  |
| 6              | 0.062             | 12.1                          | 0                                                      | ENE  | 1.3                                                    | +18.2   | 9.5       | 0.047             | 19.4                          | 0                                                      | CLM     | 0.5       | +18.2     | 0.0       | 0.059             | 43.0                          | 0                                                      | CLM  | 0.7                                                    | +19.1   | 9.5       |      |           |    |         |    |           |    |    |    |    |    |    |   |  |  |
| 7              | 0.063             | 10.6                          | 0                                                      | CLM  | 0.8                                                    | +19.8   | 13.0      | 0.047             | 20.1                          | 0                                                      | S       | 0.7       | +19.9     | 0.0       | 0.059             | 53.4                          | 0                                                      | N    | 1.2                                                    | +20.6   | 11.0      |      |           |    |         |    |           |    |    |    |    |    |    |   |  |  |
| 8              | 0.061             | 15.5                          | 0                                                      | ENE  | 1.2                                                    | +22.7   | 0.5       | 0.046             | 31.0                          | 0                                                      | S       | 0.8       | +22.8     | 0.0       | 0.058             | 57.7                          | 0                                                      | CLM  | 1.2                                                    | +23.6   | 0.0       |      |           |    |         |    |           |    |    |    |    |    |    |   |  |  |
| 9              | 0.059             | 9.7                           | 0                                                      | ENE  | 3.1                                                    | +22.8   | 1.0       | 0.045             | 15.1                          | 0                                                      | S       | 2.0       | +22.9     | 0.0       | 0.058             | 23.7                          | 0                                                      | SSE  | 2.9                                                    | +24.2   | 1.0       |      |           |    |         |    |           |    |    |    |    |    |    |   |  |  |
| 10             | 0.062             | 4.5                           | 0                                                      | ENE  | 4.1                                                    | +21.9   | 25.0      | 0.047             | 5.1                           | 0                                                      | SSE     | 2.5       | +21.8     | 0.0       | 0.059             | 12.9                          | 0                                                      | SSE  | 3.4                                                    | +23.3   | 19.0      |      |           |    |         |    |           |    |    |    |    |    |    |   |  |  |
| 11             | 0.060             | 19.8                          | 0                                                      | CLM  | 0.8                                                    | +21.1   | 0.0       | 0.046             | 27.8                          | 0                                                      | N       | 1.0       | +21.1     | 0.0       | 0.056             | 57.0                          | 0                                                      | CLM  | 1.0                                                    | +22.0   | 0.5       |      |           |    |         |    |           |    |    |    |    |    |    |   |  |  |
| 12             | 0.060             | 38.1                          | 0                                                      | CLM  | 0.5                                                    | +21.5   | 0.0       | 0.047             | 78.7                          | 0                                                      | CLM     | 0.6       | +20.7     | 0.0       | 0.057             | 123.9                         | 0                                                      | N    | 0.8                                                    | +21.1   | 0.0       |      |           |    |         |    |           |    |    |    |    |    |    |   |  |  |
| 13             | 0.067             | 19.5                          | 0                                                      | NE   | 1.0                                                    | +19.6   | 33.5      | 0.052             | 36.5                          | 0                                                      | S       | 0.8       | +19.5     | 0.0       | 0.063             | 67.7                          | 0                                                      | CLM  | 1.0                                                    | +20.3   | 35.0      |      |           |    |         |    |           |    |    |    |    |    |    |   |  |  |
| 14             | 0.062             | 16.7                          | 0                                                      | CLM  | 0.4                                                    | +19.9   | 3.5       | 0.047             | 29.5                          | 0                                                      | CLM     | 0.3       | +19.8     | 0.0       | 0.058             | 58.8                          | 0                                                      | CLM  | 0.6                                                    | +20.6   | 1.5       |      |           |    |         |    |           |    |    |    |    |    |    |   |  |  |
| 15             | 0.060             | 25.9                          | 0                                                      | CLM  | 0.7                                                    | +21.8   | 0.0       | 0.046             | 59.4                          | 0                                                      | CLM     | 0.7       | +21.5     | 0.0       | 0.059             | 122.4                         | 0                                                      | CLM  | 0.8                                                    | +21.5   | 0.0       |      |           |    |         |    |           |    |    |    |    |    |    |   |  |  |
| 16             | 0.060             | 22.7                          | 1                                                      | ENE  | 0.9                                                    | +22.4   | 1.0       | 0.046             | 34.8                          | 0                                                      | S       | 0.9       | +22.3     | 0.0       | 0.058             | 61.1                          | 0                                                      | SE   | 1.6                                                    | +23.0   | 1.0       |      |           |    |         |    |           |    |    |    |    |    |    |   |  |  |
| 17             | 0.061             | 22.3                          | 0                                                      | CLM  | 0.6                                                    | +21.7   | 9.0       | 0.047             | 49.4                          | 0                                                      | CLM     | 0.6       | +21.7     | 0.0       | 0.061             | 101.7                         | 0                                                      | CLM  | 0.7                                                    | +22.0   | 10.5      |      |           |    |         |    |           |    |    |    |    |    |    |   |  |  |
| 18             | 0.060             | 17.1                          | 0                                                      | CLM  | 0.5                                                    | +22.4   | 0.5       | 0.046             | 25.2                          | 0                                                      | CLM     | 0.8       | +22.6     | 0.0       | 0.059             | 63.9                          | 0                                                      | CLM  | 0.7                                                    | +23.0   | 1.0       |      |           |    |         |    |           |    |    |    |    |    |    |   |  |  |
| 19             | 0.061             | 23.4                          | 0                                                      | CLM  | 0.6                                                    | +20.7   | 37.0      | 0.047             | 40.3                          | 0                                                      | CLM     | 0.7       | +20.5     | 0.0       | 0.061             | 71.3                          | 0                                                      | CLM  | 0.6                                                    | +21.0   | 76.0      |      |           |    |         |    |           |    |    |    |    |    |    |   |  |  |
| 20             | 0.059             | 21.0                          | 0                                                      | CLM  | 0.6                                                    | +20.5   | 0.0       | 0.045             | 45.2                          | 0                                                      | CLM     | 0.9       | +20.1     | 0.0       | 0.057             | 74.5                          | 0                                                      | CLM  | 1.0                                                    | +20.8   | 0.0       |      |           |    |         |    |           |    |    |    |    |    |    |   |  |  |
| 21             | 0.060             | 27.4                          | 0                                                      | CLM  | 0.8                                                    | +21.7   | 0.0       | 0.046             | 67.4                          | 0                                                      | CLM     | 0.6       | +21.3     | 0.0       | 0.059             | 95.5                          | 0                                                      | CLM  | 1.0                                                    | +21.9   | 0.0       |      |           |    |         |    |           |    |    |    |    |    |    |   |  |  |
| 22             | 0.060             | 28.8                          | 0                                                      | ENE  | 1.0                                                    | +22.6   | 0.0       | 0.046             | 57.6                          | 0                                                      | SSW     | 0.7       | +22.5     | 0.0       | 0.059             | 86.1                          | 0                                                      | SE   | 1.3                                                    | +23.4   | 0.0       |      |           |    |         |    |           |    |    |    |    |    |    |   |  |  |
| 23             | 0.060             | 28.3                          | 0                                                      | CLM  | 0.7                                                    | +23.1   | 0.0       | 0.046             | 74.5                          | 0                                                      | CLM     | 0.7       | +23.0     | 0.0       | 0.059             | 105.5                         | 0                                                      | CLM  | 0.8                                                    | +23.3   | 0.0       |      |           |    |         |    |           |    |    |    |    |    |    |   |  |  |
| 24             | 0.060             | 15.3                          | 0                                                      | CLM  | 0.7                                                    | +24.4   | 0.0       | 0.046             | 35.1                          | 0                                                      | CLM     | 0.9       | +24.2     | 0.0       | 0.059             | 76.6                          | 0                                                      | N    | 0.9                                                    | +24.5   | 0.0       |      |           |    |         |    |           |    |    |    |    |    |    |   |  |  |
| 25             | 0.060             | 28.0                          | 0                                                      | CLM  | 0.6                                                    | +24.8   | 0.0       | 0.046             | 71.3                          | 0                                                      | CLM     | 0.6       | +24.7     | 0.0       | 0.061             | 108.3                         | 0                                                      | CLM  | 0.7                                                    | +25.0   | 0.0       |      |           |    |         |    |           |    |    |    |    |    |    |   |  |  |
| 26             | 0.061             | 34.1                          | 1                                                      | NE   | 1.2                                                    | +25.8   | 0.0       | 0.046             | 87.1                          | 0                                                      | CLM     | 1.0       | +25.7     | 0.0       | 0.060             | 114.6                         | 0                                                      | SE   | 1.8                                                    | +26.0   | 0.0       |      |           |    |         |    |           |    |    |    |    |    |    |   |  |  |
| 27             | 0.061             | 18.5                          | 0                                                      | E    | 0.8                                                    | +20.4   | 2.5       | 0.047             | 35.5                          | 0                                                      | NNE     | 1.1       | +20.4     | 0.0       | 0.058             | 65.2                          | 0                                                      | N    | 1.1                                                    | +21.2   | 2.0       |      |           |    |         |    |           |    |    |    |    |    |    |   |  |  |
| 28             | 0.060             | 20.0                          | 0                                                      | WNW  | 0.7                                                    | +19.3   | 0.0       | 0.046             | 50.5                          | 0                                                      | CLM     | 1.0       | +18.8     | 0.0       | 0.059             | 70.7                          | 0                                                      | CLM  | 1.0                                                    | +19.5   | 0.0       |      |           |    |         |    |           |    |    |    |    |    |    |   |  |  |
| 29             | 0.061             | 35.9                          | 0                                                      | ENE  | 1.1                                                    | +22.1   | 0.0       | 0.047             | 105.3                         | 0                                                      | CLM     | 0.8       | +21.2     | 0.0       | 0.061             | 126.9                         | 0                                                      | CLM  | 1.1                                                    | +21.4   | 0.0       |      |           |    |         |    |           |    |    |    |    |    |    |   |  |  |
| 30             | 0.061             | 11.0                          | 0                                                      | ENE  | 1.9                                                    | +23.9   | 0.0       | 0.046             | 60.5                          | 0                                                      | S       | 1.1       | +23.9     | 0.0       | 0.058             | 91.5                          | 0                                                      | SSE  | 1.3                                                    | +24.4   | 0.0       |      |           |    |         |    |           |    |    |    |    |    |    |   |  |  |
| 31             | 0.061             | -----                         | 0                                                      | ENE  | 1.3                                                    | +24.1   | 0.0       | 0.047             | 60.1                          | 0                                                      | CLM     | 0.7       | +23.6     | 0.0       | 0.060             | 94.7                          | 0                                                      | CLM  | 1.0                                                    | +24.5   | 0.0       |      |           |    |         |    |           |    |    |    |    |    |    |   |  |  |
| 有効<br>測定<br>日数 | 31                | 30                            | 31                                                     | 31   | 31                                                     | 31      | 31        | 31                | 31                            | 31                                                     | 31      | 31        | 31        | 31        | 31                | 31                            | 31                                                     | 31   | 31                                                     | 31      | 31        | 31   | 31        | 31 | 31      | 31 | 31        | 31 | 31 | 31 | 31 | 31 | 31 |   |  |  |
| 平均             | 0.061             | 20.1                          | 0.44                                                   | 177  | ENE                                                    | 1.1     | +21.3     | 0.047             | 44.5                          | 0.00                                                   | 265     | CLM       | 0.9       | +21.2     | 0.059             | 74.5                          | 0.00                                                   | 195  | CLM                                                    | 1.1     | +21.8     | 7.8  |           |    |         |    |           |    |    |    |    |    |    |   |  |  |
| 最大             | 0.067             | 38.1                          | 0.46                                                   | 158  | CLM                                                    | 4.1     | +25.8     | 0.052             | 105.3                         | 0.00                                                   | 115     | S         | 2.5       | +25.7     | 0.064             | 126.9                         | 0.00                                                   | 88   | NNE                                                    | 3.4     | +26.0     | 76.0 |           |    |         |    |           |    |    |    |    |    |    |   |  |  |
| 最小             | 0.059             | 3.5                           | 0.41                                                   | 68   | E                                                      | 0.4     | +17.2     | 0.045             | 4.8                           | 0.00                                                   | 66      | SSW       | 0.3       | +17.1     | 0.056             | 12.9                          | 0.00                                                   | 77   | N                                                      | 0.6     | +17.9     | 0.0  |           |    |         |    |           |    |    |    |    |    |    |   |  |  |
| 合計             | 1.897             | 604.4                         | 2                                                      | 0.87 | 34.0                                                   | +661.8  | 238.5     | 1.449             | 1378.7                        | 0                                                      | 0.00    | 27.3      | +656.2    | 1.836     | 2308.2            | 0                             | 0.00                                                   | 35.4 | +677.2                                                 | 240.5   |           |      |           |    |         |    |           |    |    |    |    |    |    |   |  |  |



# 月別日平均値集計表

2014年 09月

| 局<br>項<br>目    | 0 1 人 形 峠         |                               |                                                        |         |           |         | 0 2 赤 和 瀬 |                   |                               |                                                        |         |           | 0 3 天 王 |           |                   |                               |                                                        |         |           |         |           |    |
|----------------|-------------------|-------------------------------|--------------------------------------------------------|---------|-----------|---------|-----------|-------------------|-------------------------------|--------------------------------------------------------|---------|-----------|---------|-----------|-------------------|-------------------------------|--------------------------------------------------------|---------|-----------|---------|-----------|----|
|                | γ<br>線量率<br>μGy/h | α<br>濃度<br>mBq/m <sup>3</sup> | ふっ素濃度<br>回数 累積<br>回 10 <sup>-4</sup> mg/m <sup>3</sup> | 風向      | 風速<br>m/s | 気温<br>℃ | 降水量<br>mm | γ<br>線量率<br>μGy/h | α<br>濃度<br>mBq/m <sup>3</sup> | ふっ素濃度<br>回数 累積<br>回 10 <sup>-4</sup> mg/m <sup>3</sup> | 風向      | 風速<br>m/s | 気温<br>℃ | 降水量<br>mm | γ<br>線量率<br>μGy/h | α<br>濃度<br>mBq/m <sup>3</sup> | ふっ素濃度<br>回数 累積<br>回 10 <sup>-4</sup> mg/m <sup>3</sup> | 風向      | 風速<br>m/s | 気温<br>℃ | 降水量<br>mm |    |
| 1              | 0.060             | 22.3                          | 0                                                      | W       | 0.7       | +18.3   | 0.5       | 0.046             | 71.5                          | 0                                                      | CLM     | 0.7       | +18.4   | 1.0       | 0.060             | 86.2                          | 0                                                      | CLM     | 0.8       | +19.1   | 0.0       |    |
| 2              | 0.060             | 20.5                          | 0                                                      | CLM     | 0.8       | +19.7   | 0.0       | 0.046             | 55.1                          | 0                                                      | CLM     | 0.5       | +19.5   | 0.0       | 0.060             | 80.2                          | 0                                                      | CLM     | 0.8       | +20.6   | 0.0       |    |
| 3              | 0.060             | 14.5                          | 0                                                      | ENE     | 2.9       | +21.1   | 0.0       | 0.046             | 15.5                          | 0                                                      | SSE     | 2.2       | +21.2   | 0.0       | 0.059             | 34.5                          | 0                                                      | SSE     | 2.7       | +22.4   | 0.0       |    |
| 4              | 0.062             | 10.1                          | 0                                                      | ENE     | 1.5       | +21.0   | 29.5      | 0.047             | 14.5                          | 0                                                      | S       | 1.2       | +21.2   | 23.5      | 0.060             | 36.3                          | 0                                                      | SSE     | 2.6       | +22.2   | 28.5      |    |
| 5              | 0.060             | 22.4                          | 0                                                      | CLM     | 0.6       | +21.3   | 0.0       | 0.046             | 43.9                          | 0                                                      | CLM     | 0.6       | +21.6   | 0.0       | 0.060             | 85.2                          | 0                                                      | CLM     | 0.9       | +22.3   | 0.0       |    |
| 6              | 0.066             | 28.6                          | 0                                                      | CLM     | 0.6       | +19.4   | 61.0      | 0.060             | 75.9                          | 0                                                      | CLM     | 0.6       | +18.9   | 53.0      | 0.063             | 91.6                          | 0                                                      | CLM     | 0.6       | +19.7   | 22.5      |    |
| 7              | 0.059             | 22.4                          | 0                                                      | CLM     | 0.7       | +18.7   | 0.0       | 0.046             | 39.1                          | 0                                                      | CLM     | 0.8       | +18.4   | 0.0       | 0.058             | 52.8                          | 0                                                      | NNE     | 1.2       | +19.2   | 0.5       |    |
| 8              | 0.060             | 22.0                          | 0                                                      | WNW     | 0.8       | +17.9   | 0.0       | 0.046             | 52.5                          | 0                                                      | CLM     | 1.0       | +16.8   | 0.0       | 0.059             | 68.2                          | 0                                                      | CLM     | 1.0       | +17.9   | 0.0       |    |
| 9              | 0.060             | 14.5                          | 0                                                      | CLM     | 0.7       | +18.6   | 0.0       | 0.046             | 50.0                          | 0                                                      | CLM     | 0.9       | +17.9   | 0.0       | 0.059             | 96.6                          | 0                                                      | CLM     | 0.8       | +18.4   | 0.0       |    |
| 10             | 0.061             | 29.9                          | 0                                                      | CLM     | 0.6       | +18.4   | 0.0       | 0.047             | 70.0                          | 0                                                      | CLM     | 0.5       | +18.1   | 0.0       | 0.060             | 95.9                          | 0                                                      | CLM     | 0.7       | +18.4   | 0.0       |    |
| 11             | 0.060             | 19.7                          | 0                                                      | E       | 0.8       | +17.3   | 0.0       | 0.046             | 74.8                          | 0                                                      | CLM     | 1.6       | +16.1   | 0.0       | 0.060             | 91.0                          | 0                                                      | NNE     | 1.1       | +17.0   | 0.0       |    |
| 12             | 0.060             | 12.6                          | 0                                                      | CLM     | 0.7       | +15.5   | 0.0       | 0.046             | 49.1                          | 0                                                      | CLM     | 1.0       | +14.5   | 0.0       | 0.060             | 81.4                          | 0                                                      | CLM     | 0.9       | +15.2   | 0.0       |    |
| 13             | 0.060             | 9.2                           | 0                                                      | CLM     | 0.8       | +15.7   | 0.5       | 0.046             | 24.9                          | 0                                                      | NNE     | 1.4       | +15.2   | 0.5       | 0.060             | 64.2                          | 0                                                      | CLM     | 1.1       | +15.7   | 0.0       |    |
| 14             | 0.060             | 10.2                          | 0                                                      | CLM     | 0.8       | +15.9   | 0.0       | 0.046             | 30.2                          | 0                                                      | NNE     | 1.2       | +15.4   | 0.5       | 0.060             | 59.9                          | 0                                                      | CLM     | 0.9       | +15.8   | 0.0       |    |
| 15             | 0.061             | 27.6                          | 0                                                      | CLM     | 0.6       | +16.7   | 0.0       | 0.046             | 88.5                          | 0                                                      | CLM     | 0.4       | +16.0   | 0.0       | 0.061             | 107.7                         | 0                                                      | CLM     | 0.6       | +16.4   | 0.0       |    |
| 16             | 0.060             | 25.5                          | 0                                                      | CLM     | 0.8       | +17.4   | 0.0       | 0.047             | 113.5                         | 0                                                      | CLM     | 1.0       | +16.6   | 0.0       | 0.061             | 133.6                         | 0                                                      | CLM     | 1.2       | +17.3   | 0.0       |    |
| 17             | 0.061             | 21.2                          | 0                                                      | CLM     | 0.7       | +15.6   | 0.0       | 0.046             | 94.4                          | 0                                                      | CLM     | 0.8       | +14.7   | 0.0       | 0.061             | 114.3                         | 0                                                      | CLM     | 0.9       | +15.5   | 0.0       |    |
| 18             | 0.061             | 9.5                           | 0                                                      | ESE     | 1.0       | +15.0   | 0.0       | 0.046             | 50.9                          | 0                                                      | NNE     | 1.6       | +13.8   | 0.0       | 0.060             | 70.2                          | 0                                                      | NNE     | 1.3       | +14.5   | 0.0       |    |
| 19             | 0.061             | 17.5                          | 0                                                      | CLM     | 0.6       | +13.7   | 0.0       | 0.046             | 51.9                          | 0                                                      | NNE     | 1.1       | +13.0   | 0.0       | 0.061             | 96.7                          | 0                                                      | CLM     | 0.8       | +13.5   | 0.0       |    |
| 20             | 0.061             | 18.6                          | 0                                                      | CLM     | 0.8       | +13.3   | 0.0       | 0.047             | 64.0                          | 0                                                      | CLM     | 1.3       | +12.3   | 0.0       | 0.061             | 83.4                          | 0                                                      | CLM     | 1.0       | +13.4   | 0.0       |    |
| 21             | 0.061             | 30.2                          | 0                                                      | CLM     | 0.6       | +14.5   | 0.0       | 0.047             | 115.0                         | 0                                                      | CLM     | 0.7       | +13.1   | 0.0       | 0.062             | 126.5                         | 0                                                      | CLM     | 0.7       | +14.1   | 0.0       |    |
| 22             | 0.061             | 28.9                          | 0                                                      | CLM     | 0.7       | +14.9   | 0.0       | 0.047             | 119.2                         | 0                                                      | CLM     | 1.2       | +13.5   | 0.0       | 0.062             | 118.3                         | 0                                                      | CLM     | 1.1       | +14.6   | 0.0       |    |
| 23             | 0.063             | 32.3                          | 0                                                      | W       | 0.9       | +15.9   | 0.0       | 0.047             | 113.1                         | 0                                                      | CLM     | 0.6       | +14.4   | 0.0       | 0.062             | 125.9                         | 0                                                      | CLM     | 1.1       | +14.8   | 0.0       |    |
| 24             | 0.063             | 24.4                          | 0                                                      | ENE     | 2.3       | +18.1   | 16.0      | 0.048             | 62.4                          | 0                                                      | S       | 1.3       | +18.2   | 14.0      | 0.064             | 98.5                          | 0                                                      | SSE     | 3.0       | +19.2   | 14.5      |    |
| 25             | 0.065             | 5.0                           | 0                                                      | E       | 1.3       | +17.1   | 35.5      | 0.049             | 5.0                           | 0                                                      | NNE     | 2.2       | +17.1   | 30.0      | 0.063             | 16.4                          | 0                                                      | NNW     | 1.4       | +18.1   | 27.5      |    |
| 26             | 0.060             | 10.1                          | 0                                                      | E       | 0.8       | +15.5   | 1.0       | 0.046             | 18.9                          | 0                                                      | NNE     | 2.0       | +15.2   | 0.5       | 0.059             | 28.1                          | 0                                                      | NNW     | 1.3       | +16.6   | 0.5       |    |
| 27             | 0.060             | 27.4                          | 0                                                      | CLM     | 0.8       | +16.3   | 0.0       | 0.046             | 77.2                          | 0                                                      | CLM     | 0.5       | +15.4   | 0.0       | 0.060             | 90.0                          | 0                                                      | CLM     | 0.8       | +16.2   | 0.0       |    |
| 28             | 0.060             | 19.0                          | 0                                                      | ESE     | 0.8       | +16.4   | 0.0       | 0.046             | 80.3                          | 0                                                      | CLM     | 1.5       | +15.3   | 0.0       | 0.060             | 100.2                         | 0                                                      | NW      | 1.2       | +16.0   | 0.0       |    |
| 29             | 0.060             | 21.2                          | 0                                                      | CLM     | 0.7       | +16.5   | 0.0       | 0.046             | 81.3                          | 0                                                      | CLM     | 0.7       | +15.5   | 0.0       | 0.061             | 144.5                         | 0                                                      | CLM     | 1.0       | +15.9   | 0.0       |    |
| 30             | 0.061             | 20.4                          | 0                                                      | CLM     | 0.6       | +16.2   | 5.0       | 0.047             | 61.2                          | 0                                                      | NNE     | 1.3       | +15.9   | 6.5       | 0.061             | 88.2                          | 0                                                      | CLM     | 0.8       | +16.8   | 2.0       |    |
| 31             |                   |                               |                                                        |         |           |         |           |                   |                               |                                                        |         |           |         |           |                   |                               |                                                        |         |           |         |           |    |
| 有効<br>測定<br>日数 | 30                | 30                            | 30                                                     | 30      | 30        | 30      | 30        | 30                | 30                            | 30                                                     | 30      | 30        | 30      | 30        | 30                | 30                            | 30                                                     | 30      | 30        | 30      | 30        | 30 |
| 平均             | 0.061             | 19.9                          | 0.00                                                   | 181 CLM | 0.9       | +17.1   | 5.0       | 0.047             | 62.1                          | 0.00                                                   | 300 CLM | 1.1       | +16.4   | 4.3       | 0.060             | 85.5                          | 0.00                                                   | 240 CLM | 1.1       | +17.2   | 3.2       |    |
| 最大             | 0.066             | 32.3                          | 0.00                                                   | 93 ENE  | 2.9       | +21.3   | 61.0      | 0.050             | 119.2                         | 0.00                                                   | 171 NNE | 2.2       | +21.6   | 53.0      | 0.064             | 144.5                         | 0.00                                                   | 98 NNE  | 3.0       | +22.4   | 28.5      |    |
| 最小             | 0.059             | 5.0                           | 0.00                                                   | 72 E    | 0.6       | +13.3   | 0.0       | 0.046             | 5.0                           | 0.00                                                   | 69 N    | 0.4       | +12.3   | 0.0       | 0.058             | 16.4                          | 0.00                                                   | 80 NNW  | 0.6       | +13.4   | 0.0       |    |
| 合計             | 1.824             | 597.4                         | 0                                                      | 26.9    | 26.9      | +511.9  | 149.0     | 1.396             | 1863.7                        | 0                                                      | 32.3    | 32.3      | +493.1  | 129.5     | 1.815             | 2566.2                        | 0                                                      | 34.3    | 34.3      | +516.9  | 96.0      |    |



# 月別日平均値集計表

2014年 11月

| 局<br>項<br>目    | 人 形 峠             |                               |                                                        |      |           |         | 赤 和 瀬     |                   |                               |                                                        |      |           | 0 3     |           |                   |                               |                                                        |      | 天 王       |         |           |                   |                               |                                                        |    |           |         |           |
|----------------|-------------------|-------------------------------|--------------------------------------------------------|------|-----------|---------|-----------|-------------------|-------------------------------|--------------------------------------------------------|------|-----------|---------|-----------|-------------------|-------------------------------|--------------------------------------------------------|------|-----------|---------|-----------|-------------------|-------------------------------|--------------------------------------------------------|----|-----------|---------|-----------|
|                | γ<br>線量率<br>μGy/h | α<br>濃度<br>mBq/m <sup>3</sup> | ふっ素濃度<br>回数 累積<br>回 10 <sup>-4</sup> mg/m <sup>3</sup> | 風向   | 風速<br>m/s | 気温<br>℃ | 降水量<br>mm | γ<br>線量率<br>μGy/h | α<br>濃度<br>mBq/m <sup>3</sup> | ふっ素濃度<br>回数 累積<br>回 10 <sup>-4</sup> mg/m <sup>3</sup> | 風向   | 風速<br>m/s | 気温<br>℃ | 降水量<br>mm | γ<br>線量率<br>μGy/h | α<br>濃度<br>mBq/m <sup>3</sup> | ふっ素濃度<br>回数 累積<br>回 10 <sup>-4</sup> mg/m <sup>3</sup> | 風向   | 風速<br>m/s | 気温<br>℃ | 降水量<br>mm | γ<br>線量率<br>μGy/h | α<br>濃度<br>mBq/m <sup>3</sup> | ふっ素濃度<br>回数 累積<br>回 10 <sup>-4</sup> mg/m <sup>3</sup> | 風向 | 風速<br>m/s | 気温<br>℃ | 降水量<br>mm |
| 1              | 0.061             | 5.5                           | 0                                                      | NE   | 1.2       | +13.8   | 10.5      | 0.047             | 11.9                          | 0                                                      | S    | 0.8       | +13.9   | 10.5      | 0.058             | 37.1                          | 0                                                      | CLM  | 0.8       | +14.7   | 7.5       |                   |                               |                                                        |    |           |         |           |
| 2              | 0.062             | 11.6                          | 0                                                      | WSW  | 1.0       | +13.2   | 6.5       | 0.048             | 13.6                          | 0                                                      | S    | 1.1       | +13.1   | 6.5       | 0.060             | 54.0                          | 0                                                      | NNE  | 1.1       | +14.1   | 7.5       |                   |                               |                                                        |    |           |         |           |
| 3              | 0.063             | 18.0                          | 0                                                      | NE   | 1.1       | +6.2    | 7.5       | 0.050             | 22.4                          | 0                                                      | CLM  | 1.1       | +6.1    | 11.5      | 0.060             | 53.8                          | 0                                                      | CLM  | 1.1       | +6.7    | 7.0       |                   |                               |                                                        |    |           |         |           |
| 4              | 0.059             | 21.2                          | 0                                                      | CLM  | 0.7       | +6.6    | 0.0       | 0.045             | 46.8                          | 0                                                      | CLM  | 1.0       | +5.7    | 0.0       | 0.057             | 81.7                          | 0                                                      | CLM  | 0.9       | +6.5    | 0.0       |                   |                               |                                                        |    |           |         |           |
| 5              | 0.060             | 26.6                          | 0                                                      | CLM  | 0.5       | +8.1    | 0.0       | 0.046             | 60.9                          | 0                                                      | CLM  | 0.5       | +6.6    | 0.5       | 0.058             | 97.7                          | 0                                                      | CLM  | 0.7       | +6.8    | 0.0       |                   |                               |                                                        |    |           |         |           |
| 6              | 0.059             | 15.9                          | 0                                                      | NE   | 0.9       | +10.9   | 0.0       | 0.046             | 48.4                          | 0                                                      | NNE  | 1.3       | +9.9    | 0.0       | 0.058             | 70.4                          | 0                                                      | CLM  | 0.9       | +10.8   | 0.0       |                   |                               |                                                        |    |           |         |           |
| 7              | 0.060             | 22.3                          | 0                                                      | CLM  | 1.0       | +8.0    | 0.5       | 0.046             | 39.4                          | 0                                                      | NNE  | 2.1       | +7.7    | 0.0       | 0.058             | 66.9                          | 0                                                      | N    | 1.2       | +8.9    | 0.0       |                   |                               |                                                        |    |           |         |           |
| 8              | 0.060             | 28.8                          | 0                                                      | CLM  | 0.6       | +7.7    | 0.0       | 0.046             | 66.1                          | 0                                                      | CLM  | 0.5       | +6.3    | 0.0       | 0.059             | 103.5                         | 0                                                      | CLM  | 0.6       | +7.2    | 0.0       |                   |                               |                                                        |    |           |         |           |
| 9              | 0.066             | 17.8                          | 0                                                      | ENE  | 0.9       | +8.6    | 17.0      | 0.051             | 33.4                          | 0                                                      | CLM  | 0.7       | +8.6    | 16.5      | 0.063             | 79.5                          | 0                                                      | CLM  | 0.5       | +9.1    | 16.5      |                   |                               |                                                        |    |           |         |           |
| 10             | 0.058             | 13.7                          | 0                                                      | WSW  | 0.8       | +8.0    | 0.0       | 0.045             | 32.8                          | 0                                                      | NNE  | 1.5       | +7.2    | 0.0       | 0.056             | 61.1                          | 0                                                      | NNE  | 1.1       | +8.2    | 0.0       |                   |                               |                                                        |    |           |         |           |
| 11             | 0.060             | 31.3                          | 0                                                      | CLM  | 0.6       | +6.9    | 0.5       | 0.046             | 58.7                          | 0                                                      | CLM  | 0.5       | +5.6    | 0.0       | 0.057             | 78.8                          | 0                                                      | CLM  | 0.8       | +6.6    | 0.0       |                   |                               |                                                        |    |           |         |           |
| 12             | 0.062             | 25.7                          | 0                                                      | CLM  | 0.6       | +7.5    | 5.0       | 0.048             | 57.0                          | 0                                                      | CLM  | 0.7       | +6.8    | 6.0       | 0.060             | 98.2                          | 0                                                      | CLM  | 0.8       | +7.1    | 2.5       |                   |                               |                                                        |    |           |         |           |
| 13             | 0.059             | 10.2                          | 0                                                      | ESE  | 1.2       | +2.2    | 1.0       | 0.047             | 10.5                          | 0                                                      | S    | 1.2       | +2.3    | 2.0       | 0.057             | 24.7                          | 0                                                      | ENE  | 1.5       | +3.1    | 1.0       |                   |                               |                                                        |    |           |         |           |
| 14             | 0.058             | 18.6                          | 0                                                      | ENE  | 0.9       | +2.6    | 0.0       | 0.045             | 23.0                          | 0                                                      | S    | 0.9       | +2.4    | 0.0       | 0.057             | 63.8                          | 0                                                      | SE   | 1.0       | +3.0    | 0.0       |                   |                               |                                                        |    |           |         |           |
| 15             | 0.059             | 27.9                          | 0                                                      | CLM  | 0.7       | +4.0    | 0.0       | 0.045             | 58.0                          | 0                                                      | CLM  | 0.8       | +3.3    | 0.0       | 0.058             | 113.5                         | 0                                                      | CLM  | 0.8       | +3.7    | 0.0       |                   |                               |                                                        |    |           |         |           |
| 16             | 0.060             | 32.7                          | 0                                                      | CLM  | 0.6       | +5.1    | 0.0       | 0.046             | 83.0                          | 0                                                      | CLM  | 0.7       | +3.9    | 0.0       | 0.059             | 132.9                         | 0                                                      | CLM  | 0.7       | +4.3    | 0.0       |                   |                               |                                                        |    |           |         |           |
| 17             | 0.061             | 35.2                          | 0                                                      | CLM  | 0.7       | +5.5    | 3.5       | 0.048             | 84.1                          | 0                                                      | CLM  | 0.6       | +4.9    | 5.0       | 0.060             | 142.5                         | 0                                                      | CLM  | 0.8       | +5.4    | 4.5       |                   |                               |                                                        |    |           |         |           |
| 18             | 0.065             | 13.1                          | 0                                                      | CLM  | 0.8       | +3.6    | 21.0      | 0.051             | 16.1                          | 0                                                      | NNE  | 1.3       | +3.5    | 18.5      | 0.061             | 51.2                          | 0                                                      | CLM  | 0.6       | +4.2    | 14.0      |                   |                               |                                                        |    |           |         |           |
| 19             | 0.060             | 25.9                          | 0                                                      | CLM  | 0.3       | +3.5    | 3.0       | 0.046             | 50.4                          | 0                                                      | CLM  | 0.5       | +2.8    | 3.0       | 0.058             | 83.2                          | 0                                                      | CLM  | 0.5       | +3.8    | 2.0       |                   |                               |                                                        |    |           |         |           |
| 20             | 0.059             | 34.2                          | 0                                                      | CLM  | 0.4       | +3.9    | 0.0       | 0.046             | 65.6                          | 0                                                      | CLM  | 0.5       | +3.2    | 0.0       | 0.059             | 111.4                         | 0                                                      | CLM  | 0.4       | +3.6    | 0.0       |                   |                               |                                                        |    |           |         |           |
| 21             | 0.060             | 43.0                          | 0                                                      | CLM  | 0.7       | +6.3    | 1.0       | 0.047             | 89.5                          | 0                                                      | CLM  | 0.6       | +4.8    | 2.0       | 0.060             | 149.6                         | 0                                                      | CLM  | 0.7       | +5.2    | 1.5       |                   |                               |                                                        |    |           |         |           |
| 22             | 0.059             | 41.4                          | 0                                                      | CLM  | 0.4       | +8.7    | 0.0       | 0.046             | 71.2                          | 0                                                      | CLM  | 0.7       | +8.2    | 0.0       | 0.059             | 140.8                         | 0                                                      | CLM  | 0.6       | +8.7    | 0.0       |                   |                               |                                                        |    |           |         |           |
| 23             | 0.059             | 24.7                          | 0                                                      | CLM  | 0.7       | +7.6    | 0.0       | 0.045             | 63.6                          | 0                                                      | CLM  | 1.1       | +6.5    | 0.0       | 0.058             | 136.6                         | 0                                                      | CLM  | 0.8       | +6.8    | 0.0       |                   |                               |                                                        |    |           |         |           |
| 24             | 0.060             | 40.3                          | 0                                                      | CLM  | 0.5       | +8.1    | 0.5       | 0.047             | 122.5                         | 0                                                      | CLM  | 0.5       | +6.8    | 0.0       | 0.060             | 150.8                         | 0                                                      | CLM  | 0.7       | +7.2    | 0.0       |                   |                               |                                                        |    |           |         |           |
| 25             | 0.066             | 11.1                          | 0                                                      | ENE  | 1.2       | +8.4    | 33.0      | 0.051             | 23.2                          | 0                                                      | NNE  | 1.9       | +8.3    | 30.0      | 0.063             | 63.3                          | 0                                                      | CLM  | 1.1       | +9.2    | 29.0      |                   |                               |                                                        |    |           |         |           |
| 26             | 0.060             | 10.3                          | 0                                                      | CLM  | 0.7       | +7.6    | 3.5       | 0.046             | 19.2                          | 0                                                      | CLM  | 1.1       | +7.6    | 3.0       | 0.057             | 45.4                          | 0                                                      | CLM  | 0.5       | +8.7    | 2.0       |                   |                               |                                                        |    |           |         |           |
| 27             | 0.059             | 12.9                          | 0                                                      | NNE  | 0.7       | +6.4    | 0.5       | 0.045             | 25.3                          | 0                                                      | NNE  | 1.6       | +5.9    | 1.0       | 0.057             | 55.4                          | 0                                                      | CLM  | 0.9       | +6.8    | 1.0       |                   |                               |                                                        |    |           |         |           |
| 28             | 0.059             | 16.2                          | 0                                                      | NE   | 1.6       | +9.3    | 4.0       | 0.046             | 35.1                          | 0                                                      | SSW  | 1.2       | +8.7    | 3.0       | 0.058             | 69.6                          | 0                                                      | CLM  | 1.3       | +9.2    | 4.0       |                   |                               |                                                        |    |           |         |           |
| 29             | 0.063             | 10.3                          | 0                                                      | NE   | 1.0       | +9.5    | 10.0      | 0.048             | 13.1                          | 0                                                      | CLM  | 1.3       | +9.5    | 9.5       | 0.060             | 34.6                          | 0                                                      | N    | 0.9       | +10.6   | 9.0       |                   |                               |                                                        |    |           |         |           |
| 30             | 0.061             | 14.1                          | 0                                                      | NE   | 1.6       | +8.3    | 3.0       | 0.047             | 35.6                          | 0                                                      | CLM  | 1.0       | +7.6    | 3.0       | 0.059             | 50.2                          | 0                                                      | SE   | 1.3       | +8.3    | 3.0       |                   |                               |                                                        |    |           |         |           |
| 31             |                   |                               |                                                        |      |           |         |           |                   |                               |                                                        |      |           |         |           |                   |                               |                                                        |      |           |         |           |                   |                               |                                                        |    |           |         |           |
| 有効<br>測定<br>日数 | 30                | 30                            | 30                                                     | 30   | 30        | 30      | 30        | 30                | 30                            | 30                                                     | 30   | 30        | 30      | 30        | 30                | 30                            | 30                                                     | 30   | 30        | 30      | 30        | 30                | 30                            | 30                                                     | 30 | 30        | 30      | 30        |
| 平均             | 0.061             | 22.0                          | 0.00                                                   | 216  | 0.8       | +7.2    | 4.4       | 0.047             | 46.0                          | 0.00                                                   | 271  | 1.0       | +6.6    | 4.4       | 0.059             | 83.4                          | 0.00                                                   | 290  | 0.9       | +7.3    | 3.7       |                   |                               |                                                        |    |           |         |           |
| 最大             | 0.066             | 43.0                          | 0.00                                                   | 91   | 1.6       | +13.8   | 33.0      | 0.051             | 122.5                         | 0.00                                                   | 119  | 2.1       | +13.9   | 30.0      | 0.063             | 150.8                         | 0.00                                                   | 66   | 1.5       | +14.7   | 29.0      |                   |                               |                                                        |    |           |         |           |
| 最小             | 0.058             | 5.5                           | 0.00                                                   | 71   | 0.3       | +2.2    | 0.0       | 0.045             | 10.5                          | 0.00                                                   | 71   | 0.5       | +2.3    | 0.0       | 0.056             | 24.7                          | 0.00                                                   | 62   | 0.4       | +3.0    | 0.0       |                   |                               |                                                        |    |           |         |           |
| 合計             | 1.816             | 660.2                         | 0                                                      | 24.6 | 24.6      | +216.2  | 131.5     | 1.404             | 1380.5                        | 0                                                      | 0.00 | 29.1      | +197.9  | 131.5     | 1.761             | 2502.3                        | 0                                                      | 25.6 | 25.6      | +218.0  | 112.0     |                   |                               |                                                        |    |           |         |           |

2014年 12月

月別日平均値集計表

| 局<br>項目<br>日   | 人形峠               |                               |                                                   |         |           |         | 赤和瀬       |                   |                               |                                                   |         |           | 0.3     |           |                   |                               |                                                   |         | 天 王       |         |           |    |  |  |
|----------------|-------------------|-------------------------------|---------------------------------------------------|---------|-----------|---------|-----------|-------------------|-------------------------------|---------------------------------------------------|---------|-----------|---------|-----------|-------------------|-------------------------------|---------------------------------------------------|---------|-----------|---------|-----------|----|--|--|
|                | γ<br>線量率<br>μGy/h | α<br>濃度<br>mBq/m <sup>3</sup> | ふっ素濃度<br>回数<br>10 <sup>-4</sup> mg/m <sup>3</sup> | 風向      | 風速<br>m/s | 気温<br>℃ | 降水量<br>mm | γ<br>線量率<br>μGy/h | α<br>濃度<br>mBq/m <sup>3</sup> | ふっ素濃度<br>回数<br>10 <sup>-4</sup> mg/m <sup>3</sup> | 風向      | 風速<br>m/s | 気温<br>℃ | 降水量<br>mm | γ<br>線量率<br>μGy/h | α<br>濃度<br>mBq/m <sup>3</sup> | ふっ素濃度<br>回数<br>10 <sup>-4</sup> mg/m <sup>3</sup> | 風向      | 風速<br>m/s | 気温<br>℃ | 降水量<br>mm |    |  |  |
| 1              | 0.066             | 8.1                           | 0                                                 | ESE     | 1.4       | +6.8    | 13.5      | 0.052             | 7.5                           | 0                                                 | SSW     | 1.3       | +7.0    | 13.5      | 0.063             | 13.8                          | 0                                                 | NE      | 2.1       | +8.3    | 13.0      |    |  |  |
| 2              | 0.059             | 7.1                           | 0                                                 | ESE     | 1.5       | -2.4    | 0.0       | 0.045             | 6.2                           | 0                                                 | SW      | 1.4       | -2.3    | 0.0       | 0.056             | 10.6                          | 0                                                 | NE      | 2.1       | -0.7    | 0.0       |    |  |  |
| 3              | 0.059             | 11.7                          | 0                                                 | WSW     | 1.2       | -0.2    | 0.5       | 0.045             | 14.6                          | 0                                                 | S       | 1.2       | -0.3    | 1.5       | 0.057             | 25.6                          | 0                                                 | SE      | 1.6       | +1.2    | 0.0       |    |  |  |
| 4              | 0.062             | 12.1                          | 0                                                 | CLM     | 0.5       | +0.1    | 3.5       | 0.048             | 25.9                          | 0                                                 | CLM     | 0.3       | +0.1    | 4.0       | 0.059             | 42.1                          | 0                                                 | CLM     | 0.7       | +1.4    | 4.0       |    |  |  |
| 5              | 0.059             | 9.2                           | 0                                                 | SE      | 1.0       | -3.2    | 0.5       | 0.046             | 9.5                           | 0                                                 | CLM     | 0.5       | -3.1    | 0.0       | 0.057             | 21.5                          | 0                                                 | NNE     | 1.3       | -1.7    | 0.0       |    |  |  |
| 6              | 0.060             | 7.0                           | 0                                                 | ESE     | 1.1       | -2.4    | 2.5       | 0.047             | 6.7                           | 0                                                 | SW      | 0.9       | -2.3    | 4.0       | 0.058             | 13.2                          | 0                                                 | NE      | 1.5       | -0.7    | 1.5       |    |  |  |
| 7              | 0.058             | 12.5                          | 0                                                 | CLM     | 0.5       | -1.5    | 4.0       | 0.045             | 17.4                          | 0                                                 | CLM     | 0.4       | -1.6    | 7.0       | 0.058             | 45.6                          | 0                                                 | CLM     | 0.5       | -0.5    | 3.0       |    |  |  |
| 8              | 0.056             | 19.2                          | 0                                                 | CLM     | 0.5       | -0.6    | 0.0       | 0.042             | 33.8                          | 0                                                 | CLM     | 0.3       | -2.3    | 0.0       | 0.057             | 83.2                          | 0                                                 | CLM     | 0.5       | -1.1    | 0.0       |    |  |  |
| 9              | 0.057             | 9.0                           | 0                                                 | NE      | 0.8       | +1.4    | 4.0       | 0.044             | 8.8                           | 0                                                 | NNE     | 1.3       | +1.3    | 4.5       | 0.058             | 65.8                          | 0                                                 | CLM     | 0.7       | +1.5    | 3.0       |    |  |  |
| 10             | 0.057             | 19.9                          | 0                                                 | NNE     | 1.0       | +2.5    | 0.0       | 0.043             | 33.5                          | 0                                                 | CLM     | 0.7       | +1.9    | 0.0       | 0.057             | 63.8                          | 0                                                 | CLM     | 1.0       | +3.1    | 0.0       |    |  |  |
| 11             | 0.061             | 14.7                          | 0                                                 | NE      | 1.1       | +3.5    | 7.5       | 0.048             | 20.2                          | 0                                                 | W       | 1.0       | +3.4    | 7.5       | 0.060             | 37.3                          | 0                                                 | NNE     | 1.0       | +4.8    | 6.0       |    |  |  |
| 12             | 0.061             | 12.5                          | 0                                                 | CLM     | 0.9       | -0.1    | 1.0       | 0.049             | 13.6                          | 0                                                 | CLM     | 0.6       | -0.1    | 3.0       | 0.059             | 35.1                          | 0                                                 | CLM     | 1.1       | +1.3    | 1.0       |    |  |  |
| 13             | 0.060             | 10.2                          | 0                                                 | SE      | 0.8       | -3.4    | 3.0       | 0.046             | 9.5                           | 0                                                 | CLM     | 0.5       | -3.1    | 2.5       | 0.058             | 23.8                          | 0                                                 | NE      | 1.3       | -1.7    | 1.5       |    |  |  |
| 14             | 0.057             | 8.3                           | 0                                                 | ESE     | 1.1       | -2.7    | 0.5       | 0.044             | 7.7                           | 0                                                 | S       | 1.1       | -2.5    | 0.5       | 0.056             | 14.0                          | 0                                                 | NNE     | 1.6       | -1.1    | 0.0       |    |  |  |
| 15             | 0.057             | 18.2                          | 0                                                 | CLM     | 0.7       | -0.7    | 2.0       | 0.044             | 22.8                          | 0                                                 | CLM     | 0.5       | -0.9    | 3.0       | 0.057             | 66.8                          | 0                                                 | CLM     | 0.5       | -0.1    | 1.5       |    |  |  |
| 16             | 0.058             | 10.3                          | 0                                                 | NE      | 2.0       | -1.5    | 4.5       | 0.045             | 9.4                           | 0                                                 | SSW     | 1.5       | -1.2    | 6.5       | 0.058             | 17.7                          | 0                                                 | SE      | 2.1       | -0.1    | 5.5       |    |  |  |
| 17             | 0.054             | 6.5                           | 0                                                 | ESE     | 1.8       | -6.7    | 0.5       | 0.042             | 5.5                           | 0                                                 | SW      | 1.7       | -6.5    | 2.0       | 0.055             | 8.8                           | 0                                                 | ESE     | 2.6       | -5.0    | 0.0       |    |  |  |
| 18             | 0.057             | 3.2                           | 0                                                 | NNE     | 1.4       | -4.8    | 30.0      | 0.047             | 2.2                           | 0                                                 | NNE     | 1.9       | -4.5    | 33.5      | 0.059             | 6.4                           | 0                                                 | NNE     | 1.2       | -3.6    | 25.5      |    |  |  |
| 19             | 0.042             | 6.3                           | 0                                                 | NE      | 1.0       | -2.4    | 0.0       | 0.034             | 6.4                           | 0                                                 | CLM     | 0.7       | -2.4    | 0.5       | 0.044             | 13.3                          | 0                                                 | CLM     | 1.0       | -1.6    | 0.0       |    |  |  |
| 20             | 0.046             | 7.1                           | 0                                                 | CLM     | 1.0       | +1.5    | 21.0      | 0.036             | 7.8                           | 0                                                 | CLM     | 0.8       | +1.2    | 16.5      | 0.047             | 20.6                          | 0                                                 | CLM     | 0.7       | +0.9    | 21.5      |    |  |  |
| 21             | 0.045             | 6.4                           | 0                                                 | SE      | 1.0       | -1.9    | 0.0       | 0.035             | 5.8                           | 0                                                 | S       | 1.1       | -1.6    | 0.0       | 0.044             | 11.1                          | 0                                                 | NNE     | 1.3       | -0.3    | 0.0       |    |  |  |
| 22             | 0.046             | 6.8                           | 0                                                 | ESE     | 1.2       | -3.2    | 0.5       | 0.035             | 6.0                           | 0                                                 | SSW     | 1.2       | -2.9    | 0.0       | 0.046             | 10.9                          | 0                                                 | SE      | 1.6       | -1.7    | 0.5       |    |  |  |
| 23             | 0.045             | 10.3                          | 0                                                 | CLM     | 0.6       | +0.0    | 0.0       | 0.035             | 12.0                          | 0                                                 | CLM     | 0.8       | -0.3    | 0.0       | 0.046             | 28.0                          | 0                                                 | CLM     | 0.6       | +0.5    | 0.0       |    |  |  |
| 24             | 0.046             | 12.6                          | 0                                                 | CLM     | 0.8       | +0.3    | 1.0       | 0.036             | 21.1                          | 0                                                 | CLM     | 0.5       | -1.1    | 2.0       | 0.049             | 47.8                          | 0                                                 | CLM     | 0.5       | -1.1    | 1.5       |    |  |  |
| 25             | 0.050             | 6.5                           | 0                                                 | NE      | 1.1       | -0.3    | 17.0      | 0.041             | 4.8                           | 0                                                 | WNW     | 1.2       | -0.1    | 19.0      | 0.052             | 12.5                          | 0                                                 | CLM     | 0.9       | +0.9    | 15.0      |    |  |  |
| 26             | 0.045             | 4.2                           | 0                                                 | CLM     | 0.6       | -1.4    | 16.0      | 0.036             | 3.1                           | 0                                                 | NNE     | 1.9       | -1.1    | 13.0      | 0.048             | 8.5                           | 0                                                 | CLM     | 0.8       | -0.1    | 14.5      |    |  |  |
| 27             | 0.038             | 3.5                           | 0                                                 | CLM     | 0.6       | -1.5    | 0.0       | 0.031             | 5.9                           | 0                                                 | NNE     | 1.1       | -1.9    | 0.0       | 0.042             | 13.5                          | 0                                                 | CLM     | 0.4       | -0.8    | 0.0       |    |  |  |
| 28             | 0.040             | 9.8                           | 0                                                 | CLM     | 0.3       | -1.3    | 0.5       | 0.033             | 15.0                          | 0                                                 | CLM     | 0.3       | -2.7    | 0.5       | 0.046             | 29.1                          | 0                                                 | CLM     | 0.4       | -2.1    | 0.5       |    |  |  |
| 29             | 0.040             | 9.5                           | 0                                                 | CLM     | 0.5       | +1.4    | 1.0       | 0.033             | 11.3                          | 0                                                 | CLM     | 0.5       | +1.2    | 0.5       | 0.046             | 33.1                          | 0                                                 | CLM     | 0.5       | +1.3    | 0.5       |    |  |  |
| 30             | 0.040             | 11.9                          | 0                                                 | ESE     | 0.8       | +1.5    | 0.0       | 0.033             | 12.6                          | 0                                                 | CLM     | 0.7       | +1.5    | 0.0       | 0.045             | 32.4                          | 0                                                 | CLM     | 1.0       | +1.3    | 0.0       |    |  |  |
| 31             | 0.051             | 15.0                          | 0                                                 | CLM     | 0.4       | -0.6    | 25.0      | 0.043             | 20.9                          | 0                                                 | CLM     | 0.5       | -1.3    | 27.0      | 0.056             | 31.5                          | 0                                                 | CLM     | 0.7       | -0.6    | 23.0      |    |  |  |
| 有効<br>測定<br>日数 | 31                | 31                            | 31                                                | 31      | 31        | 31      | 31        | 31                | 31                            | 31                                                | 31      | 31        | 31      | 31        | 31                | 31                            | 31                                                | 31      | 31        | 31      | 31        | 31 |  |  |
| 平均             | 0.053             | 10.0                          | 0.00                                              | 163 CLM | 0.9       | -0.8    | 5.1       | 0.041             | 12.5                          | 0.00                                              | 236 CLM | 0.9       | -0.9    | 5.5       | 0.053             | 28.6                          | 0.00                                              | 237 CLM | 1.1       | +0.1    | 4.6       |    |  |  |
| 最大             | 0.066             | 19.9                          | 0.00                                              | 86 NE   | 2.0       | +6.8    | 30.0      | 0.052             | 33.8                          | 0.00                                              | 76 S    | 1.9       | +7.0    | 33.5      | 0.063             | 83.2                          | 0.00                                              | 76 NNE  | 2.6       | +8.3    | 25.5      |    |  |  |
| 最小             | 0.038             | 3.2                           | 0.00                                              | 65 ESE  | 0.3       | -6.7    | 0.0       | 0.031             | 2.2                           | 0.00                                              | 62 NNE  | 0.3       | -6.5    | 0.0       | 0.042             | 6.4                           | 0.00                                              | 62 NE   | 0.4       | -5.0    | 0.0       |    |  |  |
| 合計             | 1.631             | 309.6                         | 0                                                 | 29.4    | 29.4      | -23.9   | 159.5     | 1.284             | 387.1                         | 0                                                 | 28.3    | -28.5     | 172.0   | 1.651     | 887.3             | 0                             | 33.4                                              | 33.4    | +1.8      | 142.5   |           |    |  |  |

# 月別日平均値集計表

2015年 01月

| 局<br>項<br>目    | 人 形 峠             |                               |                                                   |         |           |         | 赤 和 瀬     |                   |                               |                                                   |         |           | 0 3     |           |                   |                               |                                                   |         | 天 王       |         |           |                   |                               |                                                   |         |           |         |           |
|----------------|-------------------|-------------------------------|---------------------------------------------------|---------|-----------|---------|-----------|-------------------|-------------------------------|---------------------------------------------------|---------|-----------|---------|-----------|-------------------|-------------------------------|---------------------------------------------------|---------|-----------|---------|-----------|-------------------|-------------------------------|---------------------------------------------------|---------|-----------|---------|-----------|
|                | γ<br>線量率<br>μGy/h | α<br>濃度<br>mBq/m <sup>3</sup> | ふっ素濃度<br>回数<br>10 <sup>-4</sup> mg/m <sup>3</sup> | 風向      | 風速<br>m/s | 気温<br>℃ | 降水量<br>mm | γ<br>線量率<br>μGy/h | α<br>濃度<br>mBq/m <sup>3</sup> | ふっ素濃度<br>回数<br>10 <sup>-4</sup> mg/m <sup>3</sup> | 風向      | 風速<br>m/s | 気温<br>℃ | 降水量<br>mm | γ<br>線量率<br>μGy/h | α<br>濃度<br>mBq/m <sup>3</sup> | ふっ素濃度<br>回数<br>10 <sup>-4</sup> mg/m <sup>3</sup> | 風向      | 風速<br>m/s | 気温<br>℃ | 降水量<br>mm | γ<br>線量率<br>μGy/h | α<br>濃度<br>mBq/m <sup>3</sup> | ふっ素濃度<br>回数<br>10 <sup>-4</sup> mg/m <sup>3</sup> | 風向      | 風速<br>m/s | 気温<br>℃ | 降水量<br>mm |
| 1              | 0.048             | 5.4                           | 0                                                 | CLM     | 0.0       | -5.4    | 24.5      | 0.041             | 4.8                           | 0                                                 | CLM     | 0.0       | -5.1    | 34.0      | 0.052             | 6.9                           | 0                                                 | CLM     | 0.0       | -3.9    | 19.0      | 0.052             | 6.9                           | 0                                                 | CLM     | 0.0       | -3.9    | 19.0      |
| 2              | 0.039             | 4.9                           | 0                                                 | CLM     | 0.1       | -4.8    | 11.5      | 0.032             | 4.5                           | 0                                                 | CLM     | 0.0       | -4.7    | 11.0      | 0.041             | 8.3                           | 0                                                 | CLM     | 0.8       | -3.8    | 8.0       | 0.041             | 8.3                           | 0                                                 | CLM     | 0.8       | -3.8    | 8.0       |
| 3              | 0.035             | 4.8                           | 0                                                 | CLM     | 0.5       | -2.3    | 7.5       | 0.029             | 6.2                           | 0                                                 | CLM     | 0.5       | -2.5    | 11.5      | 0.037             | 9.6                           | 0                                                 | CLM     | 0.8       | -1.1    | 6.5       | 0.037             | 9.6                           | 0                                                 | CLM     | 0.8       | -1.1    | 6.5       |
| 4              | 0.032             | 8.4                           | 0                                                 | CLM     | 0.6       | +0.5    | 0.0       | 0.027             | 11.0                          | 0                                                 | CLM     | 0.6       | -0.1    | 0.0       | 0.035             | 20.0                          | 0                                                 | CLM     | 0.7       | +0.0    | 0.0       | 0.035             | 20.0                          | 0                                                 | CLM     | 0.7       | +0.0    | 0.0       |
| 5              | 0.033             | 9.5                           | 0                                                 | CLM     | 1.0       | +2.6    | 0.0       | 0.028             | 10.5                          | 0                                                 | CLM     | 0.9       | +2.1    | 0.0       | 0.036             | 24.8                          | 0                                                 | CLM     | 0.6       | +1.9    | 0.0       | 0.036             | 24.8                          | 0                                                 | CLM     | 0.6       | +1.9    | 0.0       |
| 6              | 0.041             | 10.3                          | 0                                                 | NE      | 1.8       | +2.0    | 8.5       | 0.036             | 8.5                           | 0                                                 | NE      | 1.8       | +2.1    | 12.0      | 0.043             | 15.5                          | 0                                                 | N       | 1.5       | +2.9    | 8.5       | 0.043             | 15.5                          | 0                                                 | N       | 1.5       | +2.9    | 8.5       |
| 7              | 0.040             | 5.5                           | 0                                                 | CLM     | 0.7       | -2.0    | 20.0      | 0.033             | 4.3                           | 0                                                 | CLM     | 0.7       | -1.7    | 19.0      | 0.042             | 7.2                           | 0                                                 | CLM     | 0.5       | -0.5    | 17.0      | 0.042             | 7.2                           | 0                                                 | CLM     | 0.5       | -0.5    | 17.0      |
| 8              | 0.039             | 5.6                           | 0                                                 | CLM     | 0.6       | -2.2    | 17.5      | 0.034             | 3.2                           | 0                                                 | NE      | 2.0       | -2.0    | 18.5      | 0.042             | 7.1                           | 0                                                 | CLM     | 0.5       | -0.7    | 15.0      | 0.042             | 7.1                           | 0                                                 | CLM     | 0.5       | -0.7    | 15.0      |
| 9              | 0.035             | 5.5                           | 0                                                 | CLM     | 0.7       | -1.2    | 11.0      | 0.030             | 4.5                           | 0                                                 | CLM     | 1.0       | -0.9    | 8.5       | 0.036             | 9.8                           | 0                                                 | CLM     | 0.6       | +0.2    | 7.0       | 0.036             | 9.8                           | 0                                                 | CLM     | 0.6       | +0.2    | 7.0       |
| 10             | 0.033             | 7.8                           | 0                                                 | CLM     | 0.8       | -1.9    | 6.0       | 0.029             | 7.3                           | 0                                                 | CLM     | 0.7       | -1.5    | 8.0       | 0.036             | 14.2                          | 0                                                 | CLM     | 0.6       | -1.0    | 4.5       | 0.036             | 14.2                          | 0                                                 | CLM     | 0.6       | -1.0    | 4.5       |
| 11             | 0.037             | 7.7                           | 0                                                 | CLM     | 0.8       | -1.7    | 23.5      | 0.032             | 9.6                           | 0                                                 | CLM     | 1.1       | -2.0    | 21.5      | 0.040             | 14.3                          | 0                                                 | CLM     | 1.1       | -1.2    | 17.5      | 0.040             | 14.3                          | 0                                                 | CLM     | 1.1       | -1.2    | 17.5      |
| 12             | 0.032             | 5.0                           | 0                                                 | NNE     | 1.1       | -2.4    | 12.0      | 0.028             | 2.9                           | 0                                                 | NNE     | 3.1       | -2.1    | 6.0       | 0.035             | 6.3                           | 0                                                 | N       | 1.5       | -0.8    | 12.0      | 0.035             | 6.3                           | 0                                                 | N       | 1.5       | -0.8    | 12.0      |
| 13             | 0.027             | 4.0                           | 0                                                 | CLM     | 0.6       | -1.0    | 0.0       | 0.023             | 3.5                           | 0                                                 | NNE     | 1.9       | -1.0    | 0.0       | 0.028             | 8.7                           | 0                                                 | NNW     | 0.8       | +0.2    | 0.0       | 0.028             | 8.7                           | 0                                                 | NNW     | 0.8       | +0.2    | 0.0       |
| 14             | 0.028             | 9.0                           | 0                                                 | ENE     | 0.8       | -0.7    | 0.0       | 0.025             | 11.2                          | 0                                                 | CLM     | 0.5       | -2.1    | 0.0       | 0.032             | 22.1                          | 0                                                 | CLM     | 0.6       | -1.4    | 0.0       | 0.032             | 22.1                          | 0                                                 | CLM     | 0.6       | -1.4    | 0.0       |
| 15             | 0.031             | 3.7                           | 0                                                 | CLM     | 0.7       | +0.9    | 31.0      | 0.028             | 4.2                           | 0                                                 | N       | 2.3       | +1.0    | 27.5      | 0.034             | 12.4                          | 0                                                 | CLM     | 0.9       | +1.5    | 34.5      | 0.034             | 12.4                          | 0                                                 | CLM     | 0.9       | +1.5    | 34.5      |
| 16             | 0.027             | 6.5                           | 0                                                 | CLM     | 0.8       | +1.1    | 1.0       | 0.025             | 6.9                           | 0                                                 | CLM     | 1.1       | +1.1    | 0.5       | 0.031             | 17.0                          | 0                                                 | CLM     | 0.8       | +1.9    | 1.0       | 0.031             | 17.0                          | 0                                                 | CLM     | 0.8       | +1.9    | 1.0       |
| 17             | 0.043             | 5.7                           | 0                                                 | CLM     | 0.1       | -2.1    | 34.0      | 0.040             | 5.4                           | 0                                                 | CLM     | 1.0       | -1.9    | 30.0      | 0.047             | 8.2                           | 0                                                 | NNE     | 1.4       | -0.5    | 29.0      | 0.047             | 8.2                           | 0                                                 | NNE     | 1.4       | -0.5    | 29.0      |
| 18             | 0.025             | 7.0                           | 0                                                 | CLM     | 0.5       | -1.0    | 2.0       | 0.024             | 7.9                           | 0                                                 | CLM     | 0.7       | -1.1    | 1.5       | 0.029             | 13.4                          | 0                                                 | CLM     | 0.8       | -0.3    | 2.0       | 0.029             | 13.4                          | 0                                                 | CLM     | 0.8       | -0.3    | 2.0       |
| 19             | 0.029             | 9.2                           | 0                                                 | WSW     | 1.0       | -0.1    | 2.0       | 0.027             | 10.1                          | 0                                                 | CLM     | 1.0       | +0.0    | 2.5       | 0.031             | 14.8                          | 0                                                 | CLM     | 1.0       | +1.0    | 2.0       | 0.031             | 14.8                          | 0                                                 | CLM     | 1.0       | +1.0    | 2.0       |
| 20             | 0.028             | 7.8                           | 0                                                 | CLM     | 0.5       | -0.2    | 1.5       | 0.026             | 8.7                           | 0                                                 | CLM     | 0.8       | -0.3    | 1.5       | 0.031             | 18.9                          | 0                                                 | CLM     | 0.4       | +0.5    | 1.0       | 0.031             | 18.9                          | 0                                                 | CLM     | 0.4       | +0.5    | 1.0       |
| 21             | 0.027             | 9.5                           | 0                                                 | CLM     | 0.7       | +0.2    | 0.5       | 0.025             | 13.8                          | 0                                                 | CLM     | 0.5       | -0.5    | 0.5       | 0.031             | 21.3                          | 0                                                 | CLM     | 0.6       | +0.6    | 0.5       | 0.031             | 21.3                          | 0                                                 | CLM     | 0.6       | +0.6    | 0.5       |
| 22             | 0.032             | 5.3                           | 0                                                 | CLM     | 0.5       | +2.3    | 60.5      | 0.030             | 8.0                           | 0                                                 | CLM     | 1.1       | +2.0    | 51.0      | 0.036             | 21.7                          | 0                                                 | CLM     | 0.4       | +1.9    | 75.0      | 0.036             | 21.7                          | 0                                                 | CLM     | 0.4       | +1.9    | 75.0      |
| 23             | 0.031             | 3.8                           | 0                                                 | CLM     | 0.4       | -0.7    | 58.5      | 0.029             | 3.0                           | 0                                                 | N       | 2.1       | -0.6    | 31.0      | 0.035             | 8.0                           | 0                                                 | CLM     | 1.2       | +0.6    | 45.0      | 0.035             | 8.0                           | 0                                                 | CLM     | 1.2       | +0.6    | 45.0      |
| 24             | 0.023             | 8.1                           | 0                                                 | CLM     | 0.6       | -0.2    | 0.0       | 0.023             | 9.5                           | 0                                                 | CLM     | 0.7       | -0.3    | 0.0       | 0.029             | 19.5                          | 0                                                 | CLM     | 0.6       | +0.3    | 0.0       | 0.029             | 19.5                          | 0                                                 | CLM     | 0.6       | +0.3    | 0.0       |
| 25             | 0.023             | 10.3                          | 0                                                 | NE      | 0.9       | +1.7    | 0.0       | 0.023             | 11.6                          | 0                                                 | NNW     | 0.7       | +1.1    | 0.0       | 0.029             | 25.7                          | 0                                                 | CLM     | 0.7       | +1.5    | 0.0       | 0.029             | 25.7                          | 0                                                 | CLM     | 0.7       | +1.5    | 0.0       |
| 26             | 0.030             | 4.8                           | 0                                                 | NE      | 1.0       | +3.4    | 16.0      | 0.029             | 6.7                           | 0                                                 | CLM     | 0.6       | +2.2    | 11.0      | 0.037             | 14.8                          | 0                                                 | CLM     | 0.7       | +2.4    | 19.5      | 0.037             | 14.8                          | 0                                                 | CLM     | 0.7       | +2.4    | 19.5      |
| 27             | 0.032             | 4.4                           | 0                                                 | CLM     | 0.6       | +2.7    | 16.5      | 0.028             | 3.7                           | 0                                                 | N       | 2.1       | +2.7    | 8.0       | 0.035             | 14.5                          | 0                                                 | CLM     | 0.7       | +2.5    | 10.0      | 0.035             | 14.5                          | 0                                                 | CLM     | 0.7       | +2.5    | 10.0      |
| 28             | 0.029             | 2.9                           | 0                                                 | CLM     | 0.0       | -3.5    | 12.0      | 0.026             | 2.0                           | 0                                                 | N       | 3.0       | -3.5    | 5.0       | 0.033             | 5.0                           | 0                                                 | CLM     | 0.1       | -2.2    | 7.0       | 0.033             | 5.0                           | 0                                                 | CLM     | 0.1       | -2.2    | 7.0       |
| 29             | 0.025             | 4.7                           | 0                                                 | CLM     | 0.0       | -2.9    | 0.5       | 0.023             | 3.8                           | 0                                                 | N       | 1.0       | -2.9    | 0.0       | 0.030             | 9.1                           | 0                                                 | CLM     | 0.4       | -1.8    | 0.0       | 0.030             | 9.1                           | 0                                                 | CLM     | 0.4       | -1.8    | 0.0       |
| 30             | 0.029             | 5.0                           | 0                                                 | CLM     | 0.5       | -0.9    | 11.5      | 0.027             | 5.1                           | 0                                                 | CLM     | 0.4       | -0.8    | 15.0      | 0.034             | 11.0                          | 0                                                 | CLM     | 0.6       | +0.0    | 11.5      | 0.034             | 11.0                          | 0                                                 | CLM     | 0.6       | +0.0    | 11.5      |
| 31             | 0.026             | 5.2                           | 0                                                 | CLM     | 0.0       | -3.7    | 3.5       | 0.024             | 4.3                           | 0                                                 | NNE     | 3.2       | -3.6    | 3.5       | 0.031             | 6.9                           | 0                                                 | CLM     | 0.9       | -2.1    | 4.0       | 0.031             | 6.9                           | 0                                                 | CLM     | 0.9       | -2.1    | 4.0       |
| 有効<br>測定<br>日数 | 31                | 31                            | 31                                                | 31      | 31        | 31      | 31        | 31                | 31                            | 31                                                | 31      | 31        | 31      | 31        | 31                | 31                            | 31                                                | 31      | 31        | 31      | 31        | 31                | 31                            | 31                                                | 31      | 31        | 31      | 31        |
| 平均             | 0.032             | 6.4                           | 0.00                                              | 357 CLM | 0.6       | -0.8    | 12.7      | 0.029             | 6.7                           | 0.00                                              | 246 CLM | 1.2       | -0.9    | 10.9      | 0.035             | 13.5                          | 0.00                                              | 356 CLM | 0.7       | 0.0     | 11.5      | 0.035             | 13.5                          | 0.00                                              | 356 CLM | 0.7       | 0.0     | 11.5      |
| 最大             | 0.048             | 10.3                          | 0.00                                              | 80 NE   | 1.8       | +3.4    | 60.5      | 0.041             | 13.8                          | 0.00                                              | 107 N   | 3.2       | +2.7    | 51.0      | 0.052             | 25.7                          | 0.00                                              | 66 NNE  | 1.5       | +2.9    | 75.0      | 0.052             | 25.7                          | 0.00                                              | 66 NNE  | 1.5       | +2.9    | 75.0      |
| 最小             | 0.023             | 2.9                           | 0.00                                              | 57 NNE  | 0.0       | -5.4    | 0.0       | 0.023             | 2.0                           | 0.00                                              | 100 NNE | 0.0       | -5.1    | 0.0       | 0.028             | 5.0                           | 0.00                                              | 61 N    | 0.0       | -3.9    | 0.0       | 0.028             | 5.0                           | 0.00                                              | 61 N    | 0.0       | -3.9    | 0.0       |
| 合計             | 0.988             | 197.1                         | 0                                                 | 18.9    | 393.0     | -23.7   | 393.0     | 0.884             | 206.8                         | 0                                                 | 38.2    | -26.8     | 388.5   | 1.094     | 417.0             | 0                             | 0.00                                              | 23.0    | 23.0      | -1.4    | 357.0     | 1.094             | 417.0                         | 0                                                 | 0.00    | 23.0      | -1.4    | 357.0     |

2015年 02月

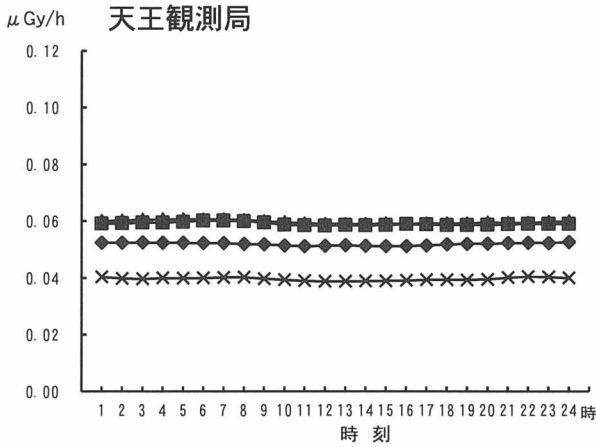
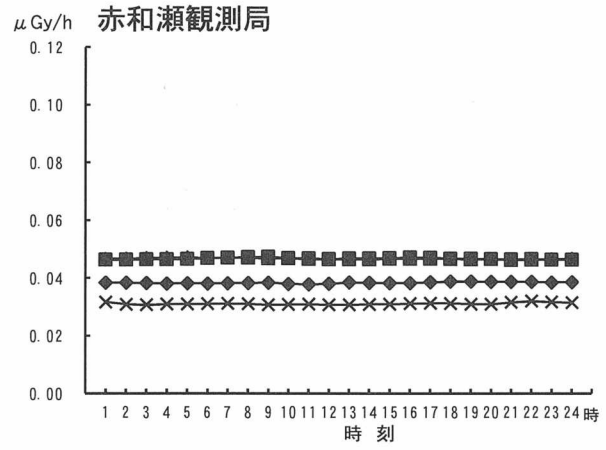
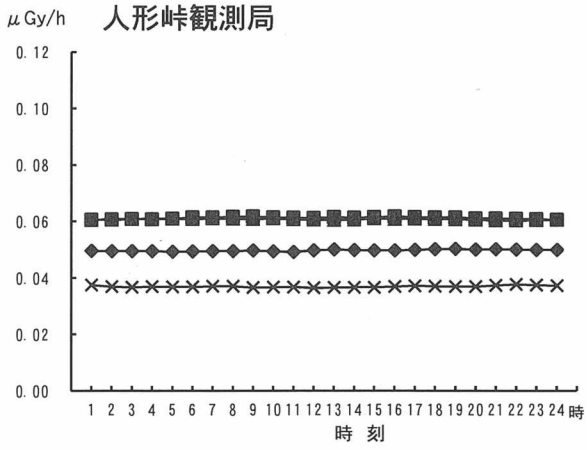
月別日平均値集計表

| 高<br>項<br>目<br>日 | 人 形 峠             |                               |                                                      |         |           |         | 赤 和 瀬     |                   |                               |                                                      |         |           | 0.3 天 王 |           |                   |                               |                                                      |         |           |         |           |    |
|------------------|-------------------|-------------------------------|------------------------------------------------------|---------|-----------|---------|-----------|-------------------|-------------------------------|------------------------------------------------------|---------|-----------|---------|-----------|-------------------|-------------------------------|------------------------------------------------------|---------|-----------|---------|-----------|----|
|                  | γ<br>線量率<br>μGy/h | α<br>濃度<br>mBq/m <sup>3</sup> | ふっ素濃度<br>回数 累積<br>10 <sup>-4</sup> mg/m <sup>3</sup> | 風向      | 風速<br>m/s | 気温<br>℃ | 降水量<br>mm | γ<br>線量率<br>μGy/h | α<br>濃度<br>mBq/m <sup>3</sup> | ふっ素濃度<br>回数 累積<br>10 <sup>-4</sup> mg/m <sup>3</sup> | 風向      | 風速<br>m/s | 気温<br>℃ | 降水量<br>mm | γ<br>線量率<br>μGy/h | α<br>濃度<br>mBq/m <sup>3</sup> | ふっ素濃度<br>回数 累積<br>10 <sup>-4</sup> mg/m <sup>3</sup> | 風向      | 風速<br>m/s | 気温<br>℃ | 降水量<br>mm |    |
| 1                | 0.027             | 4.3                           | 0                                                    | CLM     | 0.4       | -3.2    | 13.5      | 0.024             | 3.1                           | 0                                                    | NNE     | 2.7       | -3.0    | 6.5       | 0.031             | 6.0                           | 0                                                    | N       | 1.5       | -1.7    | 10.0      |    |
| 2                | 0.023             | 4.5                           | 0                                                    | CLM     | 0.5       | -2.2    | 2.5       | 0.022             | 2.9                           | 0                                                    | N       | 2.7       | -1.9    | 0.5       | 0.028             | 6.4                           | 0                                                    | N       | 1.0       | -0.6    | 1.5       |    |
| 3                | 0.023             | 6.4                           | 0                                                    | CLM     | 0.5       | -1.8    | 1.0       | 0.021             | 4.9                           | 0                                                    | NNE     | 1.7       | -1.5    | 1.5       | 0.028             | 12.2                          | 0                                                    | CLM     | 0.6       | -0.5    | 0.5       |    |
| 4                | 0.024             | 6.2                           | 0                                                    | CLM     | 0.5       | -0.8    | 0.0       | 0.022             | 9.5                           | 0                                                    | CLM     | 0.4       | -0.9    | 0.0       | 0.030             | 16.5                          | 0                                                    | CLM     | 0.4       | -0.2    | 0.0       |    |
| 5                | 0.029             | 4.8                           | 0                                                    | CLM     | 0.6       | -0.6    | 22.0      | 0.026             | 5.1                           | 0                                                    | CLM     | 1.5       | -0.4    | 15.0      | 0.033             | 8.9                           | 0                                                    | NNE     | 1.4       | +0.8    | 19.5      |    |
| 6                | 0.024             | 3.7                           | 0                                                    | CLM     | 0.3       | -2.8    | 6.5       | 0.022             | 4.5                           | 0                                                    | N       | 1.4       | -3.0    | 2.0       | 0.028             | 8.9                           | 0                                                    | CLM     | 0.9       | -1.6    | 5.0       |    |
| 7                | 0.025             | 10.0                          | 0                                                    | CLM     | 0.7       | -1.6    | 0.0       | 0.022             | 13.1                          | 0                                                    | CLM     | 0.8       | -2.7    | 0.0       | 0.028             | 19.1                          | 0                                                    | CLM     | 0.9       | -1.9    | 0.0       |    |
| 8                | 0.028             | 7.4                           | 0                                                    | CLM     | 0.9       | -2.1    | 13.5      | 0.026             | 7.9                           | 0                                                    | SSE     | 1.1       | -1.9    | 17.5      | 0.030             | 12.5                          | 0                                                    | NNE     | 1.5       | -0.8    | 9.5       |    |
| 9                | 0.027             | 4.6                           | 0                                                    | CLM     | 0.6       | -6.8    | 7.5       | 0.024             | 3.9                           | 0                                                    | SSW     | 1.3       | -6.6    | 9.5       | 0.030             | 6.8                           | 0                                                    | SSE     | 1.2       | -5.1    | 5.0       |    |
| 10               | 0.022             | 7.7                           | 0                                                    | CLM     | 0.4       | -2.6    | 0.0       | 0.020             | 8.2                           | 0                                                    | S       | 1.0       | -2.4    | 0.0       | 0.025             | 11.2                          | 0                                                    | SE      | 1.3       | -1.3    | 0.0       |    |
| 11               | 0.023             | 11.5                          | 0                                                    | WSW     | 0.7       | +0.5    | 0.0       | 0.021             | 12.2                          | 0                                                    | CLM     | 0.7       | +0.2    | 0.0       | 0.027             | 18.2                          | 0                                                    | NW      | 1.5       | +1.6    | 0.0       |    |
| 12               | 0.025             | 10.3                          | 0                                                    | CLM     | 0.8       | -0.1    | 3.0       | 0.023             | 11.8                          | 0                                                    | CLM     | 0.8       | 0.0     | 2.5       | 0.029             | 18.7                          | 0                                                    | CLM     | 1.0       | +0.9    | 2.0       |    |
| 13               | 0.030             | 5.5                           | 0                                                    | NNE     | 1.1       | -4.6    | 20.0      | 0.030             | 4.6                           | 0                                                    | WSW     | 1.3       | -4.5    | 23.5      | 0.036             | 7.2                           | 0                                                    | NNE     | 1.4       | -3.0    | 16.5      |    |
| 14               | 0.023             | 6.8                           | 0                                                    | CLM     | 0.7       | -2.4    | 6.0       | 0.021             | 7.8                           | 0                                                    | CLM     | 0.8       | -2.5    | 5.0       | 0.028             | 11.9                          | 0                                                    | CLM     | 0.9       | -1.6    | 4.5       |    |
| 15               | 0.023             | 8.1                           | 0                                                    | NNE     | 0.9       | +0.4    | 0.0       | 0.020             | 9.0                           | 0                                                    | NNE     | 1.9       | -0.1    | 0.0       | 0.026             | 16.8                          | 0                                                    | CLM     | 0.8       | +0.3    | 0.0       |    |
| 16               | 0.024             | 6.5                           | 0                                                    | CLM     | 0.7       | +1.0    | 1.0       | 0.021             | 7.2                           | 0                                                    | CLM     | 0.6       | +0.7    | 1.0       | 0.028             | 16.8                          | 0                                                    | CLM     | 0.6       | +1.7    | 1.0       |    |
| 17               | 0.025             | 6.9                           | 0                                                    | CLM     | 0.6       | +1.6    | 1.0       | 0.023             | 7.4                           | 0                                                    | CLM     | 0.7       | +1.7    | 2.0       | 0.030             | 17.1                          | 0                                                    | CLM     | 0.8       | +2.2    | 1.5       |    |
| 18               | 0.027             | 2.3                           | 0                                                    | CLM     | 1.0       | -0.7    | 34.0      | 0.024             | 1.5                           | 0                                                    | CLM     | 1.0       | -0.5    | 30.5      | 0.031             | 4.1                           | 0                                                    | CLM     | 1.1       | +0.7    | 26.0      |    |
| 19               | 0.026             | 3.7                           | 0                                                    | CLM     | 0.0       | -1.8    | 27.0      | 0.024             | 2.6                           | 0                                                    | NNE     | 3.4       | -1.6    | 21.0      | 0.031             | 5.3                           | 0                                                    | CLM     | 0.1       | -0.3    | 27.5      |    |
| 20               | 0.021             | 3.9                           | 0                                                    | CLM     | 0.4       | -2.3    | 0.0       | 0.018             | 3.4                           | 0                                                    | N       | 2.3       | -2.5    | 0.0       | 0.024             | 7.2                           | 0                                                    | CLM     | 0.5       | -1.1    | 0.0       |    |
| 21               | 0.022             | 7.8                           | 0                                                    | NE      | 1.5       | -0.4    | 0.0       | 0.019             | 7.4                           | 0                                                    | SW      | 0.6       | -2.0    | 0.0       | 0.026             | 13.4                          | 0                                                    | CLM     | 0.9       | -1.5    | 0.0       |    |
| 22               | 0.026             | 4.2                           | 0                                                    | NNE     | 1.9       | +5.8    | 7.5       | 0.022             | 4.5                           | 0                                                    | S       | 1.2       | +4.8    | 6.5       | 0.029             | 10.3                          | 0                                                    | N       | 2.2       | +5.3    | 7.5       |    |
| 23               | 0.025             | 9.5                           | 0                                                    | CLM     | 0.6       | +2.7    | 0.0       | 0.021             | 11.7                          | 0                                                    | CLM     | 0.5       | +1.8    | 0.0       | 0.029             | 23.6                          | 0                                                    | CLM     | 0.5       | +1.8    | 0.0       |    |
| 24               | 0.026             | 7.6                           | 0                                                    | CLM     | 0.5       | +1.9    | 0.0       | 0.022             | 10.3                          | 0                                                    | CLM     | 0.7       | +1.2    | 0.0       | 0.030             | 21.2                          | 0                                                    | CLM     | 0.6       | +1.6    | 0.0       |    |
| 25               | 0.027             | 10.4                          | 0                                                    | CLM     | 0.7       | +2.5    | 0.0       | 0.022             | 9.1                           | 0                                                    | CLM     | 0.9       | +2.3    | 0.0       | 0.030             | 22.5                          | 0                                                    | CLM     | 0.9       | +2.6    | 0.0       |    |
| 26               | 0.028             | 11.1                          | 0                                                    | W       | 0.9       | +2.7    | 2.0       | 0.024             | 14.3                          | 0                                                    | CLM     | 0.5       | +1.4    | 0.0       | 0.033             | 30.9                          | 0                                                    | CLM     | 0.6       | +1.6    | 3.0       |    |
| 27               | 0.031             | 8.2                           | 0                                                    | NNE     | 1.2       | -2.1    | 10.5      | 0.027             | 6.0                           | 0                                                    | NNE     | 1.7       | -2.0    | 10.0      | 0.034             | 11.6                          | 0                                                    | CLM     | 0.4       | -0.9    | 9.0       |    |
| 28               | 0.026             | 7.0                           | 0                                                    | ENE     | 1.0       | -0.4    | 0.0       | 0.022             | 5.2                           | 0                                                    | N       | 1.8       | -0.3    | 0.0       | 0.029             | 9.9                           | 0                                                    | CLM     | 0.8       | +1.0    | 0.0       |    |
| 29               |                   |                               |                                                      |         |           |         |           |                   |                               |                                                      |         |           |         |           |                   |                               |                                                      |         |           |         |           |    |
| 30               |                   |                               |                                                      |         |           |         |           |                   |                               |                                                      |         |           |         |           |                   |                               |                                                      |         |           |         |           |    |
| 31               |                   |                               |                                                      |         |           |         |           |                   |                               |                                                      |         |           |         |           |                   |                               |                                                      |         |           |         |           |    |
| 有効<br>測定<br>日数   | 28                | 28                            | 28                                                   | 28      | 28        | 28      | 28        | 28                | 28                            | 28                                                   | 28      | 28        | 28      | 28        | 28                | 28                            | 28                                                   | 28      | 28        | 28      | 28        | 28 |
| 平均               | 0.025             | 6.8                           | 0.00                                                 | 242 CLM | 0.7       | -0.7    | 6.4       | 0.023             | 7.1                           | 0.00                                                 | 170 CLM | 1.3       | -0.9    | 5.5       | 0.029             | 13.4                          | 0.00                                                 | 244 CLM | 0.9       | +0.0    | 5.3       |    |
| 最大               | 0.031             | 11.5                          | 0.00                                                 | 67 NE   | 1.9       | +5.8    | 34.0      | 0.030             | 14.3                          | 0.00                                                 | 109 N   | 3.4       | +4.8    | 30.5      | 0.036             | 30.9                          | 0.00                                                 | 72 NNE  | 2.2       | +5.3    | 27.5      |    |
| 最小               | 0.021             | 2.3                           | 0.00                                                 | 47 NNE  | 0.0       | -6.8    | 0.0       | 0.018             | 1.5                           | 0.00                                                 | 92 NNE  | 0.4       | -6.6    | 0.0       | 0.024             | 4.1                           | 0.00                                                 | 54 N    | 0.1       | -5.1    | 0.0       |    |
| 合計               | 0.709             | 190.8                         | 0                                                    |         | 20.6      | -20.0   | 178.5     | 0.632             | 199.0                         | 0                                                    |         | 36.0      | -26.2   | 154.5     | 0.820             | 374.8                         | 0                                                    |         | 26.0      | +0.1    | 149.5     |    |





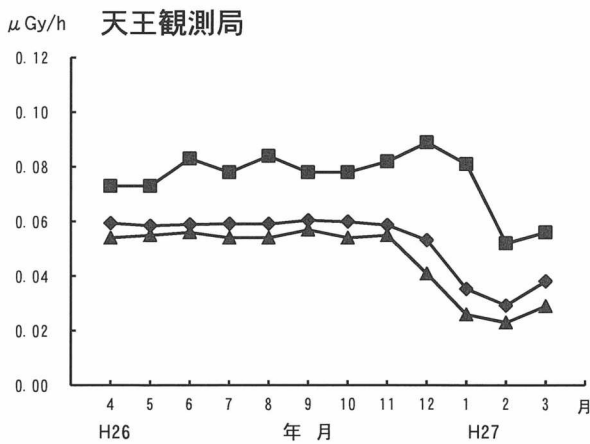
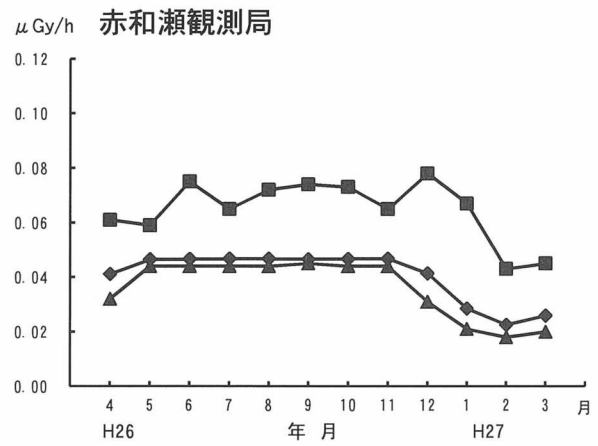
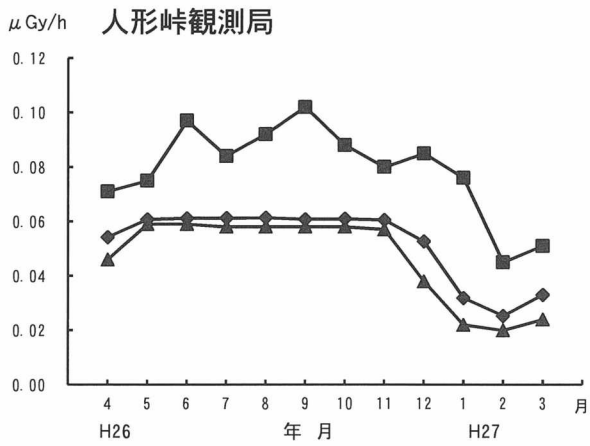
C . グラフ



- ◆-◆ 春
- 夏
- ▲-▲ 秋
- ×-× 冬

図1 空間γ線線量率(平均値)の季節別日内変動  
(平成26年3月1日～平成27年2月28日)

\* 気象では、春:3月～5月,夏:6月～8月,秋:9月～11月,  
冬:12月～2月と季節区分する。



- 最高値
- ◆-◆ 平均値
- ▲-▲ 最低値

図2 空間γ線線量率の年内変動

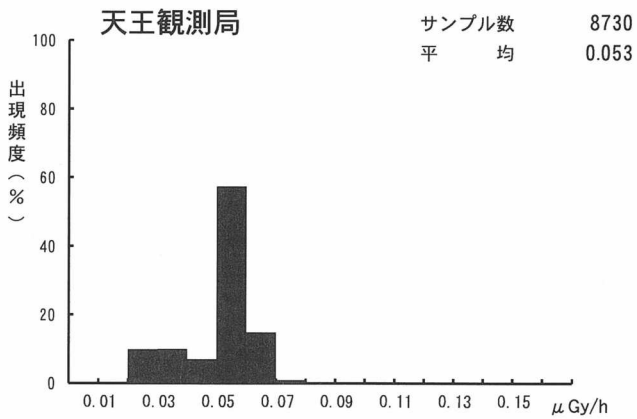
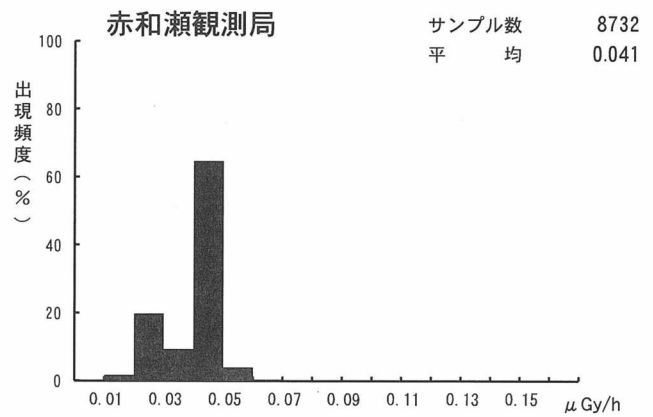
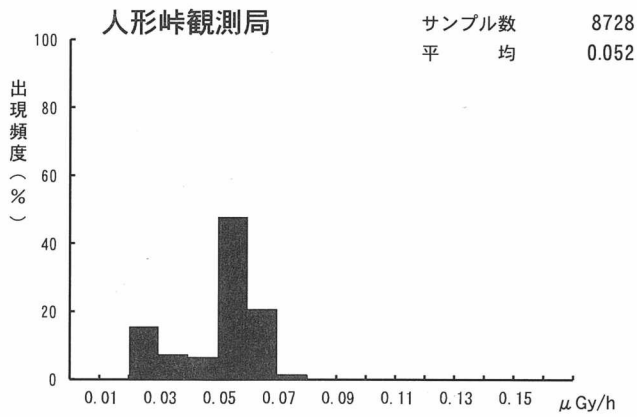
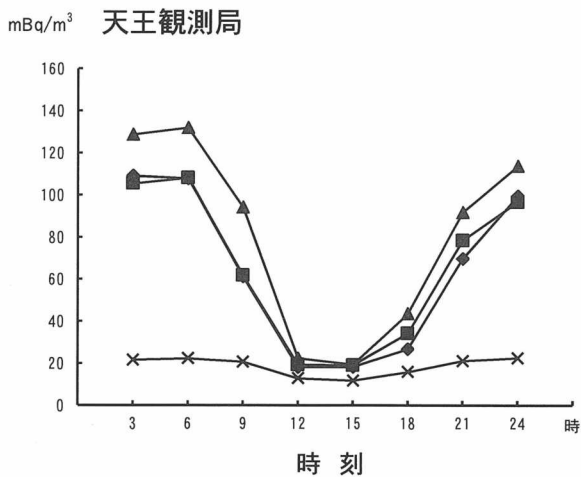
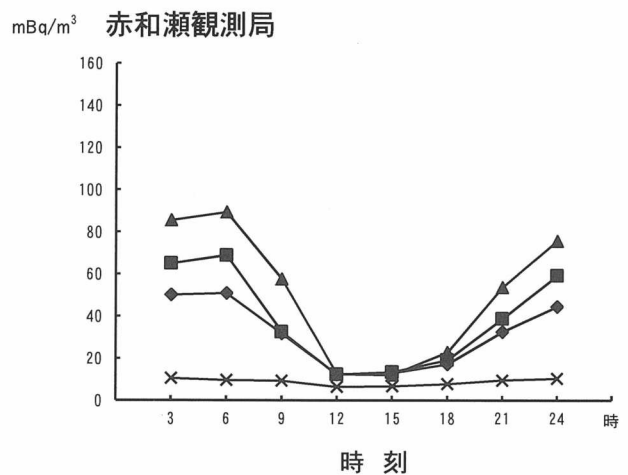
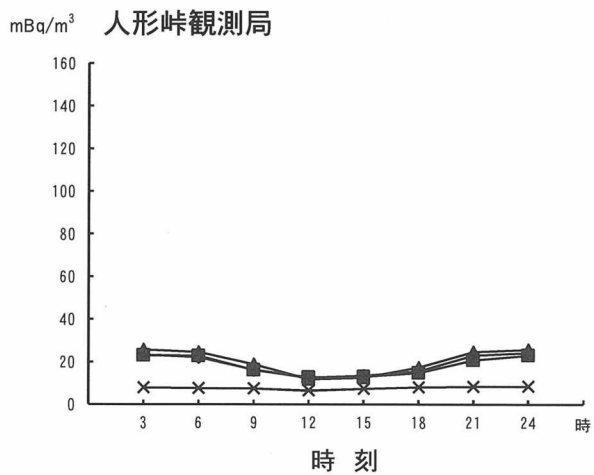


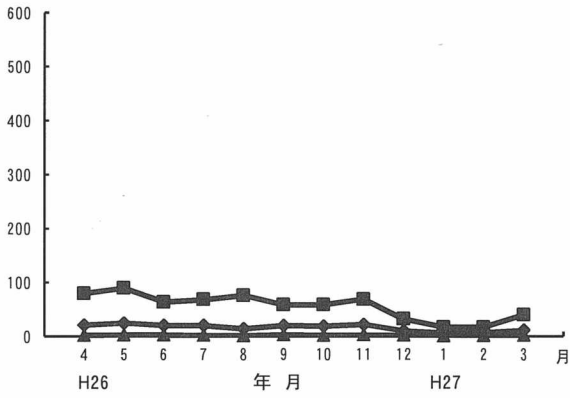
図3 空間γ線線量率の年間データ度数分布



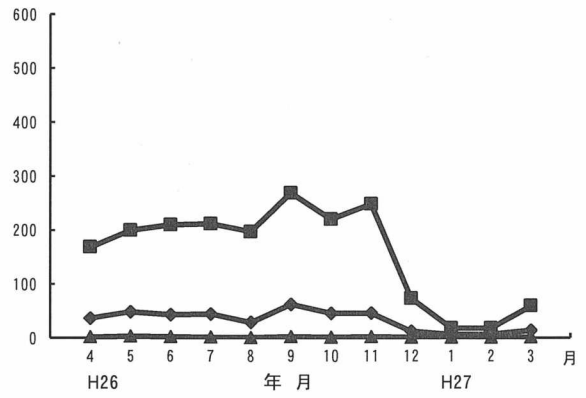
◆-◆ 春  
■-■ 夏  
▲-▲ 秋  
×-× 冬

図4 大気浮遊塵中全α放射能濃度(平均値)の季節別日内変動  
(平成26年3月1日～平成27年2月28日)  
\* 気象では、春:3月～5月,夏:6月～8月,秋:9月～11月,冬:12月～2月と季節区分する。

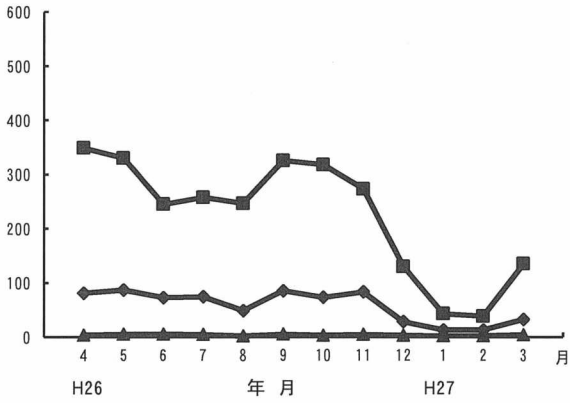
mBq/m<sup>3</sup> 人形峠観測局



mBq/m<sup>3</sup> 赤和瀬観測局



mBq/m<sup>3</sup> 天王観測局

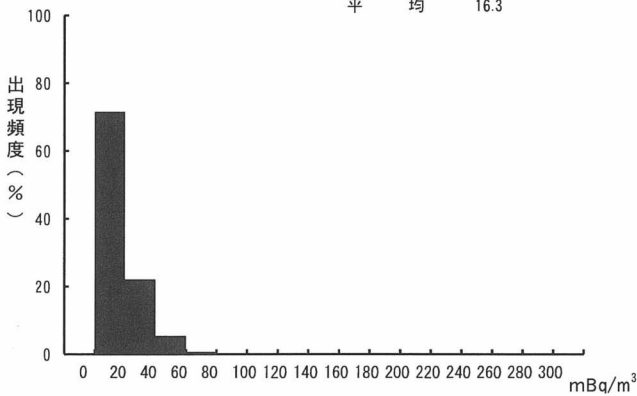


■—■ 最高値  
◆—◆ 平均値  
▲—▲ 最低値

図5 大気浮遊塵中全α放射能濃度の年内変動

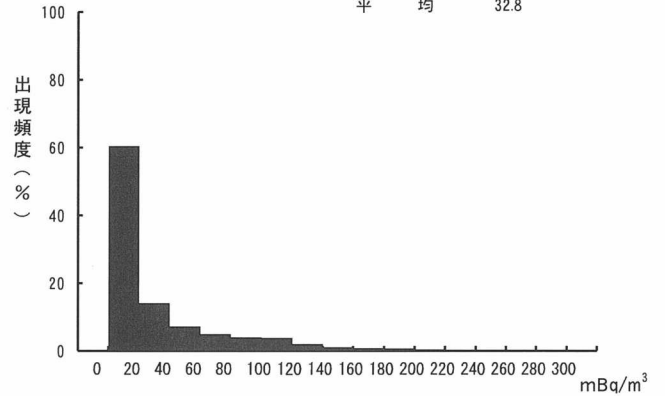
人形峠観測局

サンプル数 2876  
平均 16.3



赤和瀬観測局

サンプル数 2888  
平均 32.8



天王観測局

サンプル数 2902  
平均 58.0

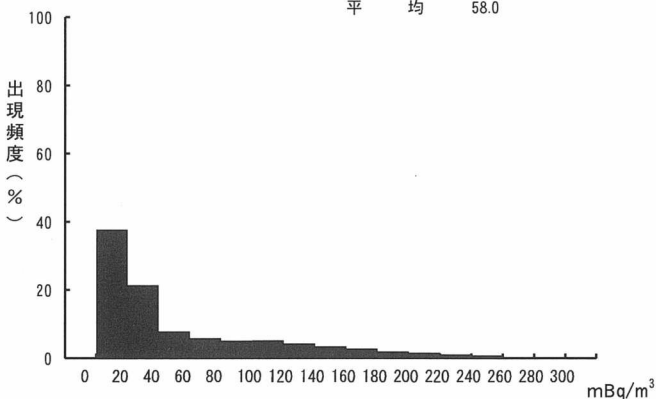
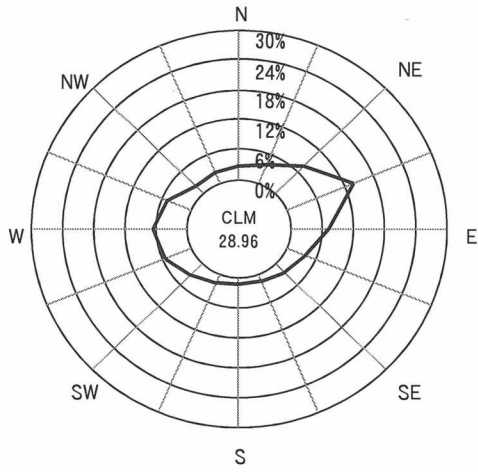
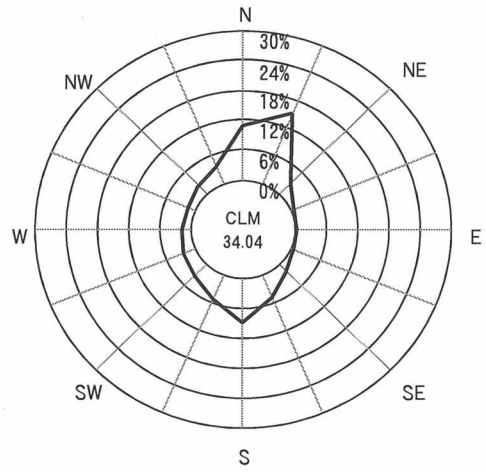


図6 大気浮遊塵中全α放射能濃度の年間データ度数分布

人形峠観測局



赤和瀬観測局



天王観測局

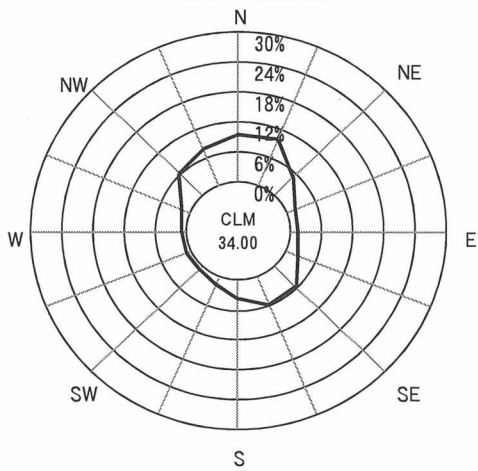
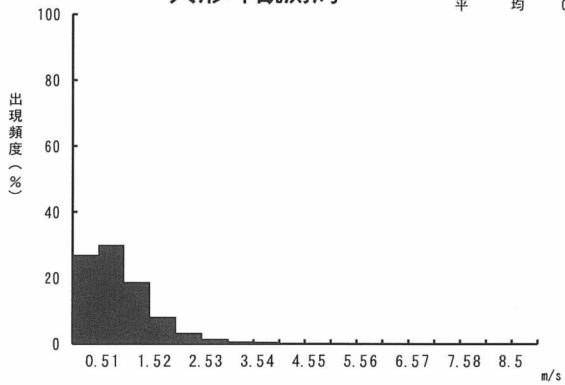


図7 風配図

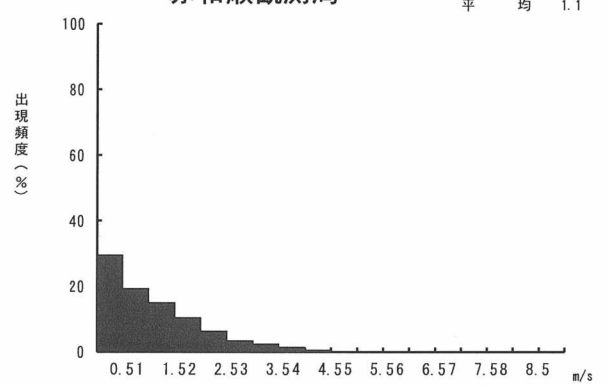
人形峠観測局

サンプル数 8756  
平均 0.9



赤和瀬観測局

サンプル数 8760  
平均 1.1



天王観測局

サンプル数 8760  
平均 1.1

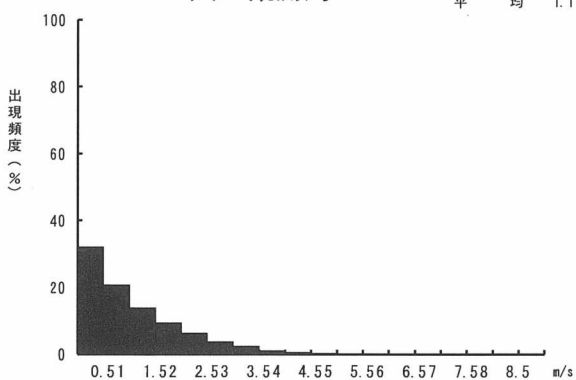
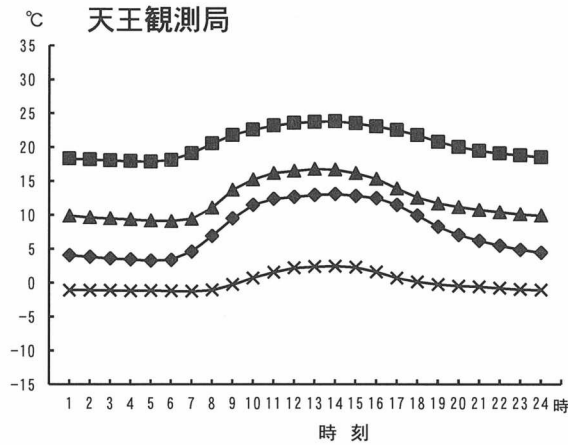
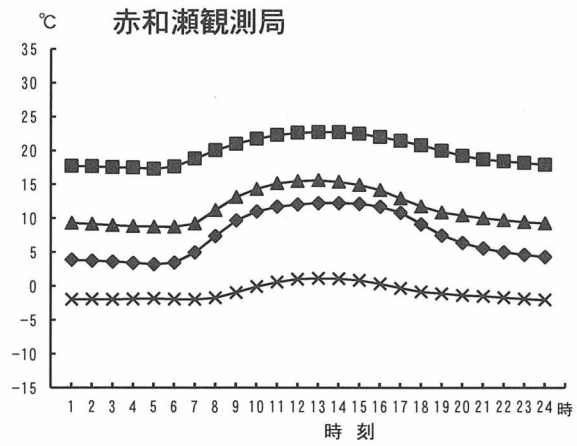
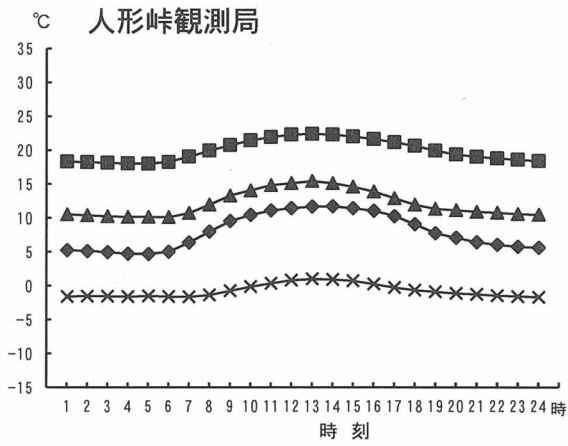
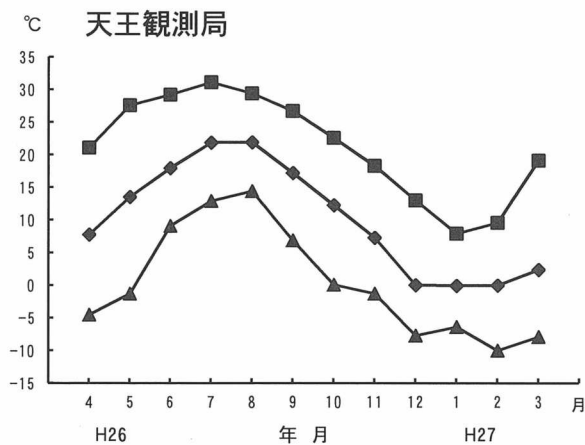
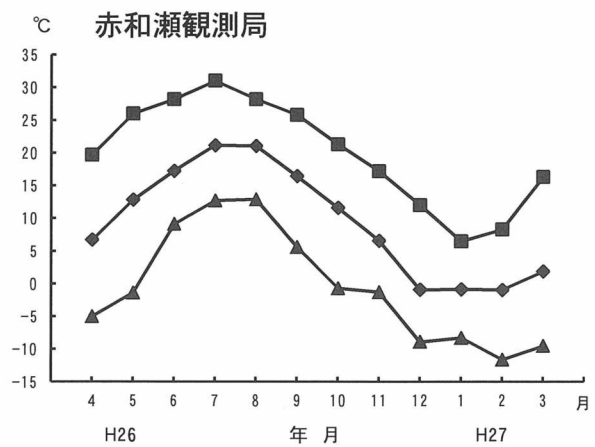
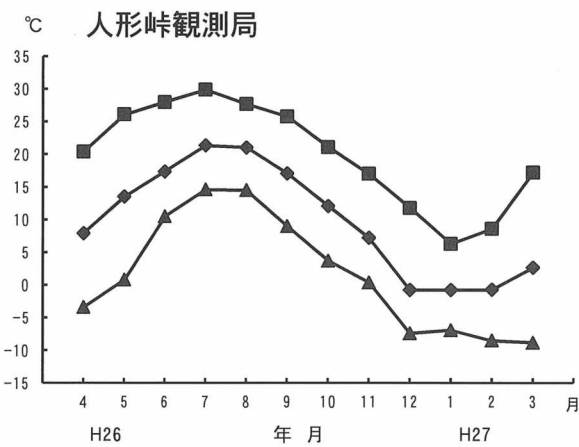


図8 風速の年間データ度数分布



- ◆—◆ 春
- 夏
- ▲—▲ 秋
- ×—× 冬

図9 気温(平均値)の季節別日内変動  
(平成26年3月1日～平成27年2月28日)  
\* 気象では、春:3月～5月,夏:6月～8月,秋:9月～11月,  
冬:12月～2月と季節区分する。



- 最高値
- ◆—◆ 平均値
- ▲—▲ 最低値

図10 気温の年内変動





## 2 - 2 - 2 サンプルング測定

☆表中の表記について

1. 測定結果に誤差が表記されている場合、その値は計数誤差 ( $1\sigma$ ) である。
2. 「ND」は、測定値が計数誤差の3倍 ( $3\sigma$ ) 未満であったこと、すなわち不検出を示す。  
NDの下の ( ) 内の数字は、実際に測定された数値を示す。
3. 「分析目標レベル」とは、放射能測定において計数値が計数誤差の3倍 ( $3\sigma$ ) と等しくなるようなおおよそのレベルを示す。これは文部科学省監修の放射能分析法マニュアルに準拠したものである。
4. 「平均値」とは、当該年度内の測定値を平均したものであるが、データの中にNDがあった場合、ND=分析目標レベルの値として計算し、計算結果の左に不等号「<」を付記した。

## A. 放射能

### ① 空間γ線線量率 (RPLD)

| 測定地点 | 第1四半期                    |        | 第2四半期                     |        | 第3四半期                      |        |
|------|--------------------------|--------|---------------------------|--------|----------------------------|--------|
|      | 測定期間                     | 測定値    | 測定期間                      | 測定値    | 測定期間                       | 測定値    |
| 人形峠  | H26. 3. 5～<br>H26. 6. 26 | 0. 091 | H26. 6. 26～<br>H26. 9. 24 | 0. 095 | H26. 9. 24～<br>H26. 12. 10 | 0. 090 |
| 池河   | H26. 3. 5～<br>H26. 6. 25 | 0. 079 | H26. 6. 25～<br>H26. 9. 24 | 0. 093 | H26. 9. 24～<br>H26. 12. 10 | 0. 089 |
| 夜次   | H26. 3. 6～<br>H26. 6. 26 | 0. 076 | H26. 6. 26～<br>H26. 9. 24 | 0. 089 | H26. 9. 24～<br>H26. 12. 10 | 0. 086 |
| 天王   | H26. 3. 5～<br>H26. 6. 26 | 0. 101 | H26. 6. 26～<br>H26. 9. 24 | 0. 104 | H26. 9. 24～<br>H26. 12. 10 | 0. 101 |
| 中津河  | H26. 3. 5～<br>H26. 6. 25 | 0. 051 | H26. 6. 25～<br>H26. 9. 24 | 0. 061 | H26. 9. 24～<br>H26. 12. 10 | 0. 061 |
| 赤和瀬  | H26. 3. 5～<br>H26. 6. 26 | 0. 090 | H26. 6. 26～<br>H26. 9. 24 | 0. 090 | H26. 9. 24～<br>H26. 12. 10 | 0. 090 |

注1) 第4四半期は積雪による影響で測定値が低くなっている。

平常の変動範囲※※  
(平成17年度～平成25年度)

| 測定地点 | 第1四半期  |        | 第2四半期  |        | 第3四半期  |        | 第4四半期  |        |
|------|--------|--------|--------|--------|--------|--------|--------|--------|
|      | 最大     | 最小     | 最大     | 最小     | 最大     | 最小     | 最大     | 最小     |
| 人形峠  | 0. 092 | 0. 086 | 0. 093 | 0. 084 | 0. 095 | 0. 088 | 0. 085 | 0. 070 |
| 池河   | 0. 093 | 0. 072 | 0. 093 | 0. 083 | 0. 092 | 0. 087 | 0. 084 | 0. 046 |
| 夜次   | 0. 085 | 0. 068 | 0. 089 | 0. 081 | 0. 086 | 0. 082 | 0. 077 | 0. 046 |
| 天王   | 0. 103 | 0. 093 | 0. 104 | 0. 096 | 0. 102 | 0. 097 | 0. 096 | 0. 071 |
| 中津河  | 0. 059 | 0. 050 | 0. 061 | 0. 055 | 0. 059 | 0. 057 | 0. 055 | 0. 040 |
| 赤和瀬  | 0. 089 | 0. 080 | 0. 090 | 0. 083 | 0. 088 | 0. 084 | 0. 081 | 0. 065 |

※※平常の変動範囲

空間γ線線量率の測定結果の評価については、平成25年度まで用いていた「バックグラウンド値(昭和54年から昭和63年までの測定結果)」をやめ、平成26年度からは直近10年間の測定結果で示す「平常の変動範囲」を毎年度設定し、これを参考に行うこととした。(平成25年度第2回岡山県環境放射線等測定技術委員会決定)

なお、平成26年度の測定結果の評価に係る平常の変動範囲については、平成17年度から測定器をTLDからRPLDに変更しているため、平成16年度の測定値は除いている。

### ② 大気浮遊塵

| 試料名   | 採取地点 | 第1四半期 | 第2四半期              |                       |                       | 第3四半期         |    |
|-------|------|-------|--------------------|-----------------------|-----------------------|---------------|----|
|       |      |       | 採取年月日<br>(天候)      | 分 析 値                 |                       |               |    |
|       |      |       |                    | U-238                 | Ra-226                |               | 全β |
| 大気浮遊塵 | 人形峠  | /     | H26. 7. 23<br>(曇り) | ND<br>(0. 000±0. 001) | ND<br>(0. 000±0. 017) | ND<br>(11±23) |    |
|       | 夜次   |       | H26. 7. 23<br>(曇り) | ND<br>(0. 000±0. 001) | ND<br>(0. 019±0. 021) | ND<br>(19±23) |    |
|       | 天王   |       | H26. 7. 23<br>(晴れ) | ND<br>(0. 001±0. 001) | ND<br>(0. 019±0. 020) | ND<br>(13±23) |    |
|       | 中津河  |       | H26. 7. 23<br>(晴れ) | ND<br>(0. 000±0. 001) | ND<br>(0. 018±0. 021) | ND<br>(12±23) |    |
|       | 本村   |       | H26. 7. 23<br>(曇り) | ND<br>(0. 000±0. 001) | ND<br>(0. 020±0. 020) | ND<br>(5±23)  |    |

大気浮遊塵の管理目標値

| U-238 | Ra-226 | 全β |
|-------|--------|----|
| 1. 4  | 7. 4   | なし |

単位：μGy/h

| 第4四半期                  |                    | 平成26年度平均値 | 過去5年間の測定範囲  | 備考 |
|------------------------|--------------------|-----------|-------------|----|
| 測定期間                   | 測定値 <sup>注1)</sup> |           |             |    |
| H26.12.10～<br>H27.3.17 | 0.074              | 0.088     | 0.095～0.070 |    |
| H26.12.10～<br>H27.3.17 | 0.055              | 0.079     | 0.093～0.050 |    |
| H26.12.10～<br>H27.3.17 | 0.052              | 0.076     | 0.089～0.050 |    |
| H26.12.10～<br>H27.3.17 | 0.082              | 0.097     | 0.104～0.074 |    |
| H26.12.10～<br>H27.3.17 | 0.042              | 0.054     | 0.061～0.042 |    |
| H26.12.10～<br>H27.3.17 | 0.068              | 0.085     | 0.090～0.065 |    |

空間γ線線量率の管理目標値※：0.087μGy/h

※ 管理目標値は、事業活動に起因する放射線（能）等に適用される。  
 なお、測定結果については、環境中の自然放射線（能）等を含んだものである。（以下同じ。）

単位：U-238;10<sup>-9</sup>Bq/cm<sup>3</sup> Ra-226;10<sup>-10</sup>Bq/cm<sup>3</sup> 全β;10<sup>-10</sup>Bq/cm<sup>3</sup>

| 採取年月日<br>(天候)  | 第4四半期               |                     |               | 平成26年度平均値 |        |     | 過去5年間の測定範囲 |        |     |
|----------------|---------------------|---------------------|---------------|-----------|--------|-----|------------|--------|-----|
|                | 分 析 値               |                     |               | U-238     | Ra-226 | 全β  | U-238      | Ra-226 | 全β  |
|                | U-238               | Ra-226              | 全β            |           |        |     |            |        |     |
| H27.1.8<br>(雪) | ND<br>(0.000±0.001) | ND<br>(0.031±0.049) | ND<br>(13±23) | <0.005    | <0.3   | <90 | <0.005     | <0.3   | <90 |
| H27.1.8<br>(雪) | ND<br>(0.000±0.001) | ND<br>(0.022±0.041) | ND<br>(30±23) | <0.005    | <0.3   | <90 | <0.005     | <0.3   | <90 |
| H27.1.8<br>(雪) | ND<br>(0.001±0.001) | ND<br>(0.000±0.035) | ND<br>(18±23) | <0.005    | <0.3   | <90 | <0.005     | <0.3   | <90 |
| H27.1.8<br>(雪) | ND<br>(0.001±0.001) | ND<br>(0.002±0.039) | ND<br>(5±23)  | <0.005    | <0.3   | <90 | <0.005     | <0.3   | <90 |
| H27.1.8<br>(雪) | ND<br>(0.000±0.001) | ND<br>(0.009±0.040) | ND<br>(11±23) | <0.005    | <0.3   | <90 | <0.005     | <0.3   | <90 |

分析目標レベル

| U-238 | Ra-226 | 全β |
|-------|--------|----|
| 0.005 | 0.3    | 90 |

③ 陸水 (河川水, 放流水, 構内沢水)

| 試料名  | 地点番号  | 採取地点               | 第1四半期              |                     |                     | 第2四半期              |                    |                     | 採取年月日<br>(天候)       |                     |                     |   |
|------|-------|--------------------|--------------------|---------------------|---------------------|--------------------|--------------------|---------------------|---------------------|---------------------|---------------------|---|
|      |       |                    | 採取年月日<br>(天候)      | 分析値                 |                     |                    | 採取年月日<br>(天候)      | 分析値                 |                     |                     |                     |   |
|      |       |                    |                    | U-238               | Ra-226              | Rn-222             |                    | U-238               |                     | Ra-226              | Rn-222              |   |
| 河川水  | 1     | 池河川上流              | H26. 4. 17<br>(晴れ) | <0. 003             | ND<br>(0. 09±0. 07) | 0. 27±0. 03        | H26. 7. 28<br>(晴れ) | <0. 003             | ND<br>(0. 11±0. 07) | 0. 23±0. 03         | H26. 10. 20<br>(曇り) |   |
|      | 4     | 夜次沈殿池<br>(4号)      | H26. 4. 17<br>(晴れ) | <0. 003             | ND<br>(0. 25±0. 11) | 3. 46±0. 10        | H26. 7. 28<br>(晴れ) | <0. 003             | 0. 28±0. 09         | 8. 38±0. 16         | H26. 10. 20<br>(曇り) |   |
|      | 8     | 池河川中流              | H26. 4. 17<br>(晴れ) | <0. 003             | ND<br>(0. 25±0. 09) | 1. 86±0. 07        | H26. 7. 28<br>(晴れ) | 0. 008              | 0. 32±0. 09         | 0. 55±0. 04         | H26. 10. 20<br>(曇り) |   |
|      | 9     | 天王用水<br>取入口        | H26. 4. 17<br>(晴れ) | <0. 003             | ND<br>(0. 10±0. 07) | 0. 20±0. 02        | H26. 7. 28<br>(晴れ) | <0. 003             | ND<br>(0. 13±0. 07) | 5. 16±0. 12         | H26. 10. 20<br>(曇り) |   |
|      | 10    | 十二川下流              | H26. 4. 17<br>(晴れ) | <0. 003             | ND<br>(0. 20±0. 08) | 1. 38±0. 06        | H26. 7. 28<br>(晴れ) | <0. 003             | ND<br>(0. 15±0. 07) | 1. 17±0. 06         | H26. 10. 20<br>(曇り) |   |
|      | 12    | 赤和瀬川<br>下流         | H26. 4. 17<br>(晴れ) | <0. 003             | ND<br>(0. 15±0. 08) | 0. 18±0. 02        | H26. 7. 29<br>(晴れ) | <0. 003             | ND<br>(0. 04±0. 06) | 0. 56±0. 04         | H26. 10. 20<br>(曇り) |   |
|      | 13    | 中津河川下流<br>(平作原)    | H26. 4. 17<br>(晴れ) | <0. 003             | ND<br>(0. 13±0. 08) | 0. 06±0. 01        | H26. 7. 29<br>(晴れ) | <0. 003             | ND<br>(0. 14±0. 07) | 0. 15±0. 02         | H26. 10. 20<br>(曇り) |   |
|      | 15    | 石越                 | H26. 4. 17<br>(晴れ) | <0. 003             | ND<br>(0. 12±0. 07) | 0. 22±0. 03        | H26. 7. 28<br>(晴れ) | <0. 003             | ND<br>(0. 13±0. 07) | 0. 93±0. 05         | H26. 10. 20<br>(曇り) |   |
|      | 17    | 本村                 | H26. 4. 17<br>(晴れ) | <0. 003             | ND<br>(0. 14±0. 08) | 0. 38±0. 03        | H26. 7. 28<br>(晴れ) | <0. 003             | ND<br>(0. 08±0. 06) | 2. 01±0. 08         | H26. 10. 20<br>(曇り) |   |
|      | 19    | 奥津                 | H26. 4. 17<br>(晴れ) | <0. 003             | ND<br>(0. 07±0. 07) | 0. 45±0. 04        | H26. 7. 28<br>(晴れ) | <0. 003             | ND<br>(0. 08±0. 06) | 0. 89±0. 05         | H26. 10. 20<br>(曇り) |   |
|      | 21    | 津山                 | /                  |                     |                     |                    |                    | H26. 7. 29<br>(晴れ)  | <0. 003             | ND<br>(0. 10±0. 07) | 0. 12±0. 02         | / |
|      | 24    | 西大寺                |                    |                     |                     |                    |                    | H26. 7. 29<br>(晴れ)  | <0. 003             | ND<br>(0. 04±0. 06) | 0. 05±0. 01         |   |
| 25   | 十二川上流 | H26. 4. 17<br>(晴れ) | <0. 003            | ND<br>(0. 19±0. 08) | 1. 31±0. 06         | H26. 7. 28<br>(晴れ) | <0. 003            | ND<br>(0. 14±0. 07) | 1. 52±0. 07         | H26. 10. 20<br>(曇り) |                     |   |
| 放流水  | 6     | 排水口                | H26. 4. 17<br>(晴れ) | 0. 017              | 0. 53±0. 11         | 55. 52±0. 40       | H26. 7. 28<br>(晴れ) | 0. 015              | 0. 59±0. 12         | 14. 69±0. 21        | H26. 10. 20<br>(曇り) |   |
| 構内沢水 | 3     | 旧診療所横              | H26. 4. 17<br>(晴れ) | <0. 003             | ND<br>(0. 17±0. 08) | 3. 01±0. 09        | H26. 7. 28<br>(晴れ) | <0. 003             | ND<br>(0. 18±0. 08) | 1. 30±0. 06         | H26. 10. 20<br>(曇り) |   |

河川水の管理目標値

| U-238 | Ra-226 | Rn-222 |
|-------|--------|--------|
| 1. 1  | 3. 7   | なし     |

放流水、構内沢水の管理目標値：なし

単位：U-238; 10<sup>-3</sup>Bq/cm<sup>3</sup> Ra-226; 10<sup>-5</sup>Bq/cm<sup>3</sup> Rn-222; Bq/L

| 第3四半期  |                   |            | 第4四半期            |        |                   | 平成26年度平均値  |           |        | 過去5年間の測定範囲 |                      |                   | 備考                 |        |
|--------|-------------------|------------|------------------|--------|-------------------|------------|-----------|--------|------------|----------------------|-------------------|--------------------|--------|
| 分析値    |                   |            | 採取年月日<br>(天候)    | 分析値    |                   |            | 平成26年度平均値 |        |            | 過去5年間の測定範囲           |                   |                    |        |
| U-238  | Ra-226            | Rn-222     |                  | U-238  | Ra-226            | Rn-222     | U-238     | Ra-226 | Rn-222     | U-238                | Ra-226            |                    | Rn-222 |
| <0.003 | ND<br>(0.10±0.07) | 0.26±0.03  | H27.1.26<br>(雨)  | <0.003 | ND<br>(0.04±0.06) | 0.05±0.01  | <0.003    | <0.7   | 0.20       | <0.003               | <0.7              | 0.54<br>~<br>0.06  |        |
| <0.003 | ND<br>(0.12±0.07) | 5.25±0.12  | H27.1.27<br>(雨)  | <0.003 | ND<br>(0.15±0.08) | 4.40±0.11  | <0.003    | <0.60  | 5.37       | 0.006<br>~<br><0.003 | 0.33<br>~<br><0.7 | 8.67<br>~<br>2.45  |        |
| <0.003 | ND<br>(0.26±0.09) | 1.38±0.06  | H27.1.26<br>(雨)  | 0.005  | ND<br>(0.21±0.08) | 1.01±0.05  | <0.005    | <0.61  | 1.20       | 0.015<br>~<br><0.003 | 0.41<br>~<br><0.7 | 2.56<br>~<br>0.33  |        |
| <0.003 | ND<br>(0.12±0.07) | 0.47±0.04  | H27.1.26<br>(雨)  | <0.003 | ND<br>(0.05±0.06) | 0.34±0.03  | <0.003    | <0.7   | 1.54       | 0.004<br>~<br><0.003 | <0.7              | 9.93<br>~<br>0.09  |        |
| <0.003 | ND<br>(0.21±0.09) | 1.06±0.06  | H27.1.27<br>(曇り) | <0.003 | ND<br>(0.15±0.08) | 1.13±0.05  | <0.003    | <0.7   | 1.19       | <0.003               | <0.7              | 2.32<br>~<br>1.00  |        |
| <0.003 | ND<br>(0.08±0.07) | 0.31±0.03  | H27.1.26<br>(雨)  | <0.003 | ND<br>(0.05±0.06) | 0.40±0.03  | <0.003    | <0.7   | 0.36       | <0.003               | <0.7              | 0.69<br>~<br>0.13  |        |
| <0.003 | ND<br>(0.04±0.06) | 0.12±0.02  | H27.1.26<br>(雨)  | <0.003 | ND<br>(0.02±0.06) | 0.22±0.03  | <0.003    | <0.7   | 0.14       | <0.003               | <0.7              | 0.35<br>~<br><0.2  |        |
| <0.003 | ND<br>(0.02±0.06) | 0.49±0.04  | H27.1.26<br>(曇り) | <0.003 | ND<br>(0.00±0.06) | 0.31±0.03  | <0.003    | <0.7   | 0.49       | <0.003               | <0.7              | 1.18<br>~<br>0.10  |        |
| <0.003 | ND<br>(0.10±0.07) | 0.68±0.05  | H27.1.26<br>(曇り) | <0.003 | ND<br>(0.03±0.06) | 1.18±0.06  | <0.003    | <0.7   | 1.06       | <0.003               | <0.7              | 3.23<br>~<br>0.29  |        |
| <0.003 | ND<br>(0.07±0.07) | 0.68±0.05  | H27.1.26<br>(雨)  | <0.003 | ND<br>(0.04±0.06) | 1.10±0.06  | <0.003    | <0.7   | 0.78       | <0.003               | <0.7              | 1.37<br>~<br>0.04  |        |
| /      |                   |            | /                |        |                   | <0.003     | <0.7      | 0.12   | <0.003     | <0.7                 | 0.54<br>~<br>0.22 |                    |        |
|        |                   |            |                  |        |                   | <0.003     | <0.7      | 0.05   | <0.003     | <0.7                 | 0.44<br>~<br>0.07 |                    |        |
| <0.003 | ND<br>(0.14±0.07) | 1.15±0.06  | H27.1.27<br>(雨)  | <0.003 | ND<br>(0.19±0.08) | 1.11±0.05  | <0.003    | <0.7   | 1.27       | 0.004<br>~<br><0.003 | <0.7              | 2.21<br>~<br>0.97  |        |
| 0.008  | 0.46±0.13         | 29.75±0.30 | H27.1.26<br>(雨)  | 0.015  | 0.45±0.12         | 11.17±0.18 | 0.014     | 0.51   | 27.78      | 0.035<br>~<br>0.004  | 0.96<br>~<br><0.7 | 32.89<br>~<br>2.06 |        |
| <0.003 | ND<br>(0.20±0.08) | 2.18±0.08  | H27.1.26<br>(雨)  | <0.003 | 0.32±0.10         | 2.75±0.09  | <0.003    | <0.61  | 2.31       | <0.003               | 0.45<br>~<br><0.7 | 3.73<br>~<br>0.67  |        |

分析目標レベル

| U-238 | Ra-226 | Rn-222 |
|-------|--------|--------|
| 0.003 | 0.7    | 0.2    |

③ 陸水 (飲料水)

| 試料名 | 採取地点 | 第1四半期              |         |                     | 第2四半期       |                    |         | 第3                  |             |                     |         |
|-----|------|--------------------|---------|---------------------|-------------|--------------------|---------|---------------------|-------------|---------------------|---------|
|     |      | 採取年月日<br>(天候)      | 分 析 値   |                     |             | 採取年月日<br>(天候)      | 分 析 値   |                     |             | 採取年月日<br>(天候)       |         |
|     |      |                    | U-238   | Ra-226              | Rn-222      |                    | U-238   | Ra-226              | Rn-222      |                     | U-238   |
| 飲料水 | 天王   | H26. 4. 17<br>(晴れ) | <0. 003 | ND<br>(0. 06±0. 06) | 0. 04±0. 01 | H26. 7. 28<br>(晴れ) | <0. 003 | ND<br>(0. 05±0. 06) | 0. 13±0. 02 | H26. 10. 20<br>(曇り) | <0. 003 |
|     | 赤和瀬  | H26. 4. 18<br>(曇り) | <0. 003 | ND<br>(0. 04±0. 06) | 0. 08±0. 02 | H26. 7. 28<br>(晴れ) | <0. 003 | ND<br>(0. 03±0. 05) | 0. 05±0. 01 | H26. 10. 21<br>(曇り) | <0. 003 |
|     | 中津河  | H26. 4. 17<br>(晴れ) | <0. 003 | ND<br>(0. 07±0. 07) | 0. 06±0. 02 | H26. 7. 28<br>(晴れ) | <0. 003 | ND<br>(0. 06±0. 06) | 0. 07±0. 02 | H26. 10. 20<br>(曇り) | <0. 003 |
|     | ※ 本村 | H26. 4. 18<br>(曇り) | <0. 003 | ND<br>(0. 08±0. 07) | 0. 04±0. 01 | H26. 7. 29<br>(晴れ) | <0. 003 | ND<br>(0. 05±0. 06) | 0. 17±0. 02 | H26. 10. 21<br>(曇り) | <0. 003 |

Rnについての温泉法による療養泉の基準値

111Bq/L以上

飲料水の管理目標値：なし

” 鈾 泉の基準値

74Bq/L以上

※ 町営水道 水源は河川水

④ 河底土・土壌

| 試料名   | 採取地点  | 第1四半期              |               |               |           | 第2四半期         |       |        |   |  |  |                    |               |               |
|-------|-------|--------------------|---------------|---------------|-----------|---------------|-------|--------|---|--|--|--------------------|---------------|---------------|
|       |       | 採取年月日<br>(天候)      | 分 析 値         |               |           | 採取年月日<br>(天候) | 分 析 値 |        |   |  |  |                    |               |               |
|       |       |                    | U-238         | Ra-226        | 全β        |               | U-238 | Ra-226 |   |  |  |                    |               |               |
| 河底土   | 池河川上流 | H26. 4. 17<br>(晴れ) | 0. 007±0. 001 | 0. 045±0. 003 | 1. 2±0. 2 | /             |       |        |   |  |  |                    |               |               |
|       | 池河川中流 | H26. 4. 17<br>(晴れ) | 0. 021±0. 001 | 0. 083±0. 004 | 1. 0±0. 2 |               |       |        |   |  |  |                    |               |               |
|       | 天王    | H26. 4. 17<br>(晴れ) | 0. 020±0. 001 | 0. 040±0. 003 | 0. 9±0. 2 |               |       |        |   |  |  |                    |               |               |
|       | 石越    | H26. 4. 17<br>(晴れ) | 0. 009±0. 001 | 0. 043±0. 003 | 1. 1±0. 2 |               |       |        |   |  |  |                    |               |               |
|       | 本村    | H26. 4. 17<br>(晴れ) | 0. 015±0. 001 | 0. 026±0. 002 | 1. 1±0. 2 |               |       |        |   |  |  |                    |               |               |
| 土 水田土 | 天王    | H26. 4. 18<br>(曇り) | 0. 056±0. 004 | 0. 065±0. 004 | 1. 0±0. 2 |               |       |        | / |  |  |                    |               |               |
|       | 赤和瀬   | H26. 4. 18<br>(曇り) | 0. 034±0. 002 | 0. 052±0. 003 | 1. 1±0. 2 |               |       |        |   |  |  |                    |               |               |
| 畑 土   | 天王    | H26. 6. 25<br>(晴れ) | 0. 031±0. 002 | 0. 037±0. 003 | 0. 9±0. 2 |               |       |        |   |  |  | H26. 9. 24<br>(曇り) | 0. 042±0. 003 | 0. 056±0. 004 |
|       | 赤和瀬   | H26. 6. 25<br>(晴れ) | 0. 027±0. 002 | 0. 035±0. 003 | 1. 0±0. 2 |               |       |        |   |  |  | H26. 9. 24<br>(曇り) | 0. 023±0. 002 | 0. 039±0. 003 |
| 未耕土   | 人形峠西部 | H26. 6. 5<br>(雨)   | 0. 018±0. 001 | 0. 044±0. 003 | 0. 9±0. 2 |               |       |        |   |  |  | /                  |               |               |
|       | 人形峠南部 | H26. 6. 5<br>(雨)   | 0. 066±0. 004 | 0. 116±0. 005 | 1. 6±0. 3 |               |       |        |   |  |  |                    |               |               |
|       | 夜次    | H26. 6. 5<br>(雨)   | 0. 070±0. 005 | 0. 108±0. 005 | 0. 9±0. 2 |               |       |        |   |  |  |                    |               |               |

河底土の管理目標値

|       |        |    |
|-------|--------|----|
| U-238 | Ra-226 | 全β |
| 1. 8  | 1. 8   | なし |

畑土、水田土の管理目標値

|       |        |    |
|-------|--------|----|
| U-238 | Ra-226 | 全β |
| 1. 8  | 0. 74  | なし |

未耕土の管理目標値：なし

単位：U-238; 10<sup>-3</sup>Bq/cm<sup>3</sup> Ra-226; 10<sup>-5</sup>Bq/cm<sup>3</sup> Rn-222; Bq/L

| 四半期               |           | 第4四半期              |        |                   |           | 平成26年度平均値 |        |        | 過去5年間の測定範囲           |        |                   | 備考 |
|-------------------|-----------|--------------------|--------|-------------------|-----------|-----------|--------|--------|----------------------|--------|-------------------|----|
| 分析値               |           | 採取年月日<br>(天候)      | 分析値    |                   |           | U-238     | Ra-226 | Rn-222 | U-238                | Ra-226 | Rn-222            |    |
| Ra-226            | Rn-222    |                    | U-238  | Ra-226            | Rn-222    |           |        |        |                      |        |                   |    |
| ND<br>(0.02±0.06) | 0.07±0.01 | H27. 1. 26<br>(雨)  | <0.003 | ND<br>(0.01±0.06) | 0.39±0.04 | <0.003    | <0.7   | 0.16   | 0.004<br>~<br><0.003 | <0.7   | 2.23<br>~<br>0.06 |    |
| ND<br>(0.02±0.06) | 0.04±0.01 | H27. 1. 27<br>(曇り) | <0.003 | ND<br>(0.00±0.05) | 0.14±0.02 | <0.003    | <0.7   | 0.08   | <0.003               | <0.7   | 2.75<br>~<br>0.03 |    |
| ND<br>(0.03±0.06) | 0.76±0.05 | H27. 1. 26<br>(雨)  | <0.003 | ND<br>(0.04±0.06) | 0.10±0.02 | <0.003    | <0.7   | 0.25   | <0.003               | <0.7   | 0.96<br>~<br><0.2 |    |
| ND<br>(0.06±0.06) | 0.09±0.02 | H27. 1. 27<br>(曇り) | <0.003 | ND<br>(0.00±0.06) | 0.07±0.01 | <0.003    | <0.7   | 0.09   | <0.003               | <0.7   | 1.10<br>~<br>0.03 |    |

分析目標レベル

| U-238 | Ra-226 | Rn-222 |
|-------|--------|--------|
| 0.003 | 0.7    | 0.2    |

単位：Bq/g乾

| 全β      | 採取年月日<br>(天候)       | 第3四半期       |             |         | 第4四半期 | 平成26年度平均値 |        |                     | 過去5年間の測定範囲          |                 |                     |                     |                 |
|---------|---------------------|-------------|-------------|---------|-------|-----------|--------|---------------------|---------------------|-----------------|---------------------|---------------------|-----------------|
|         |                     | U-238       | Ra-226      | 全β      |       | U-238     | Ra-226 | 全β                  | U-238               | Ra-226          | 全β                  |                     |                 |
| 0.9±0.2 | H26. 10. 20<br>(曇り) | 0.009±0.001 | 0.045±0.003 | 1.2±0.2 | 0.008 | 0.045     | 1.2    | 0.011<br>~<br>0.006 | 0.060<br>~<br>0.036 | 1.3<br>~<br>1.2 |                     |                     |                 |
|         | H26. 10. 20<br>(曇り) | 0.018±0.001 | 0.078±0.004 | 0.9±0.2 |       |           |        | 0.020               | 0.081               | 1.0             | 0.030<br>~<br>0.011 | 0.117<br>~<br>0.048 | 1.1<br>~<br>0.9 |
|         | H26. 10. 20<br>(曇り) | 0.022±0.002 | 0.043±0.003 | 1.1±0.2 |       |           |        | 0.021               | 0.042               | 1.0             | 0.033<br>~<br>0.011 | 0.071<br>~<br>0.039 | 1.1<br>~<br>0.9 |
|         | H26. 10. 20<br>(曇り) | 0.012±0.001 | 0.053±0.004 | 0.9±0.2 |       |           |        | 0.011               | 0.048               | 1.0             | 0.013<br>~<br>0.009 | 0.047<br>~<br>0.025 | 1.1<br>~<br>0.9 |
|         | H26. 10. 20<br>(曇り) | 0.013±0.001 | 0.032±0.003 | 0.9±0.2 |       |           |        | 0.014               | 0.029               | 1.0             | 0.018<br>~<br>0.010 | 0.044<br>~<br>0.027 | 1.2<br>~<br>1.0 |
|         | H26. 10. 21<br>(曇り) | 0.061±0.004 | 0.070±0.004 | 1.1±0.2 |       |           |        | 0.059               | 0.068               | 1.1             | 0.064<br>~<br>0.040 | 0.079<br>~<br>0.049 | 1.1<br>~<br>1.0 |
|         | H26. 10. 21<br>(曇り) | 0.037±0.003 | 0.051±0.004 | 1.1±0.2 |       |           |        | 0.036               | 0.052               | 1.1             | 0.039<br>~<br>0.025 | 0.055<br>~<br>0.034 | 1.2<br>~<br>1.0 |
| 1.0±0.2 |                     |             |             |         | 0.037 | 0.047     | 0.9    | 0.052<br>~<br>0.029 | 0.065<br>~<br>0.043 | 1.0<br>~<br>0.8 |                     |                     |                 |
| 0.9±0.2 | H26. 11. 10<br>(曇り) | 0.019±0.001 | 0.046±0.004 | 1.0±0.2 | 0.019 | 0.045     | 1.0    | 0.028<br>~<br>0.017 | 0.052<br>~<br>0.035 | 0.9<br>~<br>0.8 |                     |                     |                 |
|         | H26. 11. 10<br>(曇り) | 0.061±0.004 | 0.136±0.006 | 1.6±0.3 |       |           |        | 0.064               | 0.126               | 1.6             | 0.067<br>~<br>0.034 | 0.133<br>~<br>0.073 | 1.6<br>~<br>1.1 |
|         | H26. 11. 10<br>(曇り) | 0.070±0.005 | 0.112±0.006 | 0.9±0.2 |       |           |        | 0.070               | 0.110               | 0.9             | 0.077<br>~<br>0.054 | 0.142<br>~<br>0.082 | 0.9<br>~<br>0.7 |

分析目標レベル

| U-238 | Ra-226 | 全β  |
|-------|--------|-----|
| 0.001 | 0.007  | 0.2 |

⑤ 生物質

| 採 取 地 点    | 試 料 名          | 第 1 四 半 期                   |                    |                       | 第 2           |       |
|------------|----------------|-----------------------------|--------------------|-----------------------|---------------|-------|
|            |                | 採取年月日<br>(天候)               | 分 析 値              |                       | 採取年月日<br>(天候) | 分     |
|            |                |                             | U-238              | Ra-226                |               | U-238 |
| 天 王        | 精 米            |                             |                    |                       |               |       |
| 赤 和 瀬      |                |                             |                    |                       |               |       |
| 天 王        | 野 菜            | ホウレン草<br>H26. 6. 30<br>(晴れ) | 0. 006±0. 001      | ND<br>(0. 02±0. 02)   |               |       |
| 赤 和 瀬      |                | ホウレン草<br>H26. 6. 30<br>(晴れ) | 0. 004±0. 001      | ND<br>(0. 00±0. 01)   |               |       |
| 津山以北       | 淡 水 魚<br>ウ グ イ | 採                           |                    |                       |               |       |
| 人形峠<br>西 部 | 樹 葉            | ス ギ                         | H26. 6. 26<br>(晴れ) | 0. 017±0. 002         | 0. 39±0. 05   |       |
| 人形峠<br>南 部 |                | マ ツ                         | H26. 6. 26<br>(晴れ) | 0. 033±0. 003         | 0. 61±0. 04   |       |
| 夜 次        |                | ス ギ                         | H26. 6. 26<br>(晴れ) | 0. 011±0. 002         | 1. 53±0. 09   |       |
| 恩 原        |                | 牧 草                         | H26. 6. 26<br>(晴れ) | ND<br>(0. 002±0. 001) | 0. 10±0. 03   |       |

生物質の管理目標値：なし

単位：Bq/kg生

| 試 料 名   |       | 平成26年度平均値 |        | 過去5年間の測定範囲     |             |
|---------|-------|-----------|--------|----------------|-------------|
|         |       | U-238     | Ra-226 | U-238          | Ra-226      |
| 精 米     |       | <0. 007   | <0. 2  | <0. 007        | <0. 2       |
| 野 菜     | ホウレン草 | 0. 005    | <0. 2  | 0. 055～0. 004  | <0. 2       |
|         | ハクサイ  | <0. 005   | <0. 1  | 0. 008～<0. 005 | 0. 07～<0. 1 |
| 淡水魚ウグイ※ |       |           |        | 0. 012         | 0. 03       |
| 樹 葉     | ス ギ   | 0. 013    | 0. 86  | 0. 025～0. 006  | 1. 58～0. 25 |
|         | マ ツ   | 0. 039    | 0. 64  | 0. 053～0. 019  | 1. 38～0. 38 |
| 牧 草     |       | <0. 009   | 0. 13  | 0. 014～<0. 009 | 0. 20～0. 07 |

※平成22年度以降ウグイが採取できていないため、過去5年間の測定範囲は平成21年度分のみでの測定結果である。

単位：Bq/kg生

| 四半期    | 試料名  | 第3四半期               |                       |                     | 第4四半期  | 備考 |
|--------|------|---------------------|-----------------------|---------------------|--------|----|
| 析 値    |      | 採取年月日<br>(天候)       | 分 析 値                 |                     |        |    |
| Ra-226 |      |                     |                       | U-238               | Ra-226 |    |
| /      | 精 米  | H26. 11. 11<br>(晴れ) | ND<br>(0. 000±0. 000) | ND<br>(0. 01±0. 01) | /      |    |
|        |      | H26. 11. 11<br>(晴れ) | ND<br>(0. 000±0. 000) | ND<br>(0. 03±0. 02) |        |    |
| /      | ハクサイ | H26. 10. 22<br>(雨)  | ND<br>(0. 000±0. 000) | ND<br>(0. 00±0. 01) | /      |    |
|        | ハクサイ | H26. 10. 22<br>(雨)  | ND<br>(0. 001±0. 001) | ND<br>(0. 01±0. 01) |        |    |
| 取 不 能  |      |                     |                       |                     |        |    |
| /      | ス ギ  | H26. 11. 9<br>(雨)   | 0. 013±0. 002         | 0. 27±0. 06         | /      |    |
|        | マ ツ  | H26. 11. 9<br>(雨)   | 0. 044±0. 004         | 0. 67±0. 07         |        |    |
|        | ス ギ  | H26. 11. 9<br>(雨)   | 0. 010±0. 002         | 1. 26±0. 13         |        |    |
|        | 牧 草  | H26. 10. 15<br>(曇り) | ND<br>(0. 003±0. 002) | 0. 16±0. 05         |        |    |

| 分析目標レベル |        |        |
|---------|--------|--------|
| 試料名     | U-238  | Ra-226 |
| 精 米     | 0. 007 | 0. 2   |
| ホウレン草   | 0. 009 | 0. 2   |
| ハクサイ    | 0. 005 | 0. 1   |
| ウ ギ     | 0. 006 | 0. 2   |
| ス ギ     | 0. 008 | 0. 2   |
| マ ツ     | 0. 005 | 0. 1   |
| 牧 草     | 0. 009 | 0. 2   |

B. ふっ素

① 陸水

| 試料名 | 採取番号 | 採取地点          | 第1四半期              |        | 第2四半期              |        | 第3四半期               |        |
|-----|------|---------------|--------------------|--------|--------------------|--------|---------------------|--------|
|     |      |               | 採取年月日<br>(天候)      | 分析値    | 採取年月日<br>(天候)      | 分析値    | 採取年月日<br>(天候)       | 分析値    |
| 河川水 | 4    | 夜次沈殿池<br>(4号) | /                  | /      | /                  | /      | H26. 10. 20<br>(曇り) | <0. 05 |
|     | 8    | 池河川中流         |                    |        |                    |        | H26. 10. 20<br>(曇り) | <0. 05 |
|     | 9    | 天王用水<br>取入口   |                    |        |                    |        | H26. 10. 20<br>(曇り) | <0. 05 |
|     | 15   | 石越            |                    |        |                    |        | H26. 10. 20<br>(曇り) | <0. 05 |
| 放流水 | 6    | 排水口           |                    |        |                    |        | H26. 10. 20<br>(曇り) | <0. 05 |
| 飲料水 | 天王   |               | H26. 4. 17<br>(晴れ) | <0. 15 | H26. 7. 28<br>(晴れ) | <0. 15 | H26. 10. 20<br>(曇り) | <0. 15 |
|     | 赤和瀬  |               | H26. 4. 18<br>(曇り) | <0. 15 | H26. 7. 28<br>(晴れ) | <0. 15 | H26. 10. 21<br>(曇り) | <0. 15 |
|     | 中津河  |               | H26. 4. 17<br>(晴れ) | <0. 15 | H26. 7. 28<br>(晴れ) | <0. 15 | H26. 10. 20<br>(曇り) | <0. 15 |
|     | 本村   |               | H26. 4. 18<br>(曇り) | <0. 15 | H26. 7. 29<br>(晴れ) | <0. 15 | H26. 10. 21<br>(曇り) | <0. 15 |

放流水の管理目標値: なし  
 河川水の管理目標値: 0. 5mg/L  
 飲料水の管理目標値: なし  
 水道水法令値 : 0. 8mg/L (水道法)

単位：mg/L

| 第4四半期              |       | 平成26年度平均値 | 過去5年間の測定範囲 | 備考 |
|--------------------|-------|-----------|------------|----|
| 採取年月日<br>(天候)      | 分析値   |           |            |    |
| /                  |       | <0.05     | <0.05      |    |
|                    |       | <0.05     | <0.05      |    |
|                    |       | <0.05     | <0.05      |    |
|                    |       | <0.05     | <0.05      |    |
|                    |       | <0.05     | 0.06~<0.05 |    |
| H27. 1. 26<br>(雨)  | <0.15 | <0.15     | <0.15      |    |
| H27. 1. 27<br>(曇り) | <0.15 | <0.15     | <0.15      |    |
| H27. 1. 26<br>(雨)  | <0.15 | <0.15     | <0.15      |    |
| H27. 1. 27<br>(曇り) | <0.15 | <0.15     | <0.15      |    |

② 河底土・土壌

| 試料名 |       | 採取地点 | 第1四半期 | 第2四半期         |     |   |   |   |   |   |                    |     |   |   |
|-----|-------|------|-------|---------------|-----|---|---|---|---|---|--------------------|-----|---|---|
|     |       |      | /     | 採取年月日<br>(天候) | 分析値 |   |   |   |   |   |                    |     |   |   |
| 河底土 | 池河川中流 | /    |       | /             | /   | / |   |   |   |   |                    |     |   |   |
|     | 天王    |      |       |               |     |   |   |   |   |   |                    |     |   |   |
|     | 石越    |      |       |               |     |   |   |   |   |   |                    |     |   |   |
| 水田土 | 天王    |      |       |               |     |   | / | / | / | / |                    |     |   |   |
|     | 赤和瀬   |      |       |               |     |   |   |   |   |   |                    |     |   |   |
| 畑土  | 天王    |      |       |               |     |   |   |   |   |   | H26. 9. 24<br>(曇り) | 570 |   |   |
|     | 赤和瀬   |      |       |               |     |   |   |   |   |   | H26. 9. 24<br>(曇り) | 320 |   |   |
| 未耕土 | 人形峠西部 |      |       |               |     |   |   |   |   |   | /                  | /   | / | / |
|     | 人形峠南部 |      |       |               |     |   |   |   |   |   |                    |     |   |   |
|     | 夜次    |      |       |               |     |   |   |   |   |   |                    |     |   |   |

河底土、水田土、畑土、未耕土の管理目標値：なし

単位：mg/kg乾

| 第3四半期               |     | 第4四半期 | 平成26年度平均値 | 過去5年間の測定範囲 |
|---------------------|-----|-------|-----------|------------|
| 採取年月日<br>(天候)       | 分析値 |       |           |            |
| H26. 10. 20<br>(曇り) | 140 |       | 140       | 170~140    |
| H26. 10. 20<br>(曇り) | 140 |       | 140       | 170~130    |
| H26. 10. 20<br>(曇り) | 190 |       | 190       | 180~150    |
| H26. 10. 21<br>(曇り) | 250 |       | 250       | 340~310    |
| H26. 10. 21<br>(曇り) | 280 |       | 280       | 340~300    |
|                     |     |       | 570       | 730~440    |
|                     |     |       | 320       | 360~260    |
| H26. 11. 10<br>(曇り) | 57  |       | 57        | 75~56      |
| H26. 11. 10<br>(曇り) | 120 |       | 120       | 310~120    |
| H26. 11. 10<br>(曇り) | 180 |       | 180       | 250~180    |

③ 生物質

| 採取地点      | 試料名    | 第1四半期         |                    |      |       | 第2            |        |
|-----------|--------|---------------|--------------------|------|-------|---------------|--------|
|           |        | 採取年月日<br>(天候) | 分 析 値              |      |       | 採取年月日<br>(天候) | 分<br>乾 |
|           |        |               | 乾                  | 生    | 水分%   |               |        |
| 天 王       | 精 米    |               |                    |      |       |               |        |
| 赤 和 瀬     |        |               |                    |      |       |               |        |
| 天 王       | 野 菜    | ホウレン草         | H26. 6. 30<br>(晴れ) | 1. 6 | <0. 3 | 93. 6         |        |
| 赤 和 瀬     |        | ホウレン草         | H26. 6. 30<br>(晴れ) | 2. 6 | <0. 3 | 93. 4         |        |
| 津山以北      | 淡水魚ウグイ | 採             |                    |      |       |               |        |
| 人形峠部<br>西 | 樹 葉    | スギ            | H26. 6. 26<br>(晴れ) | 2. 1 | 1. 0  | 51. 8         |        |
| 人形峠部<br>南 |        | マツ            | H26. 6. 26<br>(晴れ) | 1. 0 | 0. 5  | 55. 4         |        |
| 夜 次       |        | スギ            | H26. 6. 26<br>(晴れ) | 2. 2 | 1. 0  | 53. 5         |        |
| 恩 原       | 牧 草    |               |                    |      |       |               |        |
|           |        |               |                    |      |       |               |        |

生物質の管理目標値：なし

単位：mg/kg(乾)

| 試料名     | 平成26年度平均値(乾) | 過去5年間の測定範囲 |
|---------|--------------|------------|
| 精 米     | <0. 3        | <0. 3      |
| 野 菜     | ホウレン草        | 5. 8~1. 8  |
|         | ハクサイ         | 3. 8~0. 3  |
| 淡水魚ウグイ※ |              | <0. 3      |
| 樹 木     | スギ           | 2. 4~1. 3  |
|         | マツ           | 1. 7~0. 4  |
| 牧 草     | 0. 8         | 0. 7~0. 4  |

※平成22年度以降ウグイが採取できていないため、過去5年間の測定範囲は平成21年度分のみでの測定結果である。

単位：mg/kg

| 四半期   |     | 試料名  | 第3四半期               |       |       | 第4四半期 | 備考 |     |
|-------|-----|------|---------------------|-------|-------|-------|----|-----|
| 析 値   |     |      | 採取年月日<br>(天候)       | 分 析 値 |       |       |    |     |
| 生     | 水分% |      |                     | 乾     | 生     |       |    | 水分% |
| /     |     | 精 米  | H26. 11. 11<br>(晴れ) | <0. 3 | <0. 3 | 14. 9 |    |     |
|       |     |      | H26. 11. 11<br>(晴れ) | <0. 3 | <0. 3 | 13. 8 |    |     |
|       |     | ハクサイ | H26. 10. 22<br>(雨)  | 1. 0  | <0. 3 | 96. 5 |    |     |
|       |     | ハクサイ | H26. 10. 22<br>(雨)  | 0. 9  | <0. 3 | 96. 1 |    |     |
| 取 不 能 |     |      |                     |       |       |       |    |     |
| /     |     | ス ギ  | H26. 11. 9<br>(雨)   | 2. 3  | 0. 9  | 60. 9 |    |     |
|       |     | マ ツ  | H26. 11. 9<br>(雨)   | 1. 3  | 0. 5  | 62. 5 |    |     |
|       |     | ス ギ  | H26. 11. 9<br>(雨)   | 1. 9  | 0. 7  | 61. 5 |    |     |
|       |     | 牧 草  | H26. 10. 15<br>(曇り) | 0. 8  | <0. 3 | 79. 0 |    |     |

### 3. 各種試料中の放射能濃度の参考値

| 測定対象   | 測定項目          | 測定値                                             | 引用文献                                                                                                             |
|--------|---------------|-------------------------------------------------|------------------------------------------------------------------------------------------------------------------|
| 空間積算線量 | $\gamma$ 線線量率 | 0.055~0.111<br>$\mu\text{Gy/h}$                 | 中島敏行他, 保健物理, 9, 219 (1974)                                                                                       |
| 大気浮遊塵  | U-238         | $0.003 \times 10^{-9}$<br>$\text{Bq/cm}^3$      | 放射線医学総合研究所監訳“放射線の線源と影響(1977年国連科学委員会報告書)” p. 85 (1980), アイ・エス・ユー(株), 東京                                           |
|        |               | 0.0013~0.0174<br>$\times 10^{-9}\text{Bq/cm}^3$ | P. McEachern, W. G. Myers and F. A. White, Environ. Sci. Technol, 5, 700 (1971)                                  |
|        | Ra-226        | 0.03~0.44<br>$\times 10^{-10}\text{Bq/cm}^3$    | H. Schuttelkopf and H. Kiffer, “Environmental Migration of Long-Lived Radionuclides” p. 345 (1982), IAEA. Vienna |
| 河川水    | U-238         | 0.0004~0.015<br>$\times 10^{-3}\text{Bq/cm}^3$  | Y. Miyake et al., “The Natural Radiation Environment” (1964) p. 219 (1964), Univ. Chicago Press, Chicago         |
|        | Ra-226        | 0.15~0.52<br>$\times 10^{-5}\text{Bq/cm}^3$     |                                                                                                                  |
| 飲料水    | U-238         | $0.004 \times 10^{-3}$<br>$\text{Bq/cm}^3$      | L. P. Geraldo et al., J. of Radioanalytical Chemistry, 49 (1) 115 (1979)                                         |
|        | Ra-226        | 0.07~5.9<br>$\times 10^{-5}\text{Bq/cm}^3$      | H. Schuttelkopf and H. Kiffer, “Environmental Migration of Long-Lived Radionuclides” p. 345 (1982), IAEA. Vienna |
| 河底土    | U-238         | 0.01~0.16<br>$\text{Bq/g乾}$                     | P. Stegnar and I. Kobal, “Environmental Migration of Long-Lived Radionuclides” p. 364 (1982), IAEA. Vienna       |
|        | Ra-226        | 0.02~0.72<br>$\text{Bq/g乾}$                     |                                                                                                                  |
| 水田土    | U-238         | 0.02~0.06<br>$\text{Bq/g}$                      | H. Morishima et al., J. Radiat. Res., 18, 139 (1977)                                                             |
|        | Ra-226        | 0.03<br>$\text{Bq/g}$                           |                                                                                                                  |
| 畑土     | U-238         | 0.03<br>$\text{Bq/g}$                           | 亀谷勝昭, 戸村加代子, Radioisotopes, 25 (5), 410 (1976)                                                                   |
|        | Ra-226        | 0.03<br>$\text{Bq/g}$                           |                                                                                                                  |
| 未耕地    | U-238         | 0.03<br>$\text{Bq/g}$                           | 放射線医学総合研究所監訳“放射線の線源と影響(1977年国連科学委員会報告書)” p. 85 (1980), アイ・エス・ユー(株), 東京                                           |
|        | Ra-226        | 0.03<br>$\text{Bq/g}$                           |                                                                                                                  |

| 測定対象   | 測定項目   | 測定値                              | 引用文献                                                                                                             |
|--------|--------|----------------------------------|------------------------------------------------------------------------------------------------------------------|
| 精米     | U-238  | 0.023 Bq/kg生                     | J. H. Harley CONF-690303, (1969), 189                                                                            |
|        | Ra-226 | 0.010 Bq/kg生                     | K. Kametani et al., Radioisotopes, 30, 681 (1981)                                                                |
| ハクサイ   | U-238  | 0.004~0.026<br>Bq/kg生<br>(生換算) ※ | H. Morishima et al., J. Radiat. Res., 18, 139 (1977)                                                             |
| ハウレンソウ | U-238  | 0.021~0.175<br>Bq/kg生<br>(生換算) ※ |                                                                                                                  |
|        | Ra-226 | 0.00±0.02<br>Bq/kg生              | K. Kametani et al., Radioisotopes, 30, 681 (1981)                                                                |
| 牧草     | Ra-226 | 0.3~18.5<br>Bq/kg生               | H. Schuttelkopf and H. Kiffer, "Environmental Migration of Long-Lived Radionuclides" p. 345 (1982), IAEA. Vienna |
| マツ     | U-238  | 0.010~0.355<br>Bq/kg生<br>(生換算) ※ | M. H. Deam, Ecol, 54 (3), 589 (1966)                                                                             |
| スギ     | U-238  | 0.090 Bq/kg生<br>(生換算) ※          |                                                                                                                  |
| マス     | U-238  | 0.013~0.529<br>Bq/kg生            | P. Stegnar and I. Kobal, "Environmental Migration of Long-Lived Radionuclides" p. 364 (1982), IAEA. Vienna       |
|        | Ra-226 | 0.33~3.70<br>Bq/kg生              |                                                                                                                  |

※灰化率はハクサイ ; 0.71%, ハウレンソウ ; 1.75%, マツ ; 1.41%, スギ ; 1.61%として換算



## Ⅱ. 回収ウラン転換実用化試験に係るプルトニウム等 監視測定

## 1. 測定計画

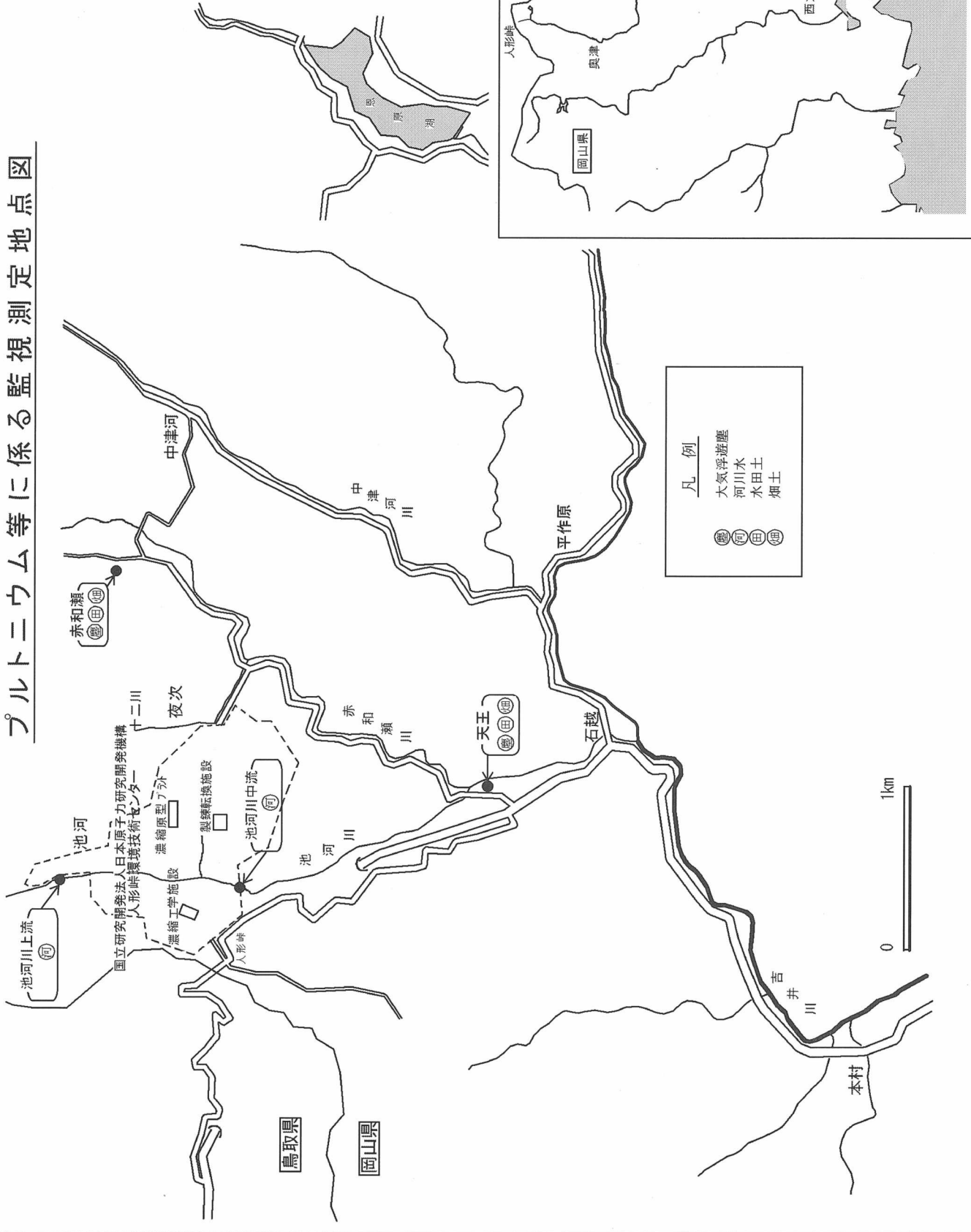
原子力機構人形峠センターにおいて、回収ウラン転換実用化試験が平成6年8月から実施されている。それ以降監視測定を行っているが、平成26年度は下記の計画により測定した。回収ウラン転換実用化試験は平成11年7月をもって終了したが、本監視測定はその後も実施してきた。なお、大気浮遊塵と河川水の試料採取は（公財）岡山県環境保全事業団に、分析は（公財）日本分析センターに委託して実施した。

### 1-1 測定対象・項目・地点

| 測定対象  |     | 測定項目                                                            | 測定地点数 | 測定回数 | 年間検体数 | 測定月 | 測定地点           |
|-------|-----|-----------------------------------------------------------------|-------|------|-------|-----|----------------|
| 大気浮遊塵 |     | Pu- (239+240),<br>Pu-238, Sr-90,<br>$\gamma$ 線放出核種<br>(Cs-137等) | 2     | 1    | 2     | 10  | 天王, 赤和瀬        |
| 河川水   |     |                                                                 | 2     | 1    | 2     | 10  | 池河川上流<br>池河川中流 |
| 土     | 水田土 |                                                                 | 2     | 1    | 2     | 10  | 天王, 赤和瀬        |
| 壤     | 畑土  |                                                                 | 2     | 1    | 2     | 10  | 天王, 赤和瀬        |
| 計     |     |                                                                 | 8     |      | 8     |     |                |

# プルトニウム等に係る監視測定地点図

岡山県



凡例

- 大気浮遊塵
- 河川水
- 水田土
- 畑土



※原子力機構の法人名称が平成27年4月1日付けで独立行政法人から国立研究開発法人へ変更。



## 1-2 測定方法

(1) Pu-(239+240), Pu-238

| 測定対象試料 | 測定方法                                                                                  | 測定器                                     |
|--------|---------------------------------------------------------------------------------------|-----------------------------------------|
| 大気浮遊塵  | 文部科学省放射能測定法シリーズ12<br>「プルトニウム分析法」(平成2年改訂)<br>硝酸加熱抽出, 陰イオン交換法, 電着<br>$\alpha$ 線スペクトロメトリ | シリコン半導体検出器<br>ORTEC社製<br>BU-020-450-AS型 |
| 水試料    | 文部科学省放射能測定法シリーズ12<br>「プルトニウム分析法」(平成2年改訂)<br>鉄共沈, 陰イオン交換法, 電着<br>$\alpha$ 線スペクトロメトリ    |                                         |
| 土試料    | 文部科学省放射能測定法シリーズ12<br>「プルトニウム分析法」(平成2年改訂)<br>硝酸加熱抽出, 陰イオン交換法, 電着<br>$\alpha$ 線スペクトロメトリ |                                         |

(2) Sr-90

| 測定対象試料 | 測定方法                                                                                                | 測定器                                                        |
|--------|-----------------------------------------------------------------------------------------------------|------------------------------------------------------------|
| 大気浮遊塵  | 文部科学省放射能測定法シリーズ2<br>「放射性ストロンチウム分析法」(平成15年改訂)<br>硝酸加熱抽出, 炭酸塩沈澱-シュウ酸塩沈澱として<br>分離, イオン交換法, $\beta$ 線測定 | 低バックグラウンド $\beta$ 線測定<br>装置: 日立アロカメディカル<br>社製<br>LBC-471Q型 |
| 水試料    | 文部科学省放射能測定法シリーズ2<br>「放射性ストロンチウム分析法」(平成15年改訂)<br>加熱濃縮, 炭酸塩沈澱-シュウ酸塩沈澱として分離,<br>イオン交換法, $\beta$ 線測定    |                                                            |
| 土試料    | 文部科学省放射能測定法シリーズ2<br>「放射性ストロンチウム分析法」(平成15年改訂)<br>塩酸加熱抽出, 炭酸塩沈澱-シュウ酸塩沈澱として<br>分離, イオン交換法, $\beta$ 線測定 |                                                            |

(3)  $\gamma$ 線放出核種

| 測定対象試料              | 測定方法                                                                                | 測定器                                               |
|---------------------|-------------------------------------------------------------------------------------|---------------------------------------------------|
| 大気浮遊塵<br>水試料<br>土試料 | 文部科学省放射能測定法シリーズ7<br>「ゲルマニウム半導体検出器によるガンマ線スペクト<br>ロメトリー」(平成4年改訂)<br>(測定時間) 約70000秒間以上 | ゲルマニウム半導体検出装置<br>検出器: ORTEC社製<br>GEM25-70-XLB-C型他 |

## 2. 測定結果

### 2-1 測定結果概要

いずれの測定項目も文献による参考値の範囲内であり異常値は認められなかった。

大気浮遊塵及び河川水からPu-(239+240)及びPu-238は検出されなかった。

土壌（畑土・水田土）からPu-(239+240)及びPu-238が検出されたが、これらの測定値は全国的に検出されるレベルであり施設の運転に伴うものではなく、過去に大気圏内で行われた核爆発実験によるものと考えられた。



## 2 - 2 詳細データ

☆表中の表記について

1. 測定結果に誤差が表記されている場合、その値は計数誤差 ( $1\sigma$ ) である。
2. 「ND」は、測定値が計数誤差の3倍 ( $3\sigma$ ) 以下であったこと、すなわち不検出を示す。

① 人工放射性核種濃度

| 試料名   | 採取場所  | 試料採取日                       | $^{239+240}\text{Pu}$ | $^{238}\text{Pu}$ | $^{90}\text{Sr}$ | $^{51}\text{Cr}$ | $^{54}\text{Mn}$ | $^{59}\text{Fe}$ | $^{58}\text{Co}$ |
|-------|-------|-----------------------------|-----------------------|-------------------|------------------|------------------|------------------|------------------|------------------|
| 大気浮遊塵 | 天王    | H26. 10. 21~<br>H26. 10. 23 | ND                    | ND                | ND               | ND               | ND               | ND               | ND               |
|       | 赤和瀬   |                             | ND                    | ND                | ND               | ND               | ND               | ND               | ND               |
| 河川水   | 池河川上流 | H26. 10. 30                 | ND                    | ND                | 1.9±0.14         | ND               | ND               | ND               | ND               |
|       | 池河川中流 |                             | ND                    | ND                | 1.8±0.13         | ND               | ND               | ND               | ND               |
| 畑土    | 天王    | H26. 10. 21                 | 0.66±0.032            | 0.011±0.0031      | 1.7±0.15         | ND               | ND               | ND               | ND               |
|       | 赤和瀬   |                             | 0.39±0.021            | 0.0078±0.0026     | 2.0±0.16         | ND               | ND               | ND               | ND               |
| 水田土   | 天王    | H26. 10. 21                 | 0.43±0.024            | 0.0092±0.0029     | 0.93±0.12        | ND               | ND               | ND               | ND               |
|       | 赤和瀬   |                             | 0.43±0.024            | 0.016±0.0038      | 0.88±0.11        | ND               | ND               | ND               | ND               |

注) 結果は試料採取日に換算した

| 試料名   | 過去5年間の測定範囲            |                   |                  |                   |
|-------|-----------------------|-------------------|------------------|-------------------|
|       | $^{239+240}\text{Pu}$ | $^{238}\text{Pu}$ | $^{90}\text{Sr}$ | $^{137}\text{Cs}$ |
| 大気浮遊塵 | ND                    | ND                | ND               | ND                |
| 河川水   | 0.0046~ND             | ND                | 2.6~1.7          | 1.9~ND            |
| 畑土    | 0.58~0.17             | 0.014~ND          | 3.3~0.90         | 19~5.6            |
| 水田土   | 0.47~0.34             | 0.014~ND          | 1.5~0.92         | 13~9.4            |

| <sup>60</sup> Co | <sup>65</sup> Zn | <sup>95</sup> Zr | <sup>95</sup> Nb | <sup>103</sup> Ru | <sup>106</sup> Ru | <sup>125</sup> Sb | <sup>134</sup> Cs | <sup>137</sup> Cs | <sup>140</sup> Ba | <sup>140</sup> La | <sup>144</sup> Ce | 單位                 |
|------------------|------------------|------------------|------------------|-------------------|-------------------|-------------------|-------------------|-------------------|-------------------|-------------------|-------------------|--------------------|
| ND               | ND               | ND               | ND               | ND                | ND                | ND                | ND                | ND                | ND                | ND                | ND                | mBq/m <sup>3</sup> |
| ND               | ND               | ND               | ND               | ND                | ND                | ND                | ND                | ND                | ND                | ND                | ND                |                    |
| ND               | ND               | ND               | ND               | ND                | ND                | ND                | ND                | ND                | ND                | ND                | ND                | mBq/L              |
| ND               | ND               | ND               | ND               | ND                | ND                | ND                | ND                | ND                | ND                | ND                | ND                |                    |
| ND               | ND               | ND               | ND               | ND                | ND                | ND                | ND                | 21 ± 0.5          | ND                | ND                | ND                | Bq/kg乾             |
| ND               | ND               | ND               | ND               | ND                | ND                | ND                | ND                | 12 ± 0.4          | ND                | ND                | ND                |                    |
| ND               | ND               | ND               | ND               | ND                | ND                | ND                | ND                | 11 ± 0.4          | ND                | ND                | ND                | Bq/kg乾             |
| ND               | ND               | ND               | ND               | ND                | ND                | ND                | ND                | 11 ± 0.4          | ND                | ND                | ND                |                    |

② 天然放射性核種濃度

| 試料名   | 採取場所      | 試料採取日                       | $^7\text{Be}$  | $^{40}\text{K}$  |
|-------|-----------|-----------------------------|----------------|------------------|
| 大気浮遊塵 | 天王        | H26. 10. 21～<br>H26. 10. 23 | $4.3 \pm 0.07$ | $0.22 \pm 0.037$ |
|       | 赤和瀬       |                             | $4.4 \pm 0.07$ | $0.25 \pm 0.036$ |
| 河川水   | 池河川<br>上流 | H26. 10. 30                 | ND             | $16 \pm 3.2$     |
|       | 池河川<br>中流 |                             | ND             | $21 \pm 3.4$     |
| 畑土    | 天王        | H26. 10. 21                 | ND             | $640 \pm 9$      |
|       | 赤和瀬       |                             | ND             | $780 \pm 11$     |
| 水田土   | 天王        | H26. 10. 21                 | ND             | $640 \pm 10$     |
|       | 赤和瀬       |                             | $15 \pm 4.0$   | $770 \pm 11$     |

注) 結果は試料採取日に換算した

| 試料名   | 過去5年間の測定範囲    |                 |                   |                   |                   |                           |
|-------|---------------|-----------------|-------------------|-------------------|-------------------|---------------------------|
|       | $^7\text{Be}$ | $^{40}\text{K}$ | $^{208}\text{Tl}$ | $^{214}\text{Bi}$ | $^{228}\text{Ac}$ | $^{234\text{m}}\text{Pa}$ |
| 大気浮遊塵 | 6.2～2.0       | 0.28～0.18       | ND                | ND                | ND                | ND                        |
| 河川水   | 35～ND         | 27～13           | ND                | 4.8～ND            | 3.7～ND            | ND                        |
| 畑土    | ND            | 830～640         | 25～15             | 37～17             | 75～43             | 100～ND                    |
| 水田土   | 18～ND         | 820～630         | 27～21             | 60～21             | 75～64             | ND                        |

| $^{208}\text{Tl}$ | $^{214}\text{Bi}$ | $^{228}\text{Ac}$ | $^{234\text{m}}\text{Pa}$ | 單位                 |
|-------------------|-------------------|-------------------|---------------------------|--------------------|
| ND                | ND                | ND                | ND                        | mBq/m <sup>3</sup> |
| ND                | ND                | ND                | ND                        |                    |
| ND                | ND                | ND                | ND                        | mBq/L              |
| ND                | ND                | ND                | ND                        |                    |
| 15±0.4            | 37±0.9            | 40±1.5            | ND                        | Bq/kg乾             |
| 21±0.5            | 29±0.9            | 61±1.8            | ND                        |                    |
| 24±0.5            | 55±1.1            | 71±1.8            | ND                        | Bq/kg乾             |
| 22±0.5            | 34±0.9            | 62±1.8            | ND                        |                    |

### 3. 各種試料中の放射能濃度の参考値

| 測定対象 | 測定項目         | 測定値                          | 引用文献                                                         |
|------|--------------|------------------------------|--------------------------------------------------------------|
| 陸    | Pu-(239+240) | ND~0.162 mBq/L               | 国内原子力施設放射線監視及び環境放射能水準調査結果(1984~2010)並びに気象研究所研究報告(1973, 1981) |
|      | Pu-238       | ND                           | 国内原子力施設放射線監視及び環境放射能水準調査結果(1984~2010)                         |
| 水    | Sr-90        | ND~7.4 mBq/L                 | " "                                                          |
|      | Cs-137       | ND~6.29 mBq/L                | " "                                                          |
| 土壌   | Pu-(239+240) | ND~6.956 Bq/kg乾              | " "                                                          |
|      | Pu-238       | ND~0.3Bq/kg乾                 | " "                                                          |
|      | Sr-90        | ND~77.7 Bq/kg乾               | " "                                                          |
|      | Cs-137       | ND~407 Bq/kg乾                | " "                                                          |
| 大気   | Pu-(239+240) | ND~0.0007 mBq/m <sup>3</sup> | " "                                                          |
|      | Pu-238       | ND                           | " "                                                          |
|      | Sr-90        | ND~0.0407 mBq/m <sup>3</sup> | " "                                                          |
|      | Cs-137       | ND~77.7 mBq/m <sup>3</sup>   | " "                                                          |

## 第2章 中津河捨石堆積場に係る環境放射線等測定



## 1. 測定計画

ウラン鉱の露頭が発見された昭和30年から昭和60年頃までは、人形峠ではウラン鉱の探鉱、試掘、採鉱が行われていた。これらの過程で不要となった捨石あるいは残土の堆積場について環境監視を行っている。平成元年度から中津河堆積場周辺を主体に、ウラン、ラジウム等の監視測定を実施している。平成26年度は下表の計画により測定した。

### 1-1 測定対象・項目・地点

| 測定対象        |      | 測定項目                      | 測定地点数 | 測定回数 | 年間検体数 | 測定月            | 測定地点                                   |
|-------------|------|---------------------------|-------|------|-------|----------------|----------------------------------------|
| 空間線量        |      | γ線線量率<br>(γ線積算線量)         | 2     | 4    | 8     | 6, 9,<br>12, 3 | 中津河堆積場口<br>中津河地区民家                     |
| 陸<br>水      | 河川水  | U-238<br>Ra-226<br>Rn-222 | 3     | 4    | 12    | 4, 7,<br>10, 1 | 中津河川                                   |
|             | 生活用水 | U-238<br>Ra-226<br>Rn-222 | 1     | 1    | 1     | 4              | 中津河地区民家                                |
|             | 坑内水  |                           | 1     | 4    | 4     | 4, 7,<br>10, 1 | 中津河堆積場内                                |
| 河底土         |      | U-238<br>Ra-226           | 2     | 1    | 2     | 4              | 中津河川                                   |
| 生<br>物<br>質 | 精米   | U-238<br>Ra-226           | 1     | 1    | 1     | 11             | 中津河地区                                  |
|             | 野菜   |                           | 1     | 1    | 1     | 6              | 中津河地区                                  |
| 大気          |      | Rn-222                    | 3     | 4    | 12    | 6, 9,<br>12, 3 | 中津河堆積場口<br>中津河地区民家<br>環境保健センター<br>(対照) |
| 計           |      |                           | 14    |      | 41    |                |                                        |

## 1-2 測定方法

測定方法は「第1章I. 通常の監視測定」と同様である。ただし、大気中Rn-222濃度の測定は次の方法により行った。

### <大気中Rn-222濃度の測定方法>

静電式積分型ラドンモニター（CR-39フィルム使用）を、現地の百葉箱中に約3ヶ月間設置する。フィルムを回収して、分析の委託先である㈱千代田テクノルでエッチング処理した後、計数及び濃度計算を行う。

## 2. 測定結果

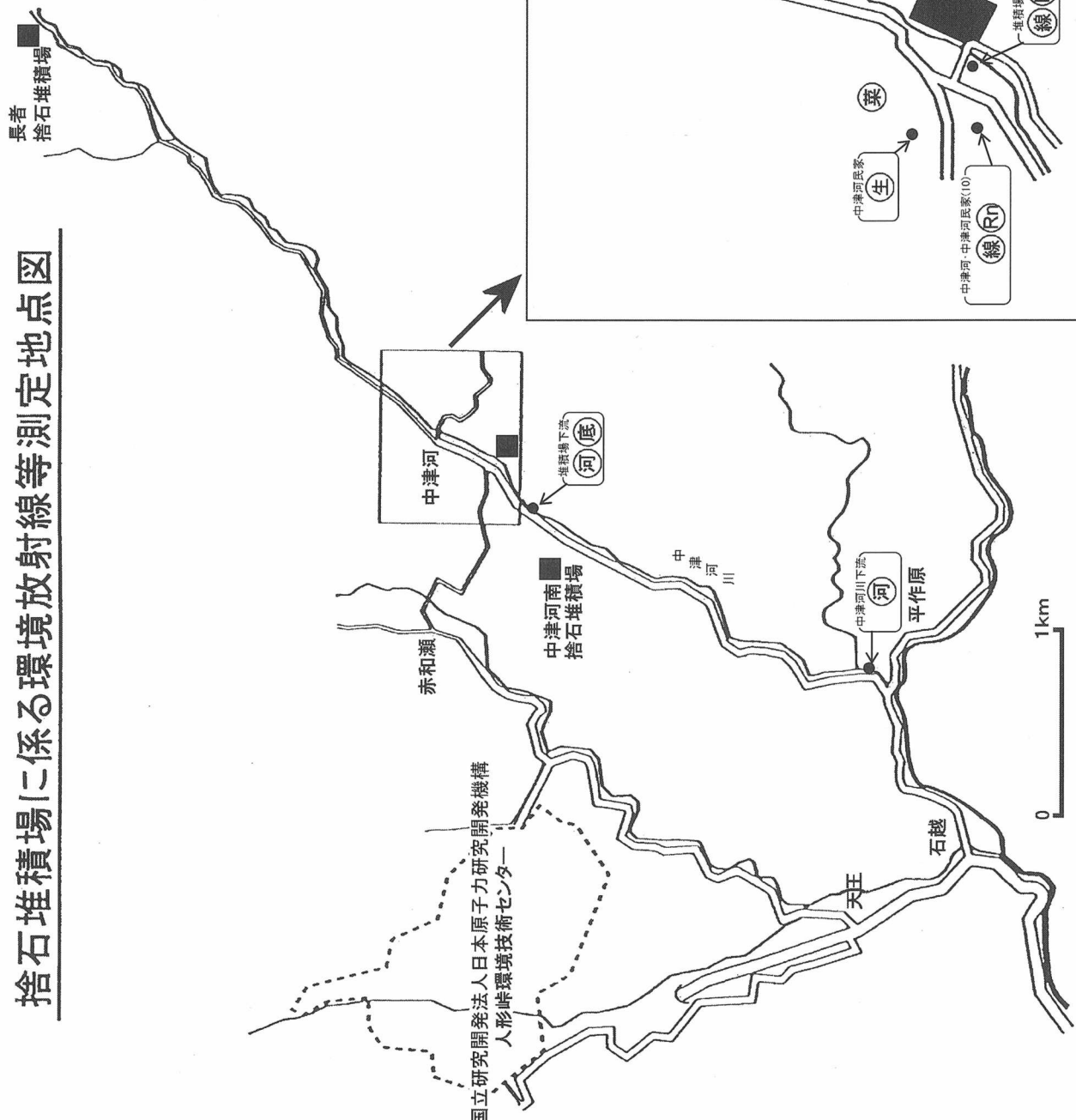
### 2-1 測定結果概要

空間 $\gamma$ 線線量率と河川水及び河底土中のU-238濃度及びRa-226濃度は、いずれも管理目標値以下であった。また、空間 $\gamma$ 線線量率については、第4四半期は積雪による遮蔽効果の影響により測定値が低くなっていた。なお、空間 $\gamma$ 線線量率については、平成26年度の測定結果についての評価から直近10年間の平常の変動範囲を参考に行うことになった。

管理目標値の非設定項目である、飲料水、精米等に含まれるU-238濃度及びRa-226濃度等は、いずれも「第1章I. 通常の監視測定」の結果と差はなく、従来の測定値と比較してもほぼ同レベルであり異常値は認められなかった。

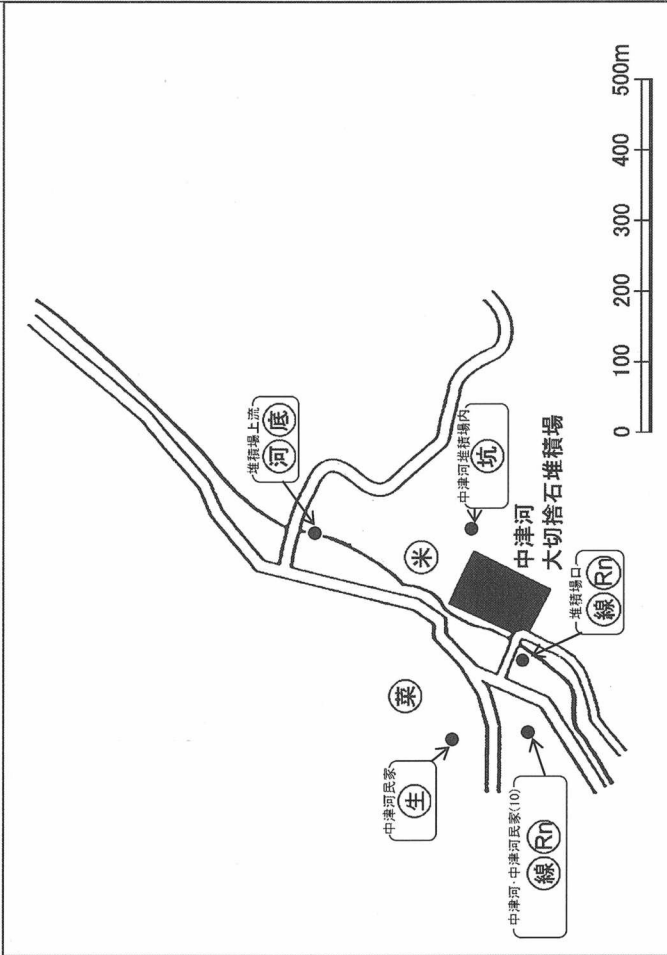
また、大気中Rn-222濃度は従来の測定値とほぼ同レベルであった。

# 捨石堆積場に係る環境放射線等測定地点図



凡 例

|      |               |
|------|---------------|
| (線)  | 空間γ線線量率(RPLD) |
| (河)  | 河川水           |
| (生)  | 生活用水          |
| (底)  | 河底土           |
| (米)  | 精米            |
| (菜)  | 野菜            |
| (Rn) | 大気ラドン         |
| (坑)  | 場内坑内水         |



※原子力機構の法人名称が平成 27 年 4 月 1 日付けで独立行政法人から国立研究開発法人へ変更。



## 2 - 2 詳細データ

☆表中の表記について

1. 測定結果に誤差が表記されている場合、その値は計数誤差 ( $1\sigma$ ) である。
2. 「ND」は、測定値が計数誤差の3倍 ( $3\sigma$ ) 未満であったこと、すなわち不検出を示す。  
NDの下の ( ) 内の数字は、実際に測定された数値を示す。
3. 「分析目標レベル」とは、放射能測定において計数値が計数誤差の3倍 ( $3\sigma$ ) と等しくなるようなおおよそのレベルを示す。これは文部科学省監修の放射能分析法マニュアルに準拠したものである。
4. 「平均値」とは、当該年度内の測定値を平均したものであるが、データの中にNDがあった場合、ND=分析目標レベルの値として計算し、計算結果の左に不等号「<」を付記した。

① 空間γ線線量率 (RPLD)

| 測定地点               | 第1四半期                    |       | 第2四半期                     |       | 第3四半期                      |       |
|--------------------|--------------------------|-------|---------------------------|-------|----------------------------|-------|
|                    | 測定期間                     | 測定値   | 測定期間                      | 測定値   | 測定期間                       | 測定値   |
| 堆積場口               | H26. 3. 5～<br>H26. 6. 25 | 0.084 | H26. 6. 25～<br>H26. 9. 24 | 0.094 | H26. 9. 24～<br>H26. 12. 11 | 0.090 |
| 中津河 <sup>注1)</sup> | H26. 3. 5～<br>H26. 6. 25 | 0.051 | H26. 6. 25～<br>H26. 9. 24 | 0.061 | H26. 9. 24～<br>H26. 12. 10 | 0.061 |

注1) 「人形峠周辺の環境放射線等監視測定結果」からの再掲データ  
 注2) 第4四半期は雪による影響で測定値が低くなっている。

平常の変動範囲※※  
 (平成17年度～平成25年度)

| 測定地点 | 第1四半期 |       | 第2四半期 |       | 第3四半期 |       |
|------|-------|-------|-------|-------|-------|-------|
|      | 最大    | 最小    | 最大    | 最小    | 最大    | 最小    |
| 堆積場口 | 0.094 | 0.080 | 0.097 | 0.091 | 0.094 | 0.087 |
| 中津河  | 0.059 | 0.050 | 0.061 | 0.055 | 0.059 | 0.057 |

※※平常の変動範囲

空間γ線線量率の測定結果の評価については、平成25年度まで用いていた「バックグラウンド値(昭和63年8月の測定結果)」をやめ、平成26年度からは直近10年間の測定結果で示す「平常の変動範囲」を毎年度設定し、これを参考に行うこととした。(平成25年度第2回岡山県環境放射線等測定技術委員会決定)

なお、平成26年度の測定結果の評価に係る平常の変動範囲については、平成17年度から測定器をTLDからRPLDに変更しているため、平成16年度の測定値は除いている。

② 陸水(河川水, 坑内水, 生活用水)

| 試料名  | 採取地点                       | 第1四半期          |        |                   |            | 第2四半期          |        |                   |            | 採取年月日(天候)       |
|------|----------------------------|----------------|--------|-------------------|------------|----------------|--------|-------------------|------------|-----------------|
|      |                            | 採取年月日(天候)      | 分析値    |                   |            | 採取年月日(天候)      | 分析値    |                   |            |                 |
|      |                            |                | U-238  | Ra-226            | Rn-222     |                | U-238  | Ra-226            | Rn-222     |                 |
| 河川水  | 堆積場上流                      | H26. 4. 17(晴れ) | <0.003 | ND<br>(0.13±0.07) | 0.23±0.03  | H26. 7. 28(晴れ) | <0.003 | ND<br>(0.13±0.07) | 0.56±0.04  | H26. 10. 20(曇り) |
|      | 堆積場下流                      | H26. 4. 17(晴れ) | <0.003 | ND<br>(0.10±0.07) | 0.81±0.05  | H26. 7. 28(晴れ) | <0.003 | ND<br>(0.10±0.07) | 2.29±0.08  | H26. 10. 20(曇り) |
|      | 中津河川下流(平作原) <sup>注3)</sup> | H26. 4. 17(晴れ) | <0.003 | ND<br>(0.13±0.07) | 0.06±0.01  | H26. 7. 29(晴れ) | <0.003 | ND<br>(0.14±0.07) | 0.15±0.02  | H26. 10. 20(曇り) |
| 坑内水  | 中津河堆積場内                    | H26. 4. 17(晴れ) | 0.006  | 0.55±0.11         | 51.00±0.39 | H26. 7. 28(晴れ) | 0.006  | 0.57±0.12         | 50.10±0.39 | H26. 10. 20(曇り) |
| 生活用水 | 中津河民家 <sup>注4)</sup>       | H26. 4. 17(晴れ) | <0.003 | ND<br>(0.10±0.07) | 41.65±0.35 | (測定結果は除かれている)  |        |                   |            |                 |

河川水の管理目標値

| U-238 | Ra-226 | Rn-222 |
|-------|--------|--------|
| 1.1   | 3.7    | なし     |

坑内水の管理目標値：なし

- ・生活用水の管理目標値：なし
- ・Rnについての温泉法による療養泉の基準値 111 Bq/L以上
- ・ " 鈾 泉の基準値 74 Bq/L以上

注3) 「人形峠周辺の環境放射線等監視測定結果」からの再掲データ

注4) 生活用水 水源は井戸水

注5) 平成24年度から測定を開始したため、2年間のデータを対象として掲載している。

単位：μGy/h

| 第4四半期                  |                    | 平成26年度平均値 | 過去5年間の測定範囲  | 備考 |
|------------------------|--------------------|-----------|-------------|----|
| 測定期間                   | 測定値 <sup>注2)</sup> |           |             |    |
| H26.12.11～<br>H27.3.17 | 0.056              | 0.081     | 0.097～0.054 |    |
| H26.12.10～<br>H27.3.17 | 0.042              | 0.054     | 0.061～0.042 |    |

空間γ線線量率の管理目標値※：0.087μGy/h

※ 管理目標値は、事業活動に起因する放射線（能）等に適用される。  
 なお、測定結果については、環境中の自然放射線（能）等を含んだものである。（以下同じ。）

| 第4四半期 |       |
|-------|-------|
| 最大    | 最小    |
| 0.082 | 0.047 |
| 0.055 | 0.040 |

単位：U-238;10<sup>-3</sup>Bq/cm<sup>3</sup> Ra-226;10<sup>-5</sup>Bq/cm<sup>3</sup> Rn-222;Bq/L

| 第3四半期  |                   |            | 第4四半期           |        |                   | 平成26年度平均値  |        |        | 過去5年間の測定範囲 |                      |                   | 備考                         |
|--------|-------------------|------------|-----------------|--------|-------------------|------------|--------|--------|------------|----------------------|-------------------|----------------------------|
| 分 析 値  |                   |            | 採取年月日<br>(天候)   | 分 析 値  |                   |            | 分 析 値  |        |            | 分 析 値                |                   |                            |
| U-238  | Ra-226            | Rn-222     |                 | U-238  | Ra-226            | Rn-222     | U-238  | Ra-226 | Rn-222     | U-238                | Ra-226            | Rn-222                     |
| <0.003 | ND<br>(0.05±0.06) | 0.37±0.03  | H27.1.26<br>(雨) | <0.003 | ND<br>(0.00±0.06) | 0.62±0.04  | <0.003 | <0.7   | 0.45       | <0.003               | <0.7              | 1.26<br>～<br>0.18          |
| <0.003 | ND<br>(0.00±0.06) | 1.90±0.08  | H27.1.26<br>(雨) | <0.003 | ND<br>(0.00±0.06) | 2.40±0.08  | <0.003 | <0.7   | 1.85       | <0.003               | <0.7              | 2.42<br>～<br>0.89          |
| <0.003 | ND<br>(0.04±0.06) | 0.12±0.02  | H27.1.26<br>(雨) | <0.003 | ND<br>(0.02±0.06) | 0.22±0.03  | <0.003 | <0.7   | 0.14       | <0.003               | <0.7              | 0.35<br>～<br><0.2          |
| 0.005  | 0.61±0.12         | 52.67±0.40 | H27.1.26<br>(雨) | 0.006  | 0.64±0.13         | 47.27±0.40 | 0.006  | 0.59   | 50.26      | 0.009<br>～<br><0.003 | 0.98<br>～<br>0.54 | 67.51<br>～<br>50.90        |
|        |                   |            |                 |        |                   |            | <0.003 | <0.7   | 41.65      | <0.003<br>注5)        | <0.7<br>注5)       | 63.10<br>～<br>41.80<br>注5) |

分析目標レベル

| U-238 | Ra-226 | Rn-222 |
|-------|--------|--------|
| 0.003 | 0.7    | 0.2    |

③ 河底土

| 採取地点   | 第1四半期              |               |               | 第2四半期 | 第3四半期 | 第4四半期 |
|--------|--------------------|---------------|---------------|-------|-------|-------|
|        | 採取年月日<br>(天候)      | 分 析 値         |               |       |       |       |
|        |                    | U-238         | Ra-226        |       |       |       |
| 堆積場 上流 | H26. 4. 17<br>(晴れ) | 0. 010±0. 001 | 0. 032±0. 003 |       |       |       |
| 堆積場 下流 | H26. 4. 17<br>(晴れ) | 0. 013±0. 001 | 0. 033±0. 003 |       |       |       |

河底土の管理目標値

| U-238 | Ra-226 |
|-------|--------|
| 1. 8  | 1. 8   |

④ 生物質

| 試料名            | 第1四半期              |               |                     | 第2四半期               | 第3四半期                 |                     |        |
|----------------|--------------------|---------------|---------------------|---------------------|-----------------------|---------------------|--------|
|                | 採取年月日<br>(天候)      | 分 析 値         |                     |                     | 採取年月日<br>(天候)         | 分 析 値               |        |
|                |                    | U-238         | Ra-226              |                     |                       | U-238               | Ra-226 |
| 野 菜<br>(ホウレン草) | H26. 6. 30<br>(晴れ) | 0. 005±0. 001 | ND<br>(0. 00±0. 01) |                     |                       |                     |        |
| 精 米            |                    |               |                     | H26. 11. 11<br>(晴れ) | ND<br>(0. 000±0. 000) | ND<br>(0. 00±0. 01) |        |

生物質の管理目標値：なし

単位：Bq/g乾

| 平成26年度平均値 |        | 過去5年間の測定範囲  |             | 備 考 |
|-----------|--------|-------------|-------------|-----|
| U-238     | Ra-226 | U-238       | Ra-226      |     |
| 0.010     | 0.032  | 0.015～0.008 | 0.034～0.026 |     |
| 0.013     | 0.033  | 0.017～0.010 | 0.055～0.024 |     |

分析目標レベル

| U-238 | Ra-226 |
|-------|--------|
| 0.001 | 0.007  |

単位：Bq/kg生

| 第4<br>四半期 | 平成26年度平均値 |        | 過去5年間の測定範囲   |        | 備 考 |
|-----------|-----------|--------|--------------|--------|-----|
|           | U-238     | Ra-226 | U-238        | Ra-226 |     |
|           | 0.005     | <0.2   | 0.010～<0.009 | <0.2   |     |
|           | <0.007    | <0.2   | <0.007       | <0.2   |     |

分析目標レベル

|       | U-238 | Ra-226 |
|-------|-------|--------|
| ホウレン草 | 0.009 | 0.2    |
| 精 米   | 0.007 | 0.2    |

## ⑤ 大気中のラドン（CR39法）

### 1) 監視測定

| 測定地点                 | 測定区分 | 第1四半期                           | 第2四半期                          | 第3四半期                            | 第4四半期                           |
|----------------------|------|---------------------------------|--------------------------------|----------------------------------|---------------------------------|
| 中津河堆積場口              | 測定値  | 26.2±0.5                        | 36.3±0.7                       | 25.9±0.6                         | 16.4±0.5                        |
|                      | 測定期間 | H26.3.5～<br>H26.6.26<br>(113日間) | H26.7.4～<br>H26.9.24<br>(82日間) | H26.9.24～<br>H26.12.16<br>(83日間) | H26.12.16～<br>H27.3.5<br>(79日間) |
| 中津河民家 <sup>注1)</sup> | 測定値  | 17.8±0.4                        | 18.3±0.5                       | 15.1±0.4                         | 11.2±0.4                        |
|                      | 測定期間 | H26.3.5～<br>H26.6.26<br>(113日間) | H26.7.4～<br>H26.9.24<br>(82日間) | H26.9.24～<br>H26.12.16<br>(83日間) | H26.12.16～<br>H27.3.5<br>(79日間) |

注1) 町営水道切替前の中津河民家10

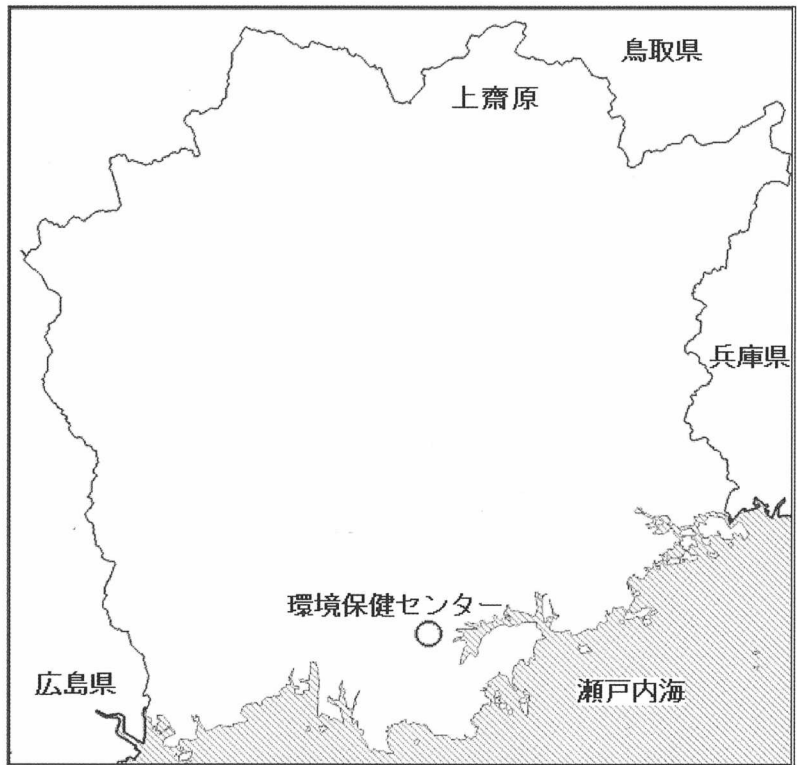
### 2) 対照調査

| 測定地点     | 測定区分 | 第1四半期                           | 第2四半期                          | 第3四半期                            | 第4四半期                           |
|----------|------|---------------------------------|--------------------------------|----------------------------------|---------------------------------|
| 環境保健センター | 測定結果 | 6.4±0.2                         | 5.2±0.3                        | 7.0±0.3                          | 6.9±0.3                         |
|          | 測定期間 | H26.3.5～<br>H26.6.25<br>(112日間) | H26.7.4～<br>H26.9.24<br>(82日間) | H26.9.24～<br>H26.12.15<br>(82日間) | H26.12.15～<br>H27.3.5<br>(80日間) |

大気中ラドンの管理目標値：なし

単位： $\times 10^{-6}\text{Bq}/\text{cm}^3$

| 平成26年度<br>平均値 | 過去5年間の<br>測定範囲 |
|---------------|----------------|
| 26.2          | 49.6~13.2      |
| 15.6          | 25.1~7.9       |



対照調査地点

単位： $\times 10^{-6}\text{Bq}/\text{cm}^3$

| 平成26年度<br>平均値 | 過去5年間の<br>測定範囲 |
|---------------|----------------|
| 6.4           | 9.9~4.2        |



### 第 3 章 参 考 资 料



# 1. 動力炉・核燃料開発事業団人形峠事業所周辺環境保全等に関する協定書

昭和54年7月28日  
岡山県、上齋原村  
動力炉・核燃料開発事業団

岡山県（以下「甲」という。）、上齋原村（以下「乙」という。）及び動力炉・核燃料開発事業団（以下「丙」という。）は、丙の人形峠事業所（以下「事業所」という。）の事業に関し、事業所周辺の住民の健康を保護し、生活環境を保全するとともに、良好な自然環境を確保することを本旨として、次のとおり協定を締結する。

（関係法令の遵守等）

第1条 丙は、事業所において行う施設の建設及び施設の運営にあたっては、関係法令及び条例を遵守することはもとより、更に安全確保及び公害の防止並びに環境保全の万全の措置を講ずるものとする。

2 丙は、施設の保安規定を遵守するほか、運転及び保守にあたる要員の教育、訓練を積極的に行う等施設の運営管理に万全を期するものとする。

（放射性物質の放出等）

第2条 丙は、施設から放出される放射性物質及び弗素等について、別表1に定める管理目標値により管理するものとする。また、その放出低減についても、技術開発に最善の努力をするものとする。

（自然環境の保全）

第3条 丙は、地域の自然環境を保全するため、事業所内の自然の保護、緑化等を積極的に進めるものとする。

（防災対策）

第4条 丙は、防災対策の充実強化を図るとともに、地域の防災対策に積極的に協力するものとする。

（新增設計画）

第5条 丙は、施設の新増設を計画し、又はその計画を変更しようとするときは、甲及び乙の了解を得るものとする。

（放射性物質等の監視体制の強化）

第6条 丙は、施設から放出される放射性物質及び弗素等について、監視体制の充実強化を図るものとする。

2 甲及び丙は、それぞれ別に定める監視測定計画に基づいて監視測定を実施するものとする。この場合において、丙が実施する監視測定に係る測定項目等については、法令に定めるもののほか、別表2に定めるものを下廻らないものとする。

3 丙は、甲が実施する監視測定に協力するものとする。

4 丙は、第2項の規定により実施した監視測定の結果を甲に提出するものとする。

5 丙は、第2条に定める管理目標値を超える数値を測定したときは、その都度甲及び乙に連絡するとともに、その原因の調査等適切な措置を講ずるものとする。

（測定結果の公表）

第7条 甲及び丙は、前条第2号の規定により実施した監視測定の結果について、甲が別に定めるところにより設置する岡山県環境放射線等測定技術委員会の検討及び評価を経たのち公表するものとする。

（平常時の報告）

第8条 丙は、甲及び乙に対し、次の各号に掲げる事項について、別に定めるところにより報告するものとする。

- (1) 各年度の事業計画
- (2) 施設の運転状況
- (3) 施設の建設工事の進捗状況

(通 報)

第9条 丙は、次の各号に掲げる事態が発生したときは、直ちに甲及び乙に通報するとともに、適切な措置を講じ、その状況を報告するものとする。

- (1) 法令に定める値を超えた被曝又は環境への放出があったとき。
- (2) 施設に放射性物質及び弗素の使用又は取扱いに支障を及ぼす故障があったとき。
- (3) 放射性物質及び弗素の輸送中に事故があったとき。
- (4) 放射性物質の盗取又は所在不明が生じたとき。
- (5) 事業所内で火災その他の災害等の緊急事態が発生したとき。

(立入調査等)

第10条 甲又は乙は、この協定の施行に必要な限度において、丙に報告を求め又は、甲及び乙の職員に立入調査をさせることができるものとする。

(適切な措置の要求)

第11条 甲及び乙は、立入調査の結果並びに監視測定の結果等により地域の安全対策上特別の措置を講ずる必要があると認めるときは、丙に対し適切な措置を講ずることを求めるものとする。

2 丙は、前項の規定により甲及び乙から適切な措置を講ずることを求められたときは、誠意をもってこれに応ずるものとし、その措置の状況を甲及び乙に報告するものとする。

(苦情等の処理)

第12条 丙は、施設の建設及び運営管理等に関して環境保全及び安全確保に係る苦情又は紛争が生じた場合は、誠意をもって適切な措置をとり、その解決にあたるものとする。

(損害の賠償)

第13条 丙は、丙の事業に起因して地域住民に損害を与えたときは、誠意をもってその損害を賠償するものとする。

(覚書の締結)

第14条 この協定の施行にあたり必要があるときは、甲、乙及び丙は、別に協議のうえ細目等に関し覚書を締結するものとする。

(協 議)

第15条 この協定に定める事項を変更しようとするとき若しくは解釈に疑義が生じたとき又はこの協定に定めのない事項については、甲、乙及び丙が協議して定めるものとする。

この協定締結の証として、本書3通を作成し、甲、乙及び丙において記名押印のうえ、それぞれ1通を保有するものとする。

昭和54年7月28日

甲 岡 山 県 知 事 長 野 士 郎

乙 上 齋 原 村 長 三 船 續 昌

丙 動力炉・核燃料開発事業団理事長  
瀬 川 正 男

立会人 津山圏域振興協議会会長  
津 山 市 長 生 末 敏 夫

別表1\*

| 項 目       | 管 理 目 標 値                   |                       |                    |
|-----------|-----------------------------|-----------------------|--------------------|
| 排 水       | 管理区域における数値                  |                       |                    |
|           |                             | (3.7)                 |                    |
|           | 全 $\alpha$ 又は全 $\beta$ 線    | $22 \times 10^{-3}$   | Bq/cm <sup>3</sup> |
|           | ウ ラ ン                       | $2.2 \times 10^{-3}$  | Bq/cm <sup>3</sup> |
|           | ラ ジ ウ ム                     | $1.8 \times 10^{-3}$  | Bq/cm <sup>3</sup> |
|           | ふ っ 素                       | 8~10                  | mg/L               |
| 排 気       | 管理区域における数値                  |                       |                    |
|           |                             | (3.7)                 |                    |
|           | 全 $\alpha$ 線                | $7.4 \times 10^{-9}$  | Bq/cm <sup>3</sup> |
|           | ウ ラ ン                       | $1.8 \times 10^{-9}$  | Bq/cm <sup>3</sup> |
|           | ラ ジ ウ ム                     | $3.7 \times 10^{-9}$  | Bq/cm <sup>3</sup> |
|           | ふ っ 素                       | $3.3 \times 10^{-4}$  | mg/m <sup>3</sup>  |
| 河 川 水     | 敷地境界における数値                  |                       |                    |
|           | ウ ラ ン                       | $1.1 \times 10^{-3}$  | Bq/cm <sup>3</sup> |
|           | ラ ジ ウ ム                     | $3.7 \times 10^{-5}$  | Bq/cm <sup>3</sup> |
|           | ふ っ 素                       | 0.5                   | mg/L               |
| 大 気 ダ ス ト | 敷地境界における数値                  |                       |                    |
|           | ウ ラ ン                       | $1.4 \times 10^{-9}$  | Bq/cm <sup>3</sup> |
|           | ラ ジ ウ ム                     | $7.4 \times 10^{-10}$ | Bq/cm <sup>3</sup> |
|           | ふ っ 素                       | $3.3 \times 10^{-4}$  | mg/m <sup>3</sup>  |
| 土 壌       | 河 底 土                       |                       |                    |
|           | ウ ラ ン                       | 1.8                   | Bq/g               |
|           | ラ ジ ウ ム                     | 1.8                   | Bq/g               |
|           | 畑土、水田土                      |                       |                    |
|           | ウ ラ ン                       | 1.8                   | Bq/g               |
|           | ラ ジ ウ ム                     | 0.74                  | Bq/g               |
| 空 間 線 量 率 | 敷地境界における空間線量率<br>$\gamma$ 線 |                       | 0.087 $\mu$ Gy/時   |

注) ( ) 内は、ウラン濃縮工場に係る数値

※ 平成元年3月17日及び平成12年4月1日一部変更

## 2. 施設の概要

### 2-1 ウラン濃縮原型プラントの概要及び運転状況

|             |                          |                                 |
|-------------|--------------------------|---------------------------------|
| (1) 建設場所    | 岡山県苫田郡鏡野町上齋原1550         |                                 |
| (2) プラントの規模 | 敷地面積                     | 約 90,000m <sup>2</sup>          |
|             | 建屋面積                     | 約 13,360m <sup>2</sup>          |
|             | 人員                       | 約 120人                          |
|             | 濃縮能力                     | 200tSWU/年                       |
|             | 製品生産量                    | 約 50tU/年                        |
|             | 濃縮度                      | 5%以下                            |
|             | 濃縮方法                     | 遠心分離法                           |
|             | (3) 建設, 運転状況             | 昭和59年度                          |
| 昭和60年度      |                          | 11月, 建屋建設 (DOP-1)               |
| 昭和61年度      |                          | 11月, 建屋建設 (DOP-2)               |
| 昭和62年度      |                          | 3月, 一部試運転開始 (DOP-1)             |
| 昭和63年度      |                          | 1) 4月下旬, 運転開始 (DOP-1)           |
|             |                          | 2) 1月下旬, 試運転開始 (DOP-2)          |
| 平成元年度       |                          | 1) DOP-1順調に運転                   |
|             |                          | 2) 5月中旬, 運転開始 (DOP-2)           |
| 平成 2年度      |                          | DOP-1, DOP-2順調に運転               |
| 平成 3年度      |                          | DOP-1, DOP-2順調に運転               |
| 平成 4年度      |                          | DOP-1, DOP-2順調に運転               |
| 平成 5年度      |                          | DOP-1, DOP-2順調に運転               |
| 平成 6年度      |                          | DOP-1, DOP-2順調に運転               |
| 平成 7年度      |                          | DOP-1, DOP-2順調に運転               |
| 平成 8年度      |                          | DOP-1, DOP-2順調に運転               |
| 平成 9年度      |                          | 1) 9月, 回収ウラン再濃縮開始               |
|             |                          | DOP-1, DOP-2順調に運転               |
| 平成10年度      |                          | 1) 平成10年3月当初予定の生産を完了            |
| 平成10年度      |                          | 7月, 生産運転再開                      |
| 平成11年度      |                          | DOP-1, DOP-2順調に運転               |
| 平成12年度      |                          | 1) DOP-2については, 平成11年11月下旬で運転を終了 |
|             |                          | プラント内滞留ウラン除去・回収試験準備             |
| 平成13年度      |                          | 平成13年3月にDOP-1による生産運転終了          |
|             |                          | プラント内滞留ウラン除去回収試験準備              |
| 平成14年度      |                          | 回収ウラン製品詰め替作業実施                  |
|             |                          | プラント内滞留ウラン除去回収試験 (DOP-2)        |
| 平成15年度      | 劣化ウラン詰め替え作業実施            |                                 |
|             | プラント内滞留ウラン除去回収試験 (DOP-2) |                                 |
| 平成16年度      | プラント内滞留ウラン除去回収試験 (DOP-2) |                                 |
| 平成17年度      | プラント内滞留ウラン除去回収試験 (DOP-2) |                                 |
| 平成18年度      | プラント内滞留ウラン除去回収試験 (DOP-2) |                                 |
| 平成19年度      | プラント内滞留ウラン除去回収試験 (DOP-2) |                                 |
| 平成20年度      | 滞留ウラン除去・回収試験設備停止中        |                                 |
| 平成21年度      | 滞留ウラン除去・回収試験設備停止中        |                                 |
| 平成22年度      | 滞留ウラン除去・回収試験設備停止中        |                                 |
| 平成23年度      | 滞留ウラン除去・回収試験設備停止中        |                                 |
| 平成24年度      | 滞留ウラン除去・回収試験設備停止中        |                                 |
| 平成25年度      | 滞留ウラン除去・回収試験設備停止中        |                                 |
| 平成26年度      | 滞留ウラン除去・回収試験設備停止中        |                                 |

## 2-2 製錬転換施設の概要及び運転状況

|              |                                      |                                                                                                                    |
|--------------|--------------------------------------|--------------------------------------------------------------------------------------------------------------------|
| (1) 建設場所     | 岡山県苫田郡鏡野町上齋原1550                     |                                                                                                                    |
| (2) プラントの規模  | 敷地面積 約 18,000m <sup>2</sup>          |                                                                                                                    |
|              | 建屋面積 約 5,000m <sup>2</sup>           |                                                                                                                    |
|              | 人員 約 35人                             |                                                                                                                    |
|              | 六弗化ウランの最大取扱量（生産量） 年間 200tU (平均120tU) |                                                                                                                    |
| (3) 建設, 運転状況 | 昭和53年度 土地造成                          |                                                                                                                    |
|              | 昭和54年度～55年度 建屋建設                     |                                                                                                                    |
|              | 昭和56年度                               | 1) 10月プラント建屋及び機器据付工事完了<br>2) 57年2月一部運転開始<br>3) 57年3月全面運転開始                                                         |
|              | 昭和57年度                               | 8月上旬～下旬, 自主定期点検のため運転停止                                                                                             |
|              | 昭和58年度                               | 8月上旬～9月中旬, 自主定期点検のため運転停止                                                                                           |
|              | 昭和59年度                               | 8月上旬～9月上旬, 自主定期点検のため運転停止                                                                                           |
|              | 昭和60年度                               | 7月中旬～9月上旬, 自主定期点検のため運転停止                                                                                           |
|              | 昭和61年度                               | 7月～8月自主定期点検（運転停止はせず）                                                                                               |
|              | 昭和62年度                               | 7月上旬～10月下旬, 自主定期点検のため運転停止<br>（9月上旬, 一部運転再開）                                                                        |
|              | 昭和63年度                               | 1) 4月上旬, 改造工事のため運転停止<br>2) 8月上旬, 改造工事終了・運転再開                                                                       |
|              | 平成元年度                                | 6月中旬～7月上旬, 自主定期点検のため運転停止<br>8月上旬～9月上旬, 自主定期点検のため運転停止                                                               |
|              | 平成 2年度                               | 6月上旬～6月下旬, 自主定期点検のため運転停止<br>7月中旬～9月上旬, 自主定期点検のため運転停止                                                               |
|              | 平成 3年度                               | 5月, 運転停止（但しユーティリティ設備は運転継続）<br>脱硝工程高度化確証試験のための解体撤去工事等の実施<br>7月下旬～8月下旬, 自主定期点検                                       |
|              | 平成 4年度                               | 運転停止中（ユーティリティ設備は運転継続）<br>7月下旬～8月下旬, 自主定期点検<br>8月下旬, 脱硝工程高度化確証試験開始                                                  |
|              | 平成 5年度                               | 回収ウラン転換実用化試験改造工事のため運転停止中<br>（ユーティリティ設備は運転継続）<br>7月下旬～8月下旬, 自主定期点検                                                  |
|              | 平成 6年度                               | 8月下旬, 回収ウラン転換実用化試験開始<br>7月下旬～8月下旬, 自主点検                                                                            |
|              | 平成 7年度                               | 7月下旬～9月上旬, 自主点検                                                                                                    |
|              | 平成 8年度                               | 7月下旬～9月上旬, 自主点検                                                                                                    |
|              | 平成 9年度                               | 4月～8月中旬, 回収ウラン転換実用化試験設備の点検整備<br>8月下旬～11月下旬, 回収ウラン転換実用化試験実施<br>9月末, 脱硝工程高度化確証試験を終了<br>10月～3月末, 脱硝工程高度化確証試験設備の解体撤去実施 |
|              | 平成10年度                               | 回収ウラン転換実用化試験実施<br>以下の期間で点検整備<br>4月～5月中旬<br>7月下旬～9月上旬<br>12月上旬～1月中旬<br>2月下旬～3月末                                     |

|        |                                                                                                              |
|--------|--------------------------------------------------------------------------------------------------------------|
| 平成11年度 | 回収ウラン転換実用化試験実施<br>(実施:5月中旬～7月下旬, 7月にて試験終了)<br>設備の休止措置実施<br>10月上旬～3月末<br>以下の期間で点検整備<br>4月上旬～5月上旬<br>8月上旬～9月上旬 |
| 平成12年度 | 設備の休止措置及びこれに伴う技術開発<br>湿式転換設備解体作業及びこれに伴う技術開発実施                                                                |
| 平成13年度 | 湿式転換設備解体作業実施<br>スクラップウラン処理設備(前処理装置)設置                                                                        |
| 平成14年度 | 乾式転換設備解体作業実施<br>スクラップウラン処理設備運転準備                                                                             |
| 平成15年度 | 四フッ化ウラン破碎・乾燥装置の改造及び試運転<br>硝酸廃液処理試験装置の設置及び試運転<br>IF <sub>7</sub> 製造装置運転                                       |
| 平成16年度 | 四フッ化ウラン破碎・乾燥装置運転<br>硝酸廃液処理装置運転<br>IF <sub>7</sub> 製造装置運転                                                     |
| 平成17年度 | 四フッ化ウラン粉碎・乾燥装置運転<br>硝酸廃液処理装置運転<br>IF <sub>7</sub> 製造装置運転                                                     |
| 平成18年度 | 四フッ化ウラン粉碎・乾燥装置運転<br>硝酸廃液処理装置運転<br>IF <sub>7</sub> 製造装置運転                                                     |
| 平成19年度 | 四フッ化ウラン粉碎・乾燥装置運転<br>硝酸廃液処理装置運転<br>IF <sub>7</sub> 製造装置運転                                                     |
| 平成20年度 | 製錬転換施設内の設備機器等の解体・撤去作業中                                                                                       |
| 平成21年度 | 製錬転換施設内の設備機器等の解体・撤去作業中                                                                                       |
| 平成22年度 | 製錬転換施設内の設備機器等の解体・撤去作業中                                                                                       |
| 平成23年度 | 製錬転換施設内の設備機器等の解体・撤去作業中                                                                                       |
| 平成24年度 | 製錬転換施設内の設備機器等の解体・撤去作業中                                                                                       |
| 平成25年度 | 製錬転換施設内の設備機器等の解体・撤去作業中                                                                                       |
| 平成26年度 | 製錬転換施設内の設備機器等の解体・撤去作業中                                                                                       |

## 2-3 濃縮工学施設(旧ウラン濃縮パイロットプラント)の概要及び運転状況

- (1) 建設場所 岡山県苫田郡鏡野町上齋原1550
- (2) プラントの規模 敷地面積 約 38,000m<sup>2</sup>  
 建屋面積 約 15,000m<sup>2</sup>  
 人員 約 130人  
 遠心分離機 実用規模カスケード試験装置 約 1,000台  
 (旧パイロットプラント約 7,000台)  
 濃縮度 約 5%
- (3) 建設, 運転状況
- 昭和52年度 土地造成
- 昭和53年度 遠心分離機約4,000台分の建屋建設(OP-1)
- 昭和54年度 1) 遠心分離機約1,000台据付(OP-1A)  
 2) 9月12日, OP-1A運転開始, 12月中旬に約3.2%濃縮ウラン  
 約300kgを生産
- 昭和55年度 1) 7月, 遠心分離機約3,000台の据付(OP-1B)  
 2) 10月3日, OP-1B運転開始  
 3) 11月5日～6日, 停電により運転停止(OP-1A, OP-1B), 11月7日  
 運転再開  
 4) 遠心分離機残り約3,000台分(OP-2)の建屋建設工事完了
- 昭和56年度 1) OP-1約4,000台順調に運転  
 2) 7月中旬～8月末, 定期点検のため運転停止  
 3) 10月OP-2施設工事完了  
 4) 11月ウラン濃縮建設所をウラン濃縮試験工場と改組  
 5) 3月26日, 約3,000台分(OP-2)全面運転開始
- 昭和57年度 8月上旬～9月上旬, 定期点検のため運転停止
- 昭和58年度 7月末日～9月上旬, 定期点検のため運転停止
- 昭和59年度 7月末日～9月上旬, 定期点検のため運転停止
- 昭和60年度 7月末日～9月上旬, 定期点検のため運転停止
- 昭和61年度 1) 7月下旬～8月下旬, 定期検査のため運転停止  
 2) 10月上旬～10月下旬, 特別高圧受変電施設増設の接続確認検  
 査のため運転停止
- 昭和62年度 1) 6月下旬～7月下旬, 定期検査のため運転停止  
 2) 2月中旬, 改造工事のため運転停止
- 昭和63年度 8月上旬, 改造工事終了・運転開始
- 平成元年度 1) 7月中旬～8月中旬, 定期検査のため運転停止  
 2) 3月末, 試験運転終了
- 平成 3年度 「濃縮工学施設」と改称
- 平成 4年度 実用規模カスケード試験装置据付
- 平成 5年度 5月, 実用規模カスケード試験装置運転試験開始
- 平成 6年度 実用規模カスケード試験装置順調に運転
- 平成 7年度 実用規模カスケード試験装置順調に運転  
 1) 10月, 遠心機処理装置建設のため既存設備の撤去工事開始
- 平成 8年度 実用規模カスケード試験装置順調に運転  
 1) 8月, 遠心機処理装置建設工事着工  
 2) 平成9年3月, 実用規模カスケード試験終了
- 平成 9年度 遠心機処理設備製作継続
- 平成10年度 遠心機処理設備製作据付完了
- 平成11年度 1) 7月, 遠心機処理設備コールド試験運転開始(3月, 終了)  
 2) 3月, 遠心機処理設備ホット試験着手(OP-1B)

平成12年度 遠心機処理設備ホット試験継続 (OP-1B)  
平成13年度 遠心機処理設備ホット試験継続 (OP-1B, DOP-2)  
遠心機寿命長期化試験準備  
平成14年度 遠心機処理設備ホット試験継続 (OP-1B, OP-2, DOP-2)  
遠心機寿命長期化試験  
平成15年度 遠心機処理設備ホット試験継続 (OP-1B, DOP-2)  
平成16年度 遠心機処理設備ホット試験継続 (OP-1B)  
平成17年度 遠心機処理設備ホット試験継続 (OP-1B, DOP-2)  
平成18年度 遠心機処理設備ホット試験継続 (DOP-2)  
平成19年度 遠心機処理設備ホット試験継続 (DOP-2)  
平成20年度 遠心機処理設備ホット試験継続 (OP-1A, OP-1B)  
平成21年度 遠心機処理設備ホット試験継続 (OP-1A, OP-1B, OP-2, DOP-2)  
平成22年度 遠心機処理設備ホット試験継続 (OP-1B)  
平成23年度 遠心機処理設備ホット試験継続 (OP-1B)  
平成24年度 遠心機処理設備ホット試験継続 (OP-1B)  
平成25年度 遠心機処理設備ホット試験継続 (OP-1B)  
平成26年度 使用済遠心機処理作業中 (OP-1A, OP-1B, OP-2)  
UF6取扱設備の解体撤去作業中

### 3. 岡山県環境放射線等測定技術委員会

#### 3-1 岡山県環境放射線等測定技術委員会設置要綱

(会の名称)

第1条 本委員会は、岡山県環境放射線等測定技術委員会（以下「委員会」という。）と称する。

第2条 委員会は、国立研究開発法人日本原子力研究開発機構人形峠環境技術センター（以下「センター」という。）周辺地域の環境放射線等に係る岡山県及びセンターが実施する環境監視測定を技術的に調査、検討して、環境放射線等の状況を把握することを目的とする。

(所掌事務)

第3条 委員会は、前条の目的を達成するために、次の事項を所掌する。

- (1) センター周辺の環境監視計画の検討に関すること。
- (2) 測定方法の検討及び調整に関すること。
- (3) 測定データの技術的評価、解析に関すること。
- (4) 環境放射線等に関する情報の収集及び情報交換に関すること。
- (5) その他環境監視測定に関する技術的事項。

(構成)

第4条 委員会は、学識経験者等をもって構成する。

(委員の定数)

第4条の2 委員の定数は、10名以内とする。

(委員の任期)

第4条の3 委員の任期は2年とし、再任を妨げない。任期の途中で委員が欠けた場合における補欠委員の任期は、前任者の残任期間とする。

(運営の基準)

第5条 委員会は、第3条に定める事項の審議に当たっては、法令に定められた基準のほか、岡山県、鏡野町及び国立研究開発法人日本原子力研究開発機構が昭和54年7月28日締結した「国立研究開発法人日本原子力研究開発機構人形峠環境技術センター周辺環境保全等に関する協定書」第2条に規定する管理目標値を尊重するものとする。

(意見の聴取)

第6条 委員会は、必要に応じて学識経験者及び専門機関並びにセンターの意見を聞くことができる。

(顧問)

第7条 委員会に顧問を置くことができる。

- 2 顧問は議長が委嘱する。
- 3 顧問は、委員会の目的を達成するために必要な助言を行う。

(議長、副議長及び事務局)

第8条 委員会に議長及び副議長を置く。

- 2 議長及び副議長は、委員会の委員の互選とする。
- 3 議長は、委員会を召集し、かつ、議事の運営を掌どる。
- 4 副議長は、議長を補佐し、議長に事故あるときは、その職務を代行する。
- 5 委員会の事務局は、岡山県環境文化部環境企画課に置く。

(会議の開催)

第9条 委員会は、原則として3か月ごとに定例会議を開催する。ただし、議長が必要と認めたとときは、その都度会議を開催することができる。

(その他)

第10条 この要綱に定めるもののほか、会議の運営に関して必要な事項は議長が委員会にはかって定める。

附 則

この要綱は、昭和54年8月1日から施行する。

附 則

- 1 この要綱は、平成2年7月1日から施行する。
- 2 この要綱の施行の際、現に委嘱されている委員の任期は、第4条の3の規定にかかわらず、平成4年6月30日までとする。

附 則

この要綱は、平成10年10月1日から施行する。

附 則

この要綱は、平成13年4月1日から施行する。

附 則

この要綱は、平成18年7月7日から施行する。

附 則

この要綱は、平成22年4月1日から施行する。

附 則

この要綱は、平成27年4月1日から施行する。

3-2 岡山県環境放射線等測定技術委員会委員名簿

| 氏 名                  | 所 属                    | 職 名   | 備 考   |
|----------------------|------------------------|-------|-------|
| おおはし ゆきたか<br>大橋 唯太   | 岡山理科大学<br>生物地球学部       | 准 教 授 |       |
| お だ けいじ<br>小 田 啓二    | 神戸大学大学院<br>海事科学研究科     | 教 授   | 副 議 長 |
| お の としろう<br>小 野 俊 朗  | 岡山大学<br>自然生命科学研究支援センター | 教 授   | 議 長   |
| た が み けいこ<br>田 上 恵 子 | 国立研究開発法人<br>放射線医学総合研究所 | 主任研究員 |       |
| な か に し とおる<br>中 西 徹 | 就実大学<br>大学院医療薬学研究科     | 教 授   |       |
| ふじかわ ようこ<br>藤 川 陽 子  | 京都大学<br>原子炉実験所         | 准 教 授 |       |
| みや もと きりこ<br>宮 本 霧 子 | 公益財団法人<br>海洋生物環境研究所    | 研究参与  |       |
| やすおか ゆ み<br>安 岡 由 美  | 神戸薬科大学<br>放射線管理室       | 講 師   |       |

(五十音順)

(任期: H26. 7. 1~H28. 6. 30)

人形峠周辺の環境放射線等測定報告書  
平成26年度（第37号）

平成27年7月発行

編集・発行

岡山県環境保健センター

〒701-0298 岡山市南区内尾739-1

TEL (086) 298-2685 直通

岡山県環境文化部環境企画課

〒700-8570 岡山市北区内山下2-4-6

TEL (086) 226-7299 直通